

Вінницький національний технічний університет  
Факультет машинобудування та транспорту  
Кафедра технологій та автоматизації машинобудування

**Пояснювальна записка**

до магістерської кваліфікаційної роботи  
за освітньо-кваліфікаційним рівнем «магістр»  
на тему:

Удосконалення технології отримання заготовки і виготовлення деталі типу  
«Вал 12.54АС» з використанням CALS-технології  
08-26.МКР.025.00.000 ПЗ

Виконав: студент 2 курсу, групи 2ПМ-18м  
спеціальності 131 – «Прикладна механіка»

Токар О.О. \_\_\_\_\_

Керівник: к.т.н., проф. каф. ТАМ

Буренніков Ю.А. \_\_\_\_\_

«\_\_\_» \_\_\_\_\_ 20\_\_ р.

Рецензент: к.т.н., доцент каф. АТМ

«\_\_\_» \_\_\_\_\_ 20\_\_ р.

Вінниця ВНТУ - 2019 року

Вінницький національний технічний університет  
Факультет машинобудування та транспорту  
Кафедра технологій та автоматизації машинобудування

Освітньо-кваліфікаційний рівень – «Магістр»  
Спеціальність 131 – «Прикладна механіка»

ЗАТВЕРДЖУЮ  
Завідувач кафедри ТАМ  
д.т.н., професор Козлов Л.Г.

«04» жовтня 2019 р.

## ЗАВДАННЯ НА МАГІСТЕРСЬКУ КВАЛІФІКАЦІЙНУ РОБОТУ СТУДЕНТУ

Токар Богдан Олександрович  
(прізвище, ім'я, по батькові)

1. Тема магістерської кваліфікаційної роботи (МКР): \_\_\_\_\_ Удосконалення технології отримання заготовки і виготовлення деталі типу «Вал 12.54АС» з використанням CALS-технології

керівник МКР \_\_\_\_\_ Буренніков Ю.А.  
( прізвище, ім'я, по батькові, науковий ступінь, вчене звання)

затверджені наказом ВНТУ від «2» жовтня 2019 року №254.

2. Строк подання студентом МКР: 16 грудня 2019

3. Вихідні дані до МКР: креслення деталі корпус А12.54

\_\_\_\_\_

\_\_\_\_\_

4. Зміст розрахунково-пояснювальної записки (перелік питань, які потрібно розробити): \_\_\_\_\_

\_\_\_\_\_

\_\_\_\_\_

5. Перелік графічного матеріалу (з точним зазначенням обов'язкових креслень):

\_\_\_\_\_

\_\_\_\_\_

\_\_\_\_\_

\_\_\_\_\_

## 6. Консультанти розділів МКР

Розділ	Прізвище, ініціали та посада консультанта	Підпис, дата	
		завдання видано	завдання виконано
Спеціальна частина	Буренніков Ю.А.		
Економічна частина	Кавецький В.В,		
Охорона праці та безпека в надзвичайних ситуаціях	Віштак І.П.		

7. Дата видачі завдання «04» жовтня 2019 р.

### КАЛЕНДАРНИЙ ПЛАН

№ з/п	Назва етапів МКР	Строк виконання етапів МКР	Примітка
1	Визначення об'єкту та предмету дослідження	10.10.2019	
2	Аналіз відомих рішень, постановка задач	20.10.2019	
3	Техніко-економічне обґрунтування методів досліджень	22.10.2019	
4	Розв'язання поставлених задач	28.11.2018	
5	Формування висновків по роботі, наукової новизни, практичної цінності результатів	02.12.2019	
6	Виконання розділу «Економічна частина»	02.12.2019	
7	Виконання розділу «Охорона праці безпека в надзвичайних ситуаціях»	02.12.2019	
8	Попередній захист МКР	6.12	
9	Перевірка роботи на плагіат	4.12	
10	Нормоконтроль МКР	12.12	
11	Рецензування МКР	16.12	
12	Захист МКР	20.12	

Студент \_\_\_\_\_  
 Керівник МКР \_\_\_\_\_

## АНОТАЦІЯ

Токар О.О. Удосконалення технології отримання заготовки і виготовлення деталі типу «Вал 12.54АС» з використанням CALS-технології. – Вінниця: ВНТУ, кафедра ТАМ, 2019 - 132с. РПЗ, 10 аркушів формату А1.

В даній роботі було виконано модернізацію технологічного процесу механічної обробки для збільшення твердості поверхневого шару і зменшення шорсткості завдяки удосконалення процесу фінішної обробки деталей поверхневим пластичним деформуванням, а саме: проведено аналіз конструкції і технологічності деталі, вибрано спосіб виготовлення заготовки, спроектовано модернізований маршрут механічної обробки деталі на верстатах з ЧПК з розробкою змісту операцій, на фінішну операцію обрано спосіб поверхневої пластичної деформації, здійснено розмірний аналіз технологічного процесу та встановлені технологічні розміри, розміри припусків та заготовки, визначено режими різання, спроектована дільниця механічної обробки; досліджено напружено-деформований стан в осередку деформації та його залежність від конструктивних та технологічних характеристик процесу; розроблені заходи з охорони праці та безпеки в надзвичайних ситуаціях на дільниці механічної обробки. Розроблена графічна частина.

## ABSTRACT

Tokar O.O Improvement of the workpiece production technology and manufacturing of "Val 12.54AS" type parts using CALS technology. - Vinnitsa: VNTU, Department of TAM, 2019 - 132 p. RPZ, 10 sheets of A1 format.

In this work, modernization of the technological process of mechanical processing was performed to increase the hardness of the surface layer and reduce roughness due to the improvement of the process of finishing the parts by surface plastic deformation, namely: analysis of the design and machinability of the part, the method of manufacturing the workpiece was selected, the modernized route of machining of the part was designed on CNC machines with the development of maintenance operations the analysis of the design and machinability of the part, the method of manufacturing the workpiece was chosen, the modernized route of mechanical processing of the part on the CNC machine tools was designed with the development of the maintenance of the operations, the method of surface plastic deformation was chosen for the finishing operation, the dimensional analysis of the technological process was made and the technological dimensions, sizes of allowances and workpieces , the cutting modes are determined, the machining section is designed; the stress-strain state in the deformation cell and its dependence on the structural and technological characteristics of the process are investigated; developed measures for occupational safety and emergency in emergency situations at the machining station. The graphic part is developed.

## ЗМІСТ

ВСТУП.....	7
1 ДОСЛІДЖЕННЯ ПРОЦЕСУ ОБКОЧУВАННЯ ВАЛІВ	10
1.1 Пристосування для обкочування тонких валів	10
1.2 Оцінка використаного ресурсу пластичності в поверхневому шарі	15
1.3. Висновки	21
2 РОЗРОБКА МАРШРУТУ МЕХАНІЧНОЇ ОБРОБКИ	22
2.1 Визначення типу виробництва і форми організації роботи	22
2.2 Аналіз конструкції і технологічності деталі	28
2.3 Вибір способу виготовлення заготовки	34
2.4 Аналітичний огляд відомих маршрутів механічної обробки подібних деталей в умовах даного типу виробництва	42
2.4 Вибір способів механічної обробки поверхонь із підвищеними вимогами точності визначення кількості ступенів механічної обробки циліндричної поверхні	44
2.5 Вибір чистових і чорнових технологічних баз	48
2.6 Проектування маршруту механічної обробки з розробкою змісту операцій, попереднім вибором верстатів	50
2.7 Розмірний аналіз технологічного процесу	52
2.8 Розрахунок проміжних припусків і технологічних розмірів на механічну обробку циліндричної поверхні	56
2.9 Визначення режимів різання на обробку конструкторських баз і кріпильних отворів	60
2.10 Визначення технічних норм часу для всіх операцій	65
2.11 Проектування ділянки механічної обробки	70
2.12 Висновки	76
3 ЕКОНОМІЧНИЙ РОЗДІЛ	80
3.1 Оцінювання комерційного потенціалу розробки.....	80

3.2	Прогноз попиту на інноваційне рішення.....	84
3.3	Вибір каналів збуту та після продажного обслуговування.....	86
3.4	Виявлення основних конкурентів.....	88
3.5	Обрання методу ціноутворення.....	90
3.6	Оцінка рівня якості інноваційного рішення.....	94
3.7	Оцінка конкурентоспроможності інноваційного рішення.....	96
3.8	Прогнозування витрат на виконання роботи.....	98
3.9	Прогнозування комерційних ефектів від реалізації результатів розробки.....	100
3.10	Розрахунок ефективності вкладених інвестицій та періоду їх окупності.....	102
3.11	Висновки.....	103
4	ОХОРОНА ПРАЦІ ТА БЕЗПЕКА ЖИТТЄДІЯЛЬНОСТІ	104
4.1	Аналіз умов праці.....	104
4.2	Технічні рішення з гігієни праці та виробничої санітарії.....	108
4.2	Організаційно-технічні рішення щодо забезпечення безпечної роботи.....	110
4.4	Дослідження стійкості роботи обладнання ділянки механічної обробки в умовах дії загрозливих чинників надзвичайних ситуацій...	112
4.5	Висновки.....	114
	ВИСНОВКИ.....	119
	СПИСОК ВИКОРИСТАНИХ	
	ДЖЕРЕЛ.....	120
	ДОДАТКИ	

## ВСТУП

Відомо, що різноманітні корозійні середовища чинять негативний вплив на втомну міцність деталей. Дослідженнями багатьох учених встановлено, що обробка ППД сприяє усуненню дії агресивних середовищ на втомну міцність. Наприклад, накатування сталі 40Х дозволило повністю ліквідувати вплив корозійного ефекту; деталь мала одну і ту ж границю стійкості при дослідженні на повітрі та у воді.

**Актуальність теми** На отримувану після поверхневої пластичної деформації (ППД) поверхня, а саме на її якість впливає багато факторів. Тому постійно вдосконалюються процеси, для того щоб досягнути максимального зміцнення, мінімальної шорсткості при допустимому використаному ресурсу пластичності..

**Метою роботи** Метою магістерської кваліфікаційної роботи є модернізація маршруту механічної обробки деталі Вал 12.54АС для зниження собівартості деталі завдяки застосуванню сучасних технологій і нових методів обробки заготовок.

Для досягнення поставленої мети необхідно вирішити наступні задачі:

- дослідження процесу обкочування деталі Вал 12.54АС;
- варіантний вибір способу виготовлення заготовки;
- проектування технологічного процесу механічної обробки з використанням сучасних верстатів з ЧПК і методів обробки;
- розмірно-точнісне моделювання маршруту механічної обробки;
- проектування дільниці механічної обробки;

**Об'єкт дослідження:** процес обкочування поверхонь деталей.

**Предмет дослідження:** Основні закономірності і методики розрахунку механізмів формування напружено-деформованого стану і основних показників якості деталей при їх обкочуванні.

**Методи дослідження.** Методи теорії розмірних ланцюгів, які дозволили виконати розмірно-точнісне моделювання маршруту механічної обробки, методи теорії автоматичного керування; метод імітаційного



моделювання.

**Наукова новизна одержаних результатів** Наукову новизну роботи складають імітаційна модель і результати досліджень характеристик процесу обкочування тонких валів.

**Практичне значення одержаних результатів:** полягає в удосконаленні технологічного процесу обробки, а зокрема фінішної операції, деталі типу «Вал 12.54АС»; при цьому запропоновані такі нові рішення:

- для найбільш доцільних способів виготовлення виконано розрахунок заготовки, та за техніко-економічним порівняння обрано як кращий прокат;

- розроблений оригінальний технологічний процес механічної обробки, економічні розрахунки показали, що впровадження удосконаленого технологічного процесу потребує від інвестора вкладень термін окупності яких складає 2,21 року;

- для удосконаленого ТП розроблено план ділянки механічної обробки; при обробці приведеної програми графіки завантаження обладнання знаходяться в рекомендованих межах для серійного виробництва;

- для фінішної обробки запропоновано обкочування, що дозволило збільшити твердість поверхневого шару.

**Особистий внесок здобувача.** Основні результати досліджень отримані автором самостійно. Мета та завдання досліджень узгоджені з науковим керівником.

**Апробація результатів.** Основні матеріали роботи розглядалися на науково технічній конференції «Молодь в науці: дослідження, проблеми, перспективи».

**Публікації.** Матеріали магістерської кваліфікаційної роботи були опубліковані в тезах науково-технічної конференції [1] .

# 1 ДОСЛІДЖЕННЯ ПРОЦЕСУ ОБКОЧУВАННЯ ВАЛІВ

## 1.1 Пристосування для обкочування тонких валів

Поверхнєве пластичне деформування призводить до значного підвищення характеристик конструктивної міцності деталей машин, виготовлених зі сталей, чавуну, кольорових металів та сплавів; втомлювальної міцності, контактної витривалості, контактної жорсткості, зносостійкості, корозійної стійкості та ряду інших.

В таблиці наведені результати дослідження мало циклової втомлюваності гладеньких зразків на базі 8-10 цикл / хв.

Як видно з цих результатів ППД дає суттєве підвищення довговічності в порівнянні із шліфуванням, причому найбільше підвищення довговічності (в 3-7,5 разів) було досягнуто при обкатуванні роликом.

Особливо ефективним є застосування обробки ППД деталей із різноманітними концентратами напружень. Збільшення границі витривалості при багатоцикловій втомлюваності тим вищі, чим більша концентрація напружень. В такому випадку ППД, як зміцнюючий метод обробки має перевагу у порівнянні з термічними і хімічно-термічними методами. Існують експериментальні роботи, що вказують на підвищення контактної витривалості деталей після обробки ППД. Зміцнення зразків зі сталі 20ХНЗА шариком, підвищили їхню довговічність при терті кочення на 34-50 % в порівнянні зі шліфованими після цементації і термічної обробки зразками.

Встановлено, що зразки, виготовлені зі сталі ШХ15 і зміцненні алмазним вигладжуванням, більш довговічні (при 50%-ній можливості руйнування – в 1.7, а при 10%-ній – в 3,5 рази), ніж зразки, оброблені суперфінішуванням. Після алмазного вигладжування отримуються добрі

характеристики процесу, але по-перше він вимагає обов'язкового шліфування поверхні перед процесом вигладжування, оскільки шорсткість вихідної поверхні не має перевищувати 0,8 мм, крім того це досить не продуктивний метод, оскільки наприклад для обробки Сталі 45 при обкатуванні пропонується використовувати подачу близько 0,5 мм/об, то при алмазному вигладжуванні таке значення складає 0,02 мм/об, що пов'язано із малим радіусом сфери алмазного зерна. Крім того алмаз, що використовується в процесі має бути близько 4 каратів, що звичайно призводить до відносної дороговизни цього способу. Тому прийнято до розгляду процес поверхневої пластичної деформації – обкатування.

Розроблена велика кількість конструкцій обкатників та розкатників. Деякі з них показані на слайдах. Наприклад пристосування з самоустановлюючимся роликком, або обкатники для зубчастих коліс, обкатник, який кріпиться на токарному верстаті і може виконувати обкатування та розкатування циліндричних поверхонь.

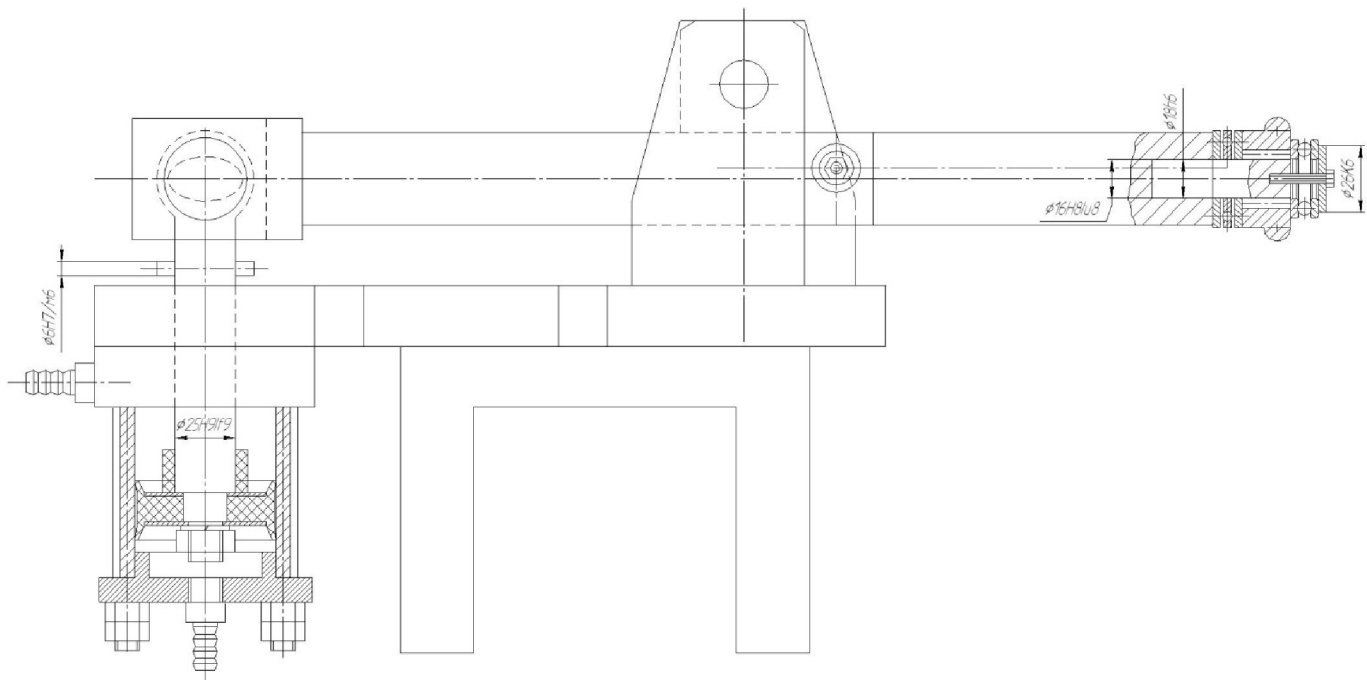
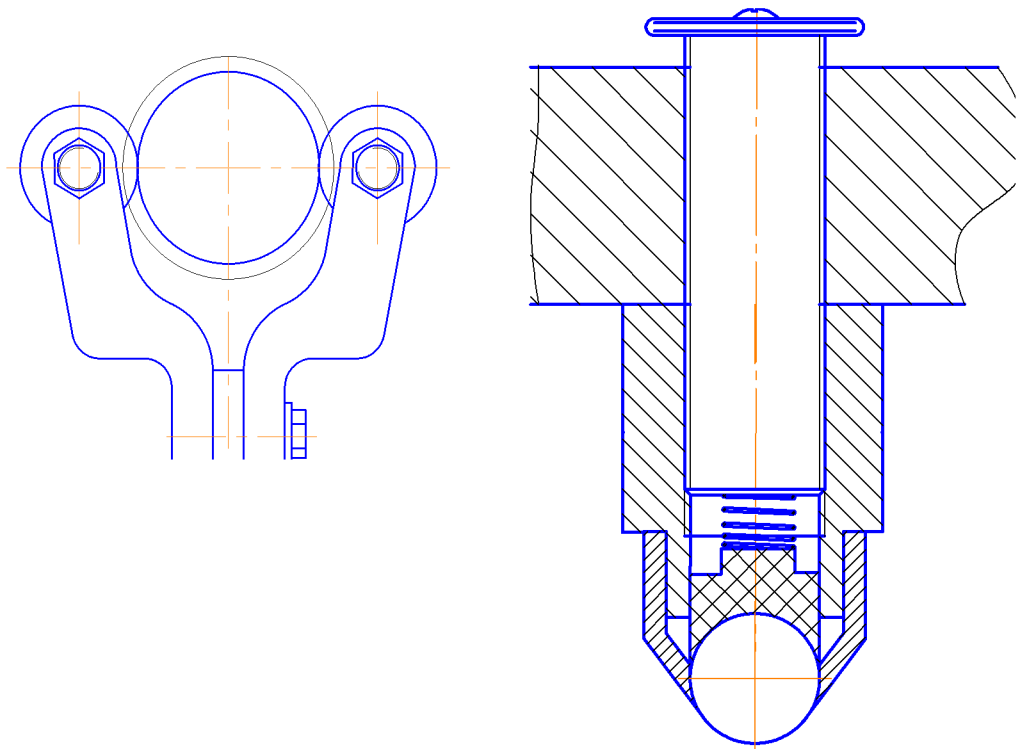


Рисунок 1.1 – Пристосування для обкочування

Крім того ми приділили увагу обкатуванню тонких валів, оскільки в цьому плані існує певна проблема, так як вал під дією ролика чи шарика прогинається і відповідно виникає потреба у використанні підпору. Розроблено дві конструкції обкатників для валів які схематично показані на слайдах. Перший це шарикове комбіноване пристосування, яке дозволяє виконувати остаточне точіння та одночасно накатування поверхні.



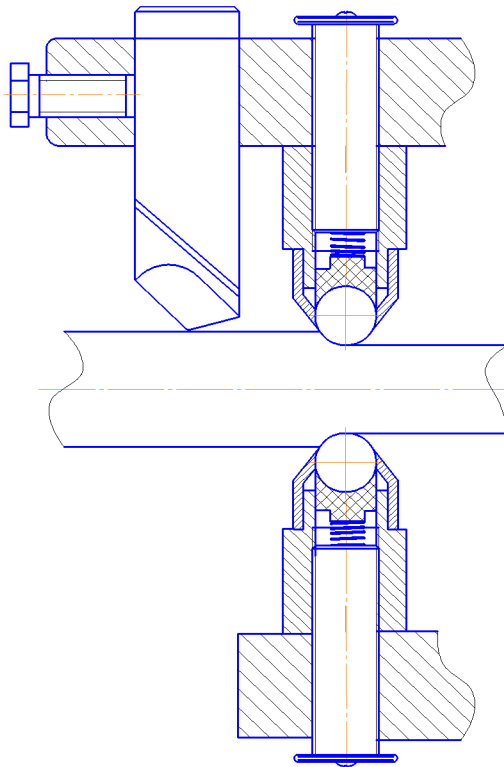


Рисунок 1.2 – Пристосування для одночасного точіння та обкочування валів

Дане пристосування може встановлюватися в різцетримач токарного верстату. Він складається із двох подібних частин, на одній розміщено різець та ролик, на іншій лише ролик, між ними встановлюється пластина, за рахунок неї можна в невеликому інтервалі, близько 10 мм змінювати діаметр оброблюваних валів. Перевагою шарикового пристосування є можливість само установа шарів, що не мають примусової осі обертання. В результаті цього практично відсутнє проковзування шарів відносно оброблюваної поверхні. Крім того мала площа контакту дозволяє забезпечити великі питомі контактні тиски при малих навантаженнях на стінки заготовки. Простота конструкції і виготовлення шарикових пристосувань, можливість використання стандартних шарів від шарикопідшипників роблять рентабельними їх використання навіть в дрібносерійному виробництві.

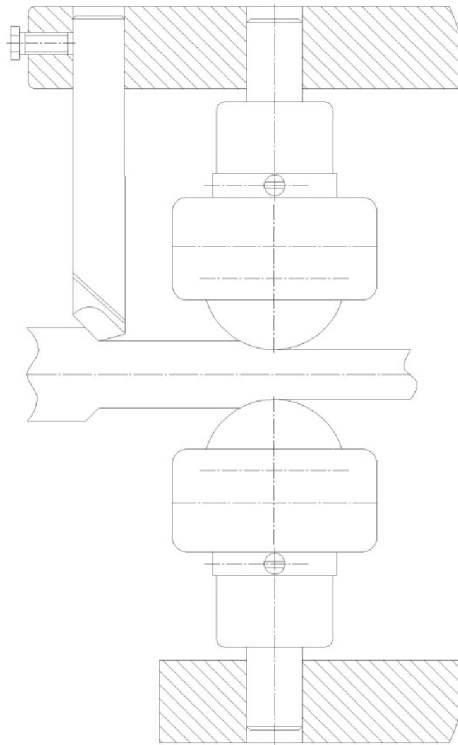


Рисунок 1.3 – Пристосування для одночасного точіння та обкочування валів

Більш продуктивним пристосуваннями є роликові, оскільки використання роликів в якості деформуючих елементів дозволяє значно збільшити осьову подачу інструмента в порівнянні з шариковими розкатниками.

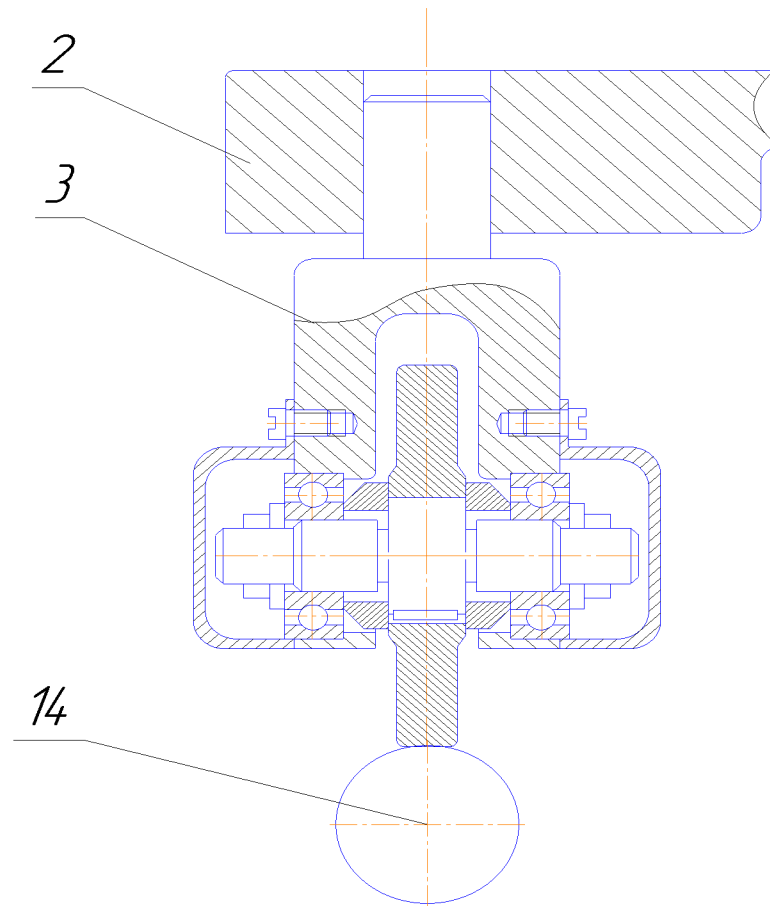


Рисунок 1.4 – Кріплення ролика

На рисункові 1.4 показано вузол установлення та кріплення ролика. І на рисункові 1.5 показано саме пристосування, що правда переріз виконано по роликови вузлам і тому невидно різця, який розташований за ними. Пристосування містить стійку 1 з закріпленою на неї ричажною системою, що складається із двох ричагів 2, на кінцях яких встановлено ролики, а на кінці верхнього ричала ще й різець. Крім того зі стійкою 1 жорстко зв'язана державка 5 і відповідно гідравлічна система, що включає робочий 6, нагнітаючий 7, та управляючий 8 гідроциліндри, що встановлені в корпусі 9 і гідравлічно зв'язані між собою. При цьому плунжер робочого 6 6 циліндра шарнірно зв'язаний з іншим кінцем ричала 2, плунжер 11 циліндра управління зв'язаний із державкою 5. Поршень 12 нагнітаючого циліндра пов'язаний із механізмом регулювання робочого тиску 13.

Попередньо державку 5 закріплюють в різцетримачі токарного верстату. Встановлюють тиск в гідро циліндрах. При цьому Різець підводиться до деталі і пристрою дають поздовжню подачу.

При обертані деталі, якщо вал має якісь випуклості, чи неточну геометричну форму, що призводить до того що збільшується навантаження на різець і ролики,

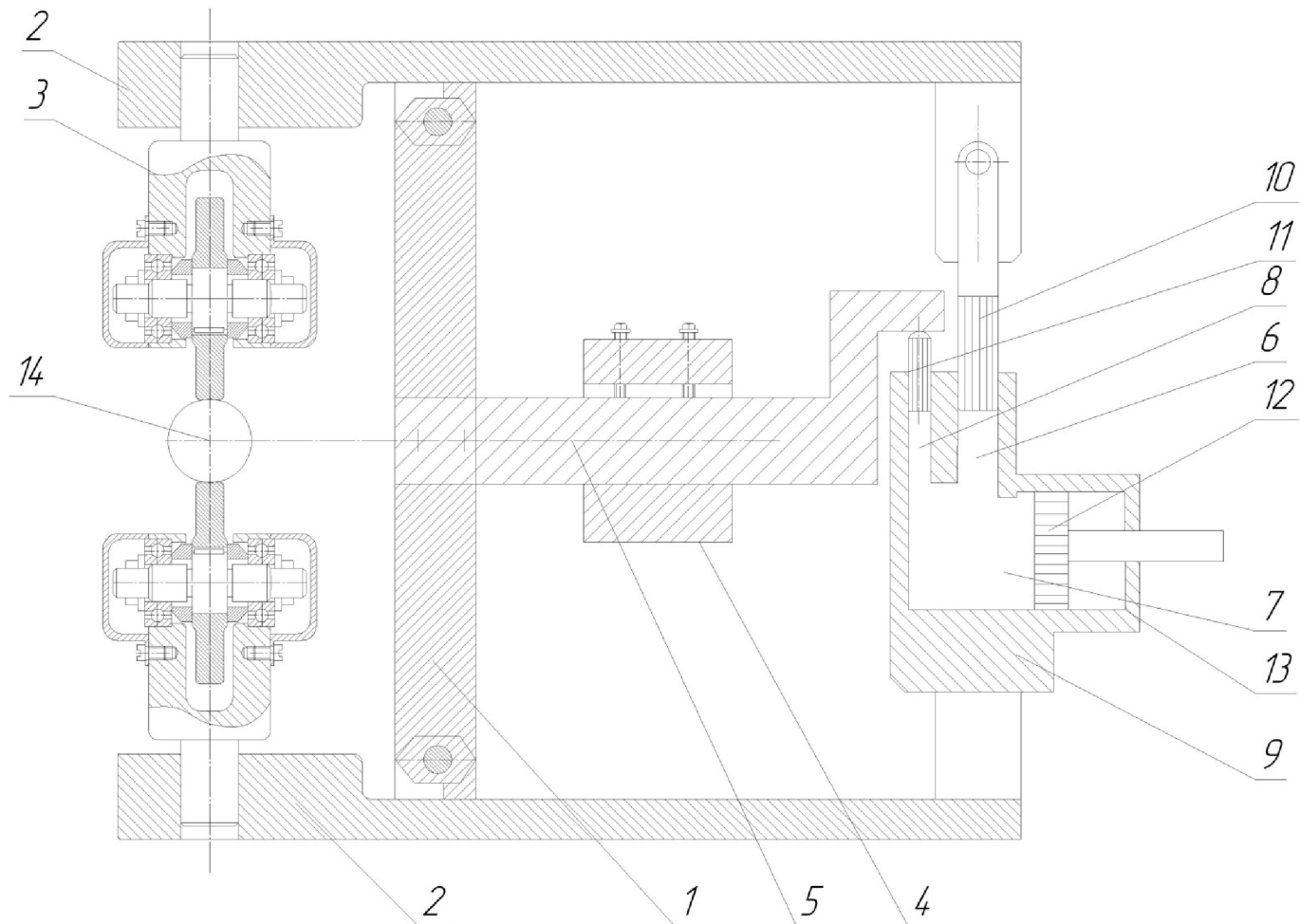


Рисунок 1.5 – Пристосування для суміщеного обкочування роликами

які можуть дещо відійти від деталі, тоді через державку 5 переміщується плунжер 11 управляючого гідро циліндра 8 внаслідок чого змінюється робочий тиск в системі і відповідно піднімається плунжер 10 робочого гідро циліндра збільшуючи силу прикладену до деформуючих елементів.



Таким чином, поверхневий шар на опуклих частинах отримує більшу ступінь деформації. Використання даного пристосування дозволяє досить ефективно усувати короблення деталей від попередніх технологічних операцій, підвищує точність і якість обробки не жорстких валів і дає можливість виправляти

## 1.2 Оцінка використаного ресурсу пластичності в поверхневому шарі металу

В даний час вважається загальнопризнаним, що більше 80% випадків виходу із ладу машин, механізмів та пристроїв обумовлено руйнуванням, яке починається з поверхні. Однак дослідженням механіки руйнування поверхневого шару металу при поверхневому пластичному деформуванні до даного часу приділялось мало уваги, що, ймовірно пояснюється складністю процесів зародження та росту поверхневих тріщин та відсутністю відповідних теоретичних методів аналізу.

В даній роботі для оцінки пошкодженості поверхневого шару металу при поверхневій пластичній деформації використані методи прикладної теорії деформівності. В якості кількісної характеристики пошкодженості прийнята величина використаного ресурсу пластичності.

В роботі [87] для оцінки пластичності металів при немонотонному навантаженні запропоновано використовувати тензор пошкоджень, компоненти якого визначаються за формулою

$$\psi_{ij} = \int_0^{e_u} F(e_u^*, \eta, \mu_\sigma) \beta_{ij} de_u^*, \quad (1.1)$$

де  $\eta = \frac{3\sigma}{\sigma_u}$  - показник жорсткості напруженого стану,

$\sigma = \frac{1}{3} \sigma_{ij} \delta_{ij}$  - середнє напруження,

$\mu_\sigma$  - параметр Надаї-Лоде,

$e_u = \int_0^t \dot{\epsilon}_u d\tau$  - ступінь деформації,

$t$  – час деформування з моменту початку пластичної деформації до деформованого стану, який розглядається.

Компоненти направляючого тензора прирощень деформацій  $\beta_{ij}$  в (1.1) прийняті рівними

$$\beta_{ij} = \sqrt{\frac{2}{3}} \frac{d\epsilon_{ij}}{de_u}. \quad (1.2)$$

Функція  $F(e_u, \eta, \mu_\sigma)$  залежить від фізико-механічних характеристик матеріалу і від історії навантаження. Умова руйнування запропонована в [5] має вид

$$\psi_{ij}\psi_{ij}=1. \quad (1.3)$$

З використанням умови руйнування (1.3) на даний час отримані розв'язки задач двохетапного, циклічного і складного навантаження, які підтверджують достовірність тензорної моделі (1.3).

Головні компоненти тензора  $\beta_{ij}$  дорівнюють

$$\begin{aligned} \beta_1 &= -\frac{1}{\sqrt{6}} \frac{\mu_\sigma - 3}{\sqrt{\mu_\sigma^2 + 3}}, \\ \beta_2 &= \frac{1}{\sqrt{6}} \frac{2\mu_\sigma}{\sqrt{\mu_\sigma^2 + 3}}, \\ \beta_3 &= -\frac{1}{\sqrt{6}} \frac{\mu_\sigma + 3}{\sqrt{\mu_\sigma^2 + 3}}. \end{aligned} \quad (1.4)$$

$$\begin{aligned}
\psi_1 &= \int_0^{e_u} \left( 1 - a + 2a \frac{e_u}{e_p(\eta, \mu_\sigma)} \right) \beta_1 \frac{de_u}{e_p(\eta, \mu_\sigma)} \\
\psi_2 &= \int_0^{e_u} \left( 1 - a + 2a \frac{e_u}{e_p(\eta, \mu_\sigma)} \right) \beta_2 \frac{de_u}{e_p(\eta, \mu_\sigma)} \\
\psi_3 &= \int_0^{e_u} \left( 1 - a + 2a \frac{e_u}{e_p(\eta, \mu_\sigma)} \right) \beta_3 \frac{de_u}{e_p(\eta, \mu_\sigma)}.
\end{aligned} \tag{1.5}$$

Умова руйнування в розглядуваній моделі приймає вид

$$\psi_\sigma + \psi_\tau = 1 \tag{1.6}$$

де  $\psi_\sigma = \int_0^{e_u} \frac{de_u}{e_p(\eta_1)}$ ,  $\psi_\tau = \int_0^{e_u} \frac{de_u}{e_p(\eta_2)}$ .

Умову руйнування можна використовувати для оцінки граничного фрмозмінення при немонотонному навантаженні. При цьому необхідно мати експериментально отриману поверхню граничних деформацій  $e_p(\eta, \mu_\sigma)$ .

Розглянуту вище методику оцінки величини використаного ресурсу пластичності можна використовувати при поверхневому пластичному деформуванні, коли пластична деформація поверхневого шару металу реалізується за кілька проходів, тобто, коли має місце немонотонність навантаження, обумовлена послідовними розвантаженнями.

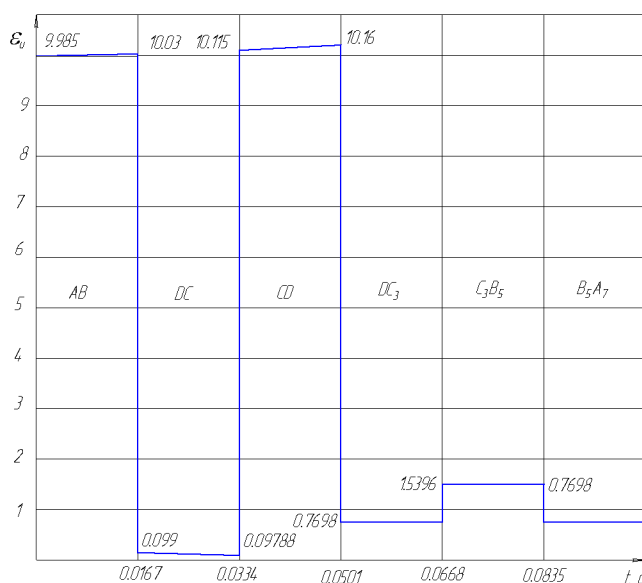


Рисунок 1.6 – Інтенсивність швидкостей деформацій в поверхневому шарі

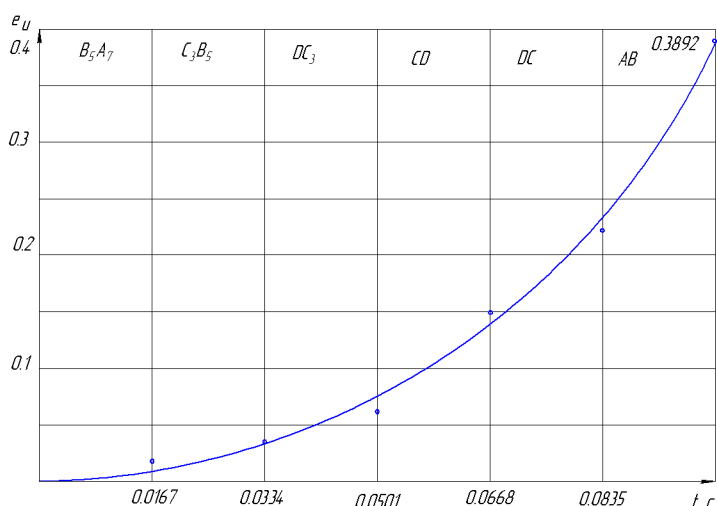


Рисунок 1.7 –Накопичена пластична деформація в поверхневому шарі

З даного графіку можна зробити висновок, що матеріал піддається формозміненню і в області пластичної хвилі, але все ж значно більше в областях випередження і відставання. В даному випадку, при обробці із обраними параметрами максимальна ступінь деформації складає 0,3892.

На основі отриманих результатів побудовано графіки залежності накопиченої деформації від лінійної швидкості переміщення ролика (рисунок 1.8), для трьох роликів діаметром 4, 7 та 10 мм, відповідно.

Із врахуванням отриманих формул визначені нормальні і дотичні напруження в кожній області, при обробці латуні Л62-1.

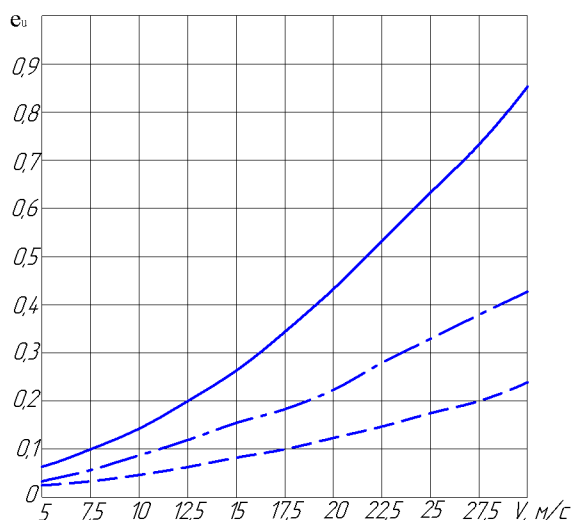


Рисунок 1.8 – Залежність накопиченої пластичної деформації від лінійної швидкості та діаметра ролика

### Висновок

В результаті досліджень виявлено, що при обкочуванні по двухроликовій схемі в поверхневих шарах валів формуються остаточні напруження, що досягають при однопрохідній обробці значень до 650 МПа, при двохпрохідній – 700 МПа.

Величина остаточних напружень, що формуються при обкочуванні, найбільше залежить від схеми обкочування, зусилля обкочування, а також швидкості обертання валу в процесі обкочування.

## 2 РОЗРОБКА МАРШРУТУ МЕХАНІЧНОЇ ОБРОБКИ

### 2.1 Визначення типу виробництва і форми організації роботи

Тип виробництва згідно ГОСТ 3.1121-84 визначається за коефіцієнтом закріплення операцій:

$$K_{з.о.} = \frac{\sum O_i}{\sum P_i}, \quad (2.1)$$

де  $\sum O_i$  – кількість операцій, які виконуються на дільниці;  $\sum P_i$  – кількість робочих місць на дільниці.

Вихідними даними для визначення  $K_{з.о.}$ , а значить і типу виробництва, є робоче креслення і річна програма випуску деталі. Згідно креслення деталі встановлені найбільш характерні переходи механічної обробки деталі “ Вал ” і занесені до таблиці 2.1, це точіння циліндричних поверхонь  $\varnothing 35$ ,  $\varnothing 45$ ,  $\varnothing 63$ ,  $\varnothing 33,5$ .

Для обраних переходів механічної обробки наближено визначено основний час механічної обробки  $T_{осн}$ , для кожного переходу формули для розрахунку записані в таблицю 2.1 Штучно-калькуляційний час визначався за формулою:

$$T_{шт-к} = T_{осн} \cdot \varphi_K \quad [хв] \quad (2.2)$$

де  $\varphi_K$  – коефіцієнт.

Для кожного переходу механічної обробки необхідна кількість верстатів:

$$C_{pi} = \frac{N \cdot T_{шт.к.}}{60 F_{\delta} \cdot \eta_{з.п.}}, \quad (2.3)$$

де  $N = 4500$  шт. – річна програма випуску деталі “ Вал 12.81”;  $T_{шт.к.}$  – штучно-калькуляційний час, хв;  $F_d$  – дійсний фонд роботи обладнання ( $F_d = 2040$  год);  $\eta_{з.н.}$  – нормативний коефіцієнт завантаження обладнання ( $\eta_{з.н.} = 0,8$ ).  
Наприклад при розточуванні попередньому та остаточному отвору  $\varnothing 76$  отримаємо:

$$C_{pi} = \frac{4500 \cdot 0.95}{60 \cdot 2040 \cdot 0.8} = 0.04$$

Одержану розрахункову кількість верстатів заокруглено до найближчого більшого числа і одержано прийняту кількість верстатів  $P$  (по одному верстату на кожне робоче місце).

Фактичний коефіцієнт завантаження обладнання:

$$\eta_{з.ф.} = \frac{C_{pi}}{P_i}, \quad (2.4)$$

де  $C_{pi}$  – необхідна кількість верстатів для виконання даної операції;  $P_i$  – кількість робочих місць для виконання даної операції.

Кількість операцій, які виконуються на  $i$ -му місці визначаються:

$$O_i = \frac{\eta_{з.н.}}{\eta_{з.ф.i}}, \quad (2.5)$$

де  $\eta_{з.н.}$  – нормативний коефіцієнт завантаження обладнання;  $\eta_{з.ф.i}$  – фактичний коефіцієнт завантаження обладнання, на  $i$ -ій операції.

Знайдено сумарну кількість операцій, що можуть бути виконані на всіх робочих місцях  $\sum O_i$ :

$$\sum O_i = 18,26 + 13,98 + 19,43 + 22,65 + 74,36 = 148,69$$

Сумарна кількість прийнятих верстатів  $\sum P=5$ . Відповідно коефіцієнт закріплення  $K_{3,0}$ :

$$K_{3,0}=148,69/5=29,74$$

Всі розрахункові дані занесені до таблиці 2.1. Згідно отриманого коефіцієнта закріплення операцій тип виробництва – дрібносерійне.

Доцільність вибору групової чи потокової форми організації роботи визначається шляхом порівняння потрібного добового випуску виробів  $N_d$  і розрахункової добової продуктивності лінії  $Q_d$ . Якщо  $N_d < Q_d$ , то потокову лінію використовувати недоцільно.

$$N_d = \frac{N}{254}, \quad (2.6)$$

де 254 кількість робочих днів в року;

$$T_{шт-к_{сер}} = \frac{\sum T_{шт-к_i}}{\sum n_i}, [\text{хв}] \quad (2.7)$$

де  $T_{шт-к_i}$  – штучно-калькуляційний час виконання  $i$ -го переходу, хв.;  $\sum n_i$  – сумарна кількість виконуваних переходів.

Відповідно середній штучно-калькуляційний час виконуваних переходів становитиме:

$$T_{шт-к_i} = (0,95+1,25+0,9+0,77+0,23)/5=0,57 \text{ (хв.)}$$

Отже добова продуктивність лінії становитиме:

$$Q_d = \frac{952}{0,57 \cdot 0,8} = 1335$$



Таблиця 2.1 - Розрахунок коефіцієнта закріплення операцій

№ п/п	Зміст технологічних переходів	$T_{\text{очн}, \text{XB}}$	$\Phi_k$	$T_{\text{шт.к.}, \text{XB}}$	$m_p$	$P$	$\eta_{\text{з.ф.}}$	$O$	$K_{\text{з.о.}}$
1	Точіння поверхні Ø33,5	0,529	1,8	0,95	0,04	1	0,04	18,26	29,74
2	Точіння поверхні Ø63	0,691	1,8	1,25	0,06	1	0,06	13,98	
3	Точіння поверхні Ø35	0,497	1,8	0,90	0,04	1	0,04	19,43	
4	Точіння поверхні Ø35 остаточно	0,427	1,8	0,77	0,04	1	0,04	22,65	
5	Точіння поверхні Ø45	0,130	1,8	0,23	0,01	1	0,01	74,36	
6	Всього	1,585		2,85				148,6	

Потрібний добовий випуск виробів:

$$N_o = \frac{4500}{254} = 18$$

Оскільки потрібний добовий випуск виробів значно менший добової продуктивності лінії то відповідно обираємо групову форму організації роботи.

При груповій формі організації роботи визначається кількість деталей в партії для одночасного запуску

$$n = \frac{N \cdot a}{254}, \quad (1.9)$$

де  $a$  – періодичність запуску деталей на обробку, в днях (4 дні).

$$n = \frac{4500 \cdot 4}{254} = 71$$

Отже тип виробництва – дрібносерійне, форма організації роботи – групова, при цьому кількість деталей в партії для одночасного запуску складає 71 шт, але це викличе необхідність за одну зміну запускати декілька партій деталей, якщо ж запускати в одну зміну одну партію то вона складатиме 667 шт.

## 2 Аналіз конструкції і технологічності деталі

На основі робочого креслення деталі виконується аналіз технологічності конструкції деталі – якісний та кількісний.

Кількісний аналіз технологічності конструкції деталі необхідно провести за показниками: коефіцієнт уніфікації, коефіцієнт точності, коефіцієнт шорсткості.

Таблиця 2.2 – Лінійні розміри

Лінійний розмір	1. 6	2	18	79	96	3	30. 8	35	34.5	45	63	33. 8	273	М3 6	М3 3
Уніфікований розмір	+	+	+	-	-	+	-	+	-	+	+	-	-	+	+
Лінійний розмір	33,5	4	3	116	93	16	13, 8	1	18, 6	20	3	1,4	19, 5		
Уніфікований розмір	-	+	+	-	-	+	-	+	-	+	+	+	+	-	
Кількість лінійних розмірів 28							Кількість уніфікованих розмірів 16								

Коефіцієнт уніфікації конструктивних елементів:

$$K_{ye} = Q_{ye} / Q_e \quad (2.8)$$

$Q_{ye}$  – кількість уніфікованих елементів в конструкції деталі,  $Q_e$  – загальна кількість елементів.

Таблиця 2.3 – Коефіцієнт уніфікації конструктивних елементів

Розміри				Шорсткість	
Лінійні		Кутові			
$P_l$	$P_{l,y}$	$P$	$P_y$	Ш	Ш <sub>y</sub>
28	16	4	4	7	7
$Q_{ye}=27$ $Q_e=39$				$K_y = \frac{27}{39} = 0.692$	

Коефіцієнт точності обробки згідно ГОСТ 18831-73

$$K = 1 - \frac{1}{T_{cp}}, \quad (2.9)$$

де  $T_{cp}$  – середній квалітет точності

$$T_{cp} = \frac{\sum T_i \cdot n_i}{\sum n_i}, \quad (2.10)$$

де  $T_i$  – квалітет точності оброблюваних поверхонь даної деталі,  $n_i$  – кількість поверхонь деталі, що мають точність  $T_i$  квалітета.

$$T_{cp} = \frac{427}{32} = 13.34$$

$$K_T = 1 - \frac{1}{13.34} = 0.925$$

Таблиця 2.4 – Коефіцієнт точності обробки

Квалітет	Кількість поверхонь	Розрахунок
6	2	6·2=12
9	1	9·1=9
14	29	14·29=406
Всього	32	427

Таблиця 2.5– Коефіцієнт шорсткості поверхні

Шорсткість $R_a$ , мкм	Кількість поверхонь	Розрахунок
1,25	3	3,75
2,5	4	10
12,5	21	262,5
$Ш_{cp} = \frac{276.25}{28} = 9.87$ $K_T = \frac{1}{9.87} = 0.1013$		276,25

Коефіцієнт шорсткості поверхні згідно ГОСТ 18831-73

$$K_w = \frac{1}{Ш_{cp}}, \quad (2.11)$$

де  $Ш_{cp}$  – середня шорсткість поверхні.

$$Ш_{cp} = \frac{\sum Ш_K \cdot n_K}{\sum n_K}, \quad (2.12)$$

де  $Ш_K$  – шорсткість оброблюваних поверхонь даної деталі;  $n_K$  – кількість

поверхонь, що мають шорсткість, яка відповідає певному числовому значенню  $R_a$ , мкм

Отже виконуються умови:

$$K_y > 0,6, K_T > 0,8, K_{ш} < 0,32$$

тобто деталь за кількісними показниками технологічна.

Деталь містить досить зручні базові поверхні, в якості яких можуть бути використані зовнішні поверхні, хоча бажано створити штучні технологічні бази у вигляді центрових отворів, які будуть використовуватися протягом усього технологічного процесу. Задана точність поверхонь може бути досягнута на верстатах підвищеної точності. Деталь містить ряд уніфікованих елементів. Для механічної обробки важкодоступних місць не має, потреби у спеціальних пристосуваннях та вимірювальних інструментах теж немає.

Деталь містить ряд точних поверхонь 6 квалітету, які можуть бути отримані тонким точінням або шліфуванням. Крім того на одній з поверхонь є шліци, які вимагають додаткового обладнання або пристосувань для їх обробки. На кресленні валу вказано ряд стандартних канавок, які можуть бути отримані стандартним ріжучим інструментом і слугують для виходу шліфувального креуга при обробці точних поверхонь.

В цілому деталь не містить важкодоступних для обробки місць і може бути отримана із вказаними вимогами точності поверхонь та їх взаємного розташування. Тобто деталь технологічна за якісними та кількісними показниками.

## 2.3 Вибір способу виготовлення заготовки

### 2.3.1 Вибір двох альтернативних способів виготовлення заготовки

Оскільки матеріал деталі Сталь 40Х, в якій ливарні властивості відносно погані, то заготовка може бути виготовлена штампуванням, або з прокату. При штампуванні мінімальний діаметр отвору що отримується 30 мм.

Більшість поверхонь деталі мають 14 квалітет точності, тому доцільно обрати метод виготовлення заготовки, що забезпечує дану ступінь точності, це дозволить мінімізувати механічну обробку заготовки. Використовувати штампування на молотах недоцільно, так як даний метод є малопродуктивним і отримувані заготовки мають низьку точність (13...17 квалітет точності та шорсткість 320...40 мкм), крім того процес важко механізувати та автоматизувати, а умови праці важкі. При штампуванні на кривошипних гарячештампвальних пресах продуктивність значно вища, вища також точність заготовок і відповідно вищий коефіцієнт використання матеріалу, відсутні ударні навантаження, кращі умови праці, але вища вартість обладнання, необхідність в додаткових проміжних операціях, зокрема нагрівання металу. Проміжне положення між двома вище вказаними способами отримання заготовки займає штампування на гвинтових пресах. В даному випадку заготовки мають достатню точність – 13-15 квалітет, пристосування є тихохідне і досить легко процес можна механізувати та автоматизувати. При використанні гідравлічних пресів отримуються заготовки високої точності, але стійкість штампів низька, необхідність в охолодженні штампів і як наслідок висока собівартість заготовок. Тобто використовуючи для отримання заготовки штампування на гідравлічних пресах ми можемо отримати отвір, тобто матимемо досить високий коефіцієнт використання матеріалу заготовки, що важливо, оскільки виробництво є серійним. Крім того заготовку можна отримати із прокату, оскільки деталь містить цілий ряд отворів, які не можуть бути отримані під час штампування через їх невеликі розміри.

Отже на основі проведеного аналізу обрано два способи отримання заготовки:

- 1) штампування на кривошипних гарячештампвальних пресах (КГШП);
- 2) прокат.

При цьому штампування на КГШП може бути у відкритих або закритих

штампах, або в штампах для витискування.

Штамування у відкритих штампах характеризуються тим, що у зазор між верхньою і нижньою частинами штампа (що є змінним) впливає надлишок металу, що утворює облой. Останній є небажаним відходом.

При штампуванні в штампах для витискування поковки мають високу якість поверхні, щільну мікроструктуру. Однак вимагаються ретельна підготовка вихідних заготовок під штампування, висока точність виготовлення і налагодження штампів, використання спеціальних змащувальних сумішей. Широке застосування стримується високими питомими зусиллями деформування, великими енерговитратами і низькою стійкістю штампів.

Штамування в закритих штампах відрізняються тим, що невеликий зазор між верхньою і нижньою частинами штампа забезпечує лише їх взаємне переміщення і в процесі деформування металу залишається постійним. Відсутність облойу у закритих штампах зменшує витрату металу, виключає необхідність в обрізанні облойу. Цей тип штампів застосовується для порівняно простих деталей, в основному тіл обертання, і вимагає використання точних заготовок з каліброваного прокату чи попередньо оброблених, що можливо в даному випадку. Тому буде використовуватися штампування в закритих штампах.

Штамування на КГШП може бути у відкритих або закритих штампах, або в штампах для витискування.

Штамування у відкритих штампах характеризуються тим, що у зазор між верхньою і нижньою частинами штампа (що є змінним) впливає надлишок металу, що утворює облой. Останній є небажаним відходом.

При штампуванні в штампах для витискування поковки мають високу якість поверхні, щільну мікроструктуру. Однак вимагаються ретельна підготовка вихідних заготовок під штампування, висока точність виготовлення і налагодження штампів, використання спеціальних змащувальних сумішей. Широке застосування стримується високими

питомими зусиллями деформування, великими енерговитратами і низькою стійкістю штампів.

Штапування в закритих штампах відрізняються тим, що невеликий зазор між верхньою і нижньою частинами штампа забезпечує лише їх взаємне переміщення і в процесі деформування металу залишається постійним. Відсутність облою у закритих штампах зменшує витрату металу, виключає необхідність в обрізанні облою. Цей тип штампів застосовується для порівняно простих деталей, в основному тіл обертання, і вимагає використання точних заготовок з каліброваного прокату чи попередньо оброблених, що можливо в даному випадку. Тому буде використовуватися штапування в закритих штампах.

### 2.3.2 Розрахунок розмірів заготовки для двох способів її виготовлення

Згідно ГОСТ 7505-89 на КГШП при штапуванні в закритих штампах отримуються заготовки Т2-Т3 класу точності, для серійного типу виробництва приймаємо 3 клас точності (Т3).

Деталь виготовляється із Сталі 40Х, що відповідно містить 0,4% вуглецю, тобто даний матеріал відноситься до другої групи (М2).

Для того, щоб визначити ступінь складності виливка, що є одною із конструктивних характеристик форми поковки, необхідно попередньо обчислити масу штаповки. Скористаємося формулою для орієнтовного розрахунку[4]:

$$M_{п.р.} = M_d \cdot K_p, \text{ [кг]} \quad (2.13)$$

де  $M_{п.р.}$  – розрахункова маса поковки;  $M_d$  – маса деталі;  $K_p$  – розрахунковий коефіцієнт, що для валу даної конфігурації рівен 1,2 [4].

Відповідно отримаємо:

$$M_{п.р.} = 2,5 \cdot 1,2 = 3 \text{ (кг)}$$

Вал вписується у циліндр, маса якого складатиме:

$$M = \pi \cdot 31,5^2 \cdot 273 \cdot 7,814 \cdot 10^{-6} = 6,646 \text{ (кг)}$$

Відношення маси деталі до маси заготовки:



$$3/6,646=0,45$$

Отже згідно із ГОСТ 7505-89 поковка матиме 2 ступінь складності (С2).

Площина роз'єму проходитьиме через вісь валу.

Згідно [4] вихідний індекс з врахуванням отриманих вище даних складатиме – 11.

Припуск на механічну обробку включає основний, а також додаткові припуски, що враховують відхилення форми поверхні. Основний припуск на механічну обробку поковок визначається в залежності від вихідного індексу, лінійних розмірів та шорсткості поверхні деталі для кожного розрахункового розміра. Наприклад для  $\varnothing 35$  згідно [4] він складає 1,6 мм. Аналогічно визначається припуск на інші поверхні, результати занесено до таблиці 2.1. Додатковий припуск на зміщення по поверхні роз'єму штампа складають 0,3 мм [4], причому внаслідок наявності двох площин роз'єму їх зміщення впливатиме на всі поверхні які охоплені розрахунковими розмірами. Додатковий припуск для врахування вигнутості і відхилення від площинності, прямолінійності визначається в залежності від класу точності (Т3) та найбільшого розміру заготовки (273 мм) в даному випадкові складає 0,5 мм.

З врахуванням прийнятих припусків отримаємо розміри заготовки:

$$\varnothing 35+(1,6+0,2+0,5)\cdot 2=\varnothing 39,6 \text{ (мм) приймаємо } \varnothing 40;$$

$$\varnothing 45+(1,3+0,2+0,5)\cdot 2=\varnothing 49 \text{ (мм);}$$

$$\varnothing 63+(1,3+0,2+0,5)\cdot 2=\varnothing 67 \text{ (мм);}$$

$$\varnothing 36+(1,6+0,2+0,5)\cdot 2=\varnothing 40,6 \text{ (мм) приймаємо } \varnothing 41;$$

$$\varnothing 20+(1,6+0,2+0,5)\cdot 2=\varnothing 24,6 \text{ (мм) приймаємо } \varnothing 25;$$

$$273+(1,7+0,2+0,5+1,7)=277,1 \text{ приймаємо } 277 \text{ (мм);}$$

$$79+(1,7-1,6+0,2+0,5)=79,8 \text{ приймаємо } 80 \text{ (мм);}$$

$$96+(1,7-1,3+0,2+0,5)=97,1 \text{ приймаємо } 97 \text{ (мм);}$$

$$16+(1,7-1,5+0,2+0,5)=16,9 \text{ приймаємо } 17;$$

$$116+(1,7-1,4+0,2+0,5)=117 \text{ (мм).}$$

Допустимі відхилення лінійних розмірів поковок призначаються в залежності від вихідного індекса і розмірів поковки за [4]. Отримані дані заносимо до таблиці 2.6.

Таблиця 2.6 - Розрахунок розмірів штампованої заготовки

Вхідні дані	Штамповка на КГШП									
Клас точності	Т3									
Марка матеріалу	М2									
Ступінь складності	С2									
Індекс	11									
Конфігурація поверхні розему штампа	П									
Припуски: Основні	Розрахункові розміри, мм									
	Ø35	Ø45	Ø63	Ø36	Ø20	79	96	16	116	273
	1,6	1,3	1,3	1,6	1,6	1,6	1,3	1,5	1,4	1,7
Додаткові: На зміщення поповерхні розему штампа	0,2									
Для врахування вигнутості і відхилення від площинності, прямолінійності	0,5									
Радіуси заокруглень	2,5									
	Розміри заготовки									
	40	49	67	41	25	80	97	17	117	277
Допуски: розмірів	1,6 (+1.1) (-0.5)	2 (+1.3) (-0.7)	2 (+1.3) (-0.7)	1,6 (+1.1) (-0.5)	1,6 (+1.1) (-0.5)	2 (+1.3) (-0.7)	2 (+1.3) (-0.7)	1,6 (+1.1) (-0.5)	2,2 (+1.4) (-0.8)	2,8 (+1.8) (-1.0)
Зміщення по поверхні розему штампа	0,5									
По вигнутості від площинності і прямолінійності	1									
Радіусів заокруглень	0,5									
Величини замкнутого облоу	0,7									

опустима величина зміщення по поверхні роз'єму штампу визначається в залежності від маси поковки, конфігурації поверхні роз'єму штампа і

класу точності і не повинна перевищувати 0,5 мм.

Допустиме відхилення по вигнутості від площинності і прямолінійності для плоских поверхонь складає 1 мм [4]. Дана величина не враховує перепади по висоті чи ширині поковки.

Допустима величина остаточного облою за лежить від маси поковки, конфігурації поверхні роз'єму і класа точності та призначається згідно ГОСТ 7505-89, і складає 0,7 мм.

Радіуси заокруглень прийняті рівними 2,5 мм, з врахуванням того, що глибина полості штампа складає не більше 60 мм, при цьому допуск на радіус заокруглення рівен 0,5 мм.

Для полегшення виймання заготовки із штампу зовнішні поверхні робляться з штампувальним нахилом  $7^\circ$ , а внутрішні поверхні -  $10^\circ$ .

Отримані результати заносимо до таблиці 3.1.

Оскільки, одним із варіантів обрано заготовку із прокату, то за довідником обрано прокат із сталі 40Х.

Розраховуємо граничні розміри заготовки:

$$\text{Ø } 63 + 2 \cdot 2 = 67 \text{ (мм)}.$$

Найближчий більший гостований прокат 70 ГОСТ 19903-74, [4].

Лінійний розмір 273 буде дорівнювати сумі номінального розміру і подвоєному припуску на підрізання торцю.

$$273 + 2 \cdot 6 = 285 \text{ (мм)}.$$

Отже, з гостованого 2000х Ø 70 мм прокату, врахувавши припуск на розрізку і обробку торцю прокату - ми одержимо 7 заготовок.

При цьому прокат обирають виготовлений за 16 квалітетом точності, і відповідно допуски на отримувані розміри складатимуть:  $200_{-2,9}$ ,  $\text{Ø}67_{-1,9}$ .

### 2.3.3 Оформлення ескізів обох варіантів заготовки

Ескізи наведено на рисунках 2.1 та 2.2.

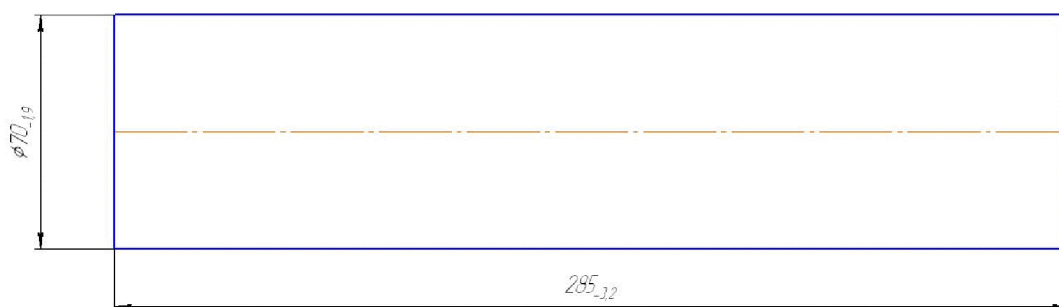


Рисунок 2.1 – Заготовка з прокату

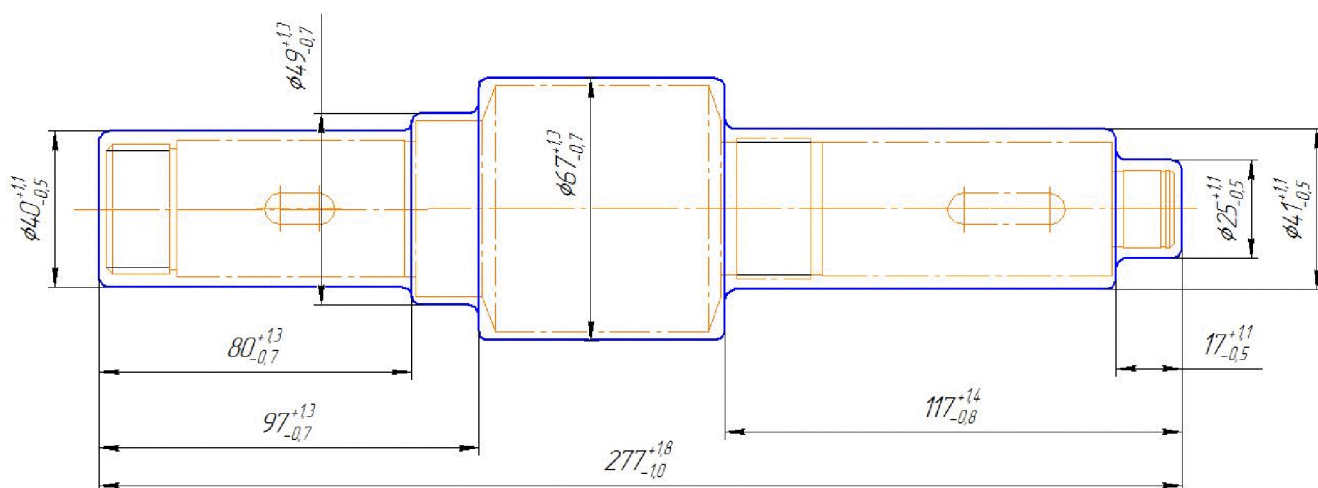


Рисунок 2.2- Заготовка отримана штампуванням на КГШП

2.3.4 Розрахунок маси і коефіцієнтів використання матеріалу для двох варіантів заготовки

Масу заготовок, аналогічно масі деталі, обчислюємо за допомогою КОМПАС-3D.

– КГШП:

МЦХ

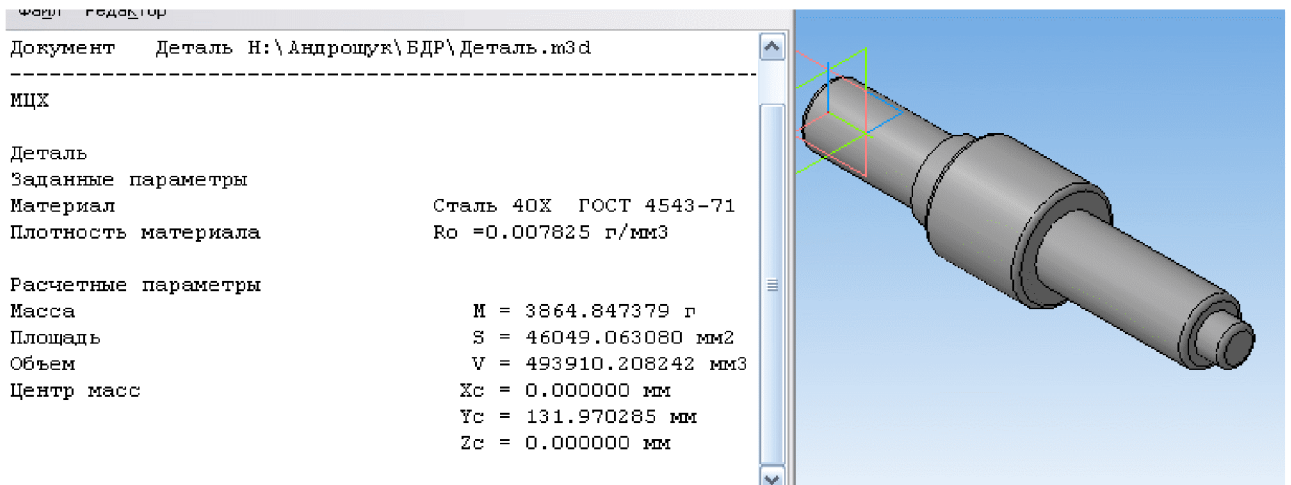


Рисунок 2.3 – Визначення маси заготовки штампованої на КГШП

Коефіцієнт використання матеріалу заготовки:

$$\gamma = G_{\text{дет}} / G_{\text{заг}} = 2,5 / 3,86 = 0,64$$

– Прокат:

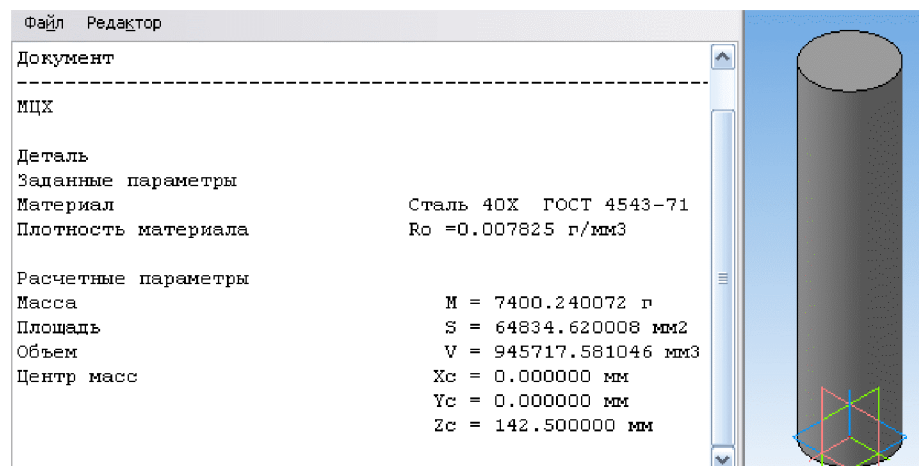


Рисунок 2.4 – Визначення маси заготовки із прокату

Коефіцієнт використання матеріалу заготовки:

$$\gamma = G_{\text{дет}} / G_{\text{заг}} = 2,5 / 7,4 = 0,34$$

Коефіцієнт використання матеріалу при штампуванні на КГШП більший ніж при прокатуванні. Це означає, що при одержанні заготовки на

пресах менше матеріалу знімається у вигляді стружки з поверхонь заготовки при механічній обробці, тобто заготовка більш наближена до готової деталі.

### 2.3.5 Техніко-економічне порівняння обох варіантів заготовки і вибір найраціональнішого

Вартість заготовки – це економічний показник, який впливає на собівартість виготовлення деталі. Для того, щоб надати перевагу якомусь способу штампування необхідно визначити вартість заготовок.

Вартість заготовки визначаємо за формулою, [4]:

$$C_{заг.} = \left( \frac{G_{заг}}{1000} \cdot C_{шт} \cdot K_T \cdot K_M \cdot K_C \cdot K_B \cdot K_{II} \right) - \left( \frac{G_{заг} - G_{дет}}{1000} \right) \cdot C_{відх} \text{, [грн]} \quad (3.3)$$

де  $G_{заг} = 3,86$  кг – маса заготовки;

$G_{дет} = 2,5$  кг – маса деталі;

$C_{шт} = 18730$  – базова вартість 1т штамповки;

$K_T$  – коефіцієнт, що враховує клас точності заготовок;

$K_M$  – коефіцієнт, що враховує матеріал заготовки;

$K_C$  – коефіцієнт, що враховує групу складності заготовки;

$K_B$  – коефіцієнт, що враховує масу заготовки, вибираємо згідно;

$K_{II}$  – коефіцієнт, що залежить від об'єму виробництва;

$C_{відх}$  – вартість 1 т. стружки, для сталі  $C_{відх} = 1520$ .

Призначаємо коефіцієнти:  $K_T = 1$ ,  $K_M = 1,0$ ,  $K_C = 0,75$ ,  $K_B = 1,33$ ,  $K_{II} =$

1,0.

Штампування на КГШП:

$$C_{заг.шт.} = \frac{3.86 \cdot 18730 \cdot 1,0 \cdot 1,0 \cdot 0,75 \cdot 1,33 \cdot 1,0}{1000} - \frac{(3.86 - 1,5)}{1000} \cdot 1520 = 68,33$$

(грн.)

Вартість заготовки визначаємо за формулою, [2]:

$$C_{пр.} = \frac{Q_{заг.}}{1000} \cdot C_M - \frac{(Q_{заг.} - Q_{дет.})}{1000} \cdot C_{відх.}, [\text{грн}] \quad (2.14)$$

де  $Q_{заг.}$  – маса заготовки, кг;  $C_M$  – вартість 1т матеріалу заготовки, грн;

$Q_{дет.}$  – маса готової деталі, кг;  $C_{відх.}$  – вартість 1т відходів, грн;

$C_M = 10000$  гр.о,  $C_{відх.} = 1520$  гр.о

$$C_{заг.шт.} = \frac{7.4 \cdot 10000}{1000} - \frac{(7.4 - 2.5)}{1000} 1520 = 66,56 \text{ (грн.)}$$

Отже, після розрахунку вартості заготовок бачимо, що вартість прокатної заготовки менша ніж на КГШП пресах.

Для прийняття остаточного рішення відносно вибору варіанту одержання заготовки крім вартості заготовок, коефіцієнтів використання матеріалу та вагової точності потрібно порівняти маршрути механічної обробки деталі. Якщо є операції, які відрізняються внаслідок різних способів одержання заготовки, то собівартість їх виконання потрібно включити у вартість відповідної заготовки. Тобто тоді повна собівартість заготовки:

$$C_{заг} = C_{заг.шт.} + \Sigma C_{обр.}, [\text{грн}] \quad (2.15)$$

де  $\Sigma C_{обр.}$  – технологічна собівартість виконання тих операцій, якими відрізняються маршрути механічної обробки деталі внаслідок різних способів одержання заготовки.

$$C_{\text{обр}} = C_{\text{п.-з.}} \cdot T_{\text{шт-к(шт)}} / K_{\text{в}}, [\text{грн}] \quad (2.16)$$

$C_{\text{п.-з.}}$  – хвилинні приведені витрати, грн. – вибираємо згідно [4];

$T_{\text{шт-к(шт.)}}$  –штучно-калькуляційний чи штучний час на операцію, хв.;

$K_{\text{в}}$  - коефіцієнт виконання норм,  $K_{\text{в}} \approx 1,3$ ;

$C_{\text{п.-з.}} = 37,9$  грн/год, тобто 0,63 грн/хв.- собівартість точіння на токарному верстаті 16К20.

Штучно калькуляційний час визначається за формулою:

$$T_{\text{шт-к(шт.)}} = T_0 \cdot \varphi_{\text{к}}, [\text{хв}] \quad (2.18)$$

Де основний час при точінні:

$$T_0 = 0,17 dI [\text{хв}] \quad (2.19)$$

Відповідно, для того щоб отримати заготовку аналогічно за формулю отримуваній після КГШП необхідно обточити поверхні  $\varnothing 40$  довжиною 80мм,  $\varnothing 49$  довжиною 17 мм,  $\varnothing 41$  довжиною 100 мм та  $\varnothing 25$  довжиною 17 мм. Враховуючи, що для цього необхідно всі поверхні точити тричі, основний час складатиме:

$$T_{01} = 0,17 \cdot (40 \cdot 80 \cdot 3 + 49 \cdot 17 \cdot 2 + 41 \cdot 100 \cdot 3 + 25 \cdot 17 \cdot 4 + 67 \cdot 63) \cdot 0,001 = 5,01 \text{ (хв)};$$

$$T_{\text{шт-к(шт.)}1} = 53,01 \cdot 2,14 = 10,72 \text{ (хв)};$$

$$C_{\text{обр}} = 10,72 \cdot 0,63 / 1,3 = 5,2 \text{ (грн)};$$

$$C_{\text{заг}} = 66,56 + 5,2 = 71,76 \text{ (грн)}.$$

Отже, врахувавши токарну обробку, ми бачимо, що прокат дорожчий за КГШП. Тобто за основний спосіб отримання заготовки обираємо штампування на КГШП.



## 2.41 Аналітичний огляд відомих маршрутів механічної обробки подібних деталей в умовах даного типу виробництва

Дану деталь можна вінести до типу валів. Оскільки вона має значну довжину з невеликими перепадами зовнішніх діаметрів. В машинобудуванні широко поширені деталі типу вал – ступінчасті з різними перепадами діаметрів. В наш час розроблені типові технологічні процеси механічної обробки валів на основі різновидності їх в різних типах виробництва.

Основними базами більшості валів є поверхні його опорних шийок. Але використати їх в якості технологічних баз при обробці зовнішніх поверхонь, як правило, важко, особливо при умові збереження постійності баз, що дуже важливо при автоматизації технологічного процесу. Тому в більшості операцій за технологічні бази приймають бази центрових отворів з обох торців заготовки, що дозволяє обробляти майже всі зовнішні поверхні валу на єдиних базах з установкою в центрах. В зв'язку з цим механічну обробку валів розпочинають з підготовки технологічних баз – підрізання торців і їх зацентровки.

Зовнішні поверхні ступінчастих валів обточують на токарних. Токарно – копіювальних верстатах, горизонтальних багатоінструментальних верстатах, на вертикальних одношпindelних і багатошпindelних автоматах, а також на токарних верстатах з ЧПК.

При обробці валів в центрах для витримування лінійних розмірів від постійної бази рекомендується використовувати плаваючі передні центра з упором торцю заготовки в упорне кільце. Це дозволить уникнути похибки по глибині зацентровки. В дрібносерійному виробництві для більш ефективного використання гідравлічних супортів доцільно використовувати групову обробку, тобто обробку валів декількох типорозмірів, що відрізняються розмірами в межах групи, з мінімальним переналагодженням і в ряді випадків лише з невеликою корекцією лімбом гідравлічного супорта. Це на 80-85% зменшує час налагодження.

В серійному виробництві широке поширені багаторізцеві і токарно-копіювальні верстати, напівавтомати і автомати. Однопрохідна копіювальна і однопрохідна багаторізцева обробка жорстких валів забезпечують точність по 9-11 квалітетам. Багаторізцева обробка може бути ефективніша копіювальної для валів, що мають велику довжину і діаметр і великі перепади діаметрів, так як в повздовжньому супорті можна встановити більшу кількість різців. Однак велике збільшення сил різання може привести до деформації оброблюємого валу, а це змушує понижувати подачу в порівнянні з подачею при обробці на копіювальному верстаті. Тому в кожному конкретному випадкові при кінцевому виборі методу обробки потрібно приймати до уваги результати розрахунків на точність і економічну доцільність.

Сучасні токарно - копіювальні верстати на 50...100% продуктивніші універсальних токарних, їх виготовляють в достатньо широкому діапазоні. На таких верстатах можна обробляти зовнішні, внутрішні і торцеві поверхні; їх порівняно легко переналагодити при переході на обробку інших деталей. Крім того, верстати мають відкриту робочу зону, що дозволяє сквозне транспортування деталі при вбудові їх в автоматичні лінії.

2.5 Вибір способів механічної обробки поверхонь із підвищеними вимогами точності визначення кількості ступенів механічної обробки циліндричної поверхні

Відповідно до службового призначення різні поверхні деталі виконують різні функції. Тому вимоги до них можуть бути найрізноманітніші: за точністю, шорсткістю, твердістю тощо. Забезпечуються ці вимоги використанням різних технологічних методів обробки. Їх вибирають з урахуванням габаритних розмірів, методу одержання та параметрів точності вихідної заготовки, властивостей матеріалу, наявності необхідного обладнання та інших факторів.

Визначення кількості ступенів механічної обробки виконується на основі розрахунків за формулою:

$$\varepsilon_{\Sigma} = \frac{T_3}{T_{\text{д}}} = \frac{T_3}{T_1} \cdot \frac{T_1}{T_2} \cdots \frac{T_i}{T_{i-1}} \cdots \frac{T_n}{T_{\text{д}}} = \varepsilon_1 \cdot \varepsilon_2 \cdots \varepsilon_i = \prod_{i=1}^n \varepsilon_i ; \quad (2.14)$$

де  $\varepsilon$  – загальне уточнення;

$\varepsilon_i$  – окремі ступені уточнення;

$n$  – число ступенів обробки;

$T_{\text{д}}$  – допуск деталі.

$T_3$ , – допуск заготовки;

$T_i$  – окремого ступеня обробки.

Відповідно до наведених вище вимог для усіх поверхонь визначена кількість переходів і способи та методи попередньої та остаточної обробки.

Наприклад для розміру  $\varnothing 35$  загальне уточнення буде рівним:

$$\varepsilon = 1,6 / 0,016 = 100$$

Для більш спрямованого вибору числа ступенів механічної обробки скористаємося формулою:

$$n = \lg \varepsilon / 0.46 \quad (4.2)$$

Тобто підставивши числові значення в даному випадкові отримаємо:

$$N = \lg 100 / 0.46 = 4,35$$

Отже можна проводити обробку за чотири або п'ять переходів механічної обробки. Для зменшення трудомісткості приймаємо чотири переходи і призначаємо:

$$\varepsilon_1 = 5,6; \varepsilon_2 = 4,6; \varepsilon_3 = 3;$$

Відповідно тоді ступень уточнення другого переходу складатиме:

$$\varepsilon_2 = \varepsilon / \varepsilon_1 \cdot \varepsilon_3 \quad (4.3)$$

Тобто:

$$\varepsilon_4=100/5,6 \cdot 4,6 \cdot 3=1,29$$

Допуск після першого переходу складатиме:

$$T_1=1,6/5,6=0,286 \text{ (мм)}$$

Що відповідає 12 квалітету точності поверхні. Після другого переходу механічної обробки ми отримуємо поверхню 9 квалітету, а вже після третього переходу - 7 квалітету, після четвертого переходу механічної обробки відповідно отримуємо поверхню 6 квалітету точності. Оскільки обробляється зовнішня поверхня валу, то доцільно використати метод обробки – точіння, а остаточний - шліфування.

Метод обробки і кількість ступенів механічної обробки визначається аналогічно, а всі результати занесено до таблиці 2.7.

Таблиця 2.7 – Визначення способів і кількості ступенів механічної обробки

Поверхневий розмір	Загальне уточнення	Кількість ступенів механічної обробки	Допуск	Квалітет	Вид механічної обробки
1	2	3	4	5	6
Ø35	$\varepsilon=1,6/0,01$ $6=100$	$\varepsilon_1=5,6$	$T_1=286$	12	Точіння попереднє
		$\varepsilon_2=4,6$	$T_2=62$	9	Точіння попереднє
		$\varepsilon_3=3$	$T_3=20$	7	Точіння остаточне
		$\varepsilon_4=1,29$	$T_4=16$	6	Шліфування
Ø63	$\varepsilon=2/0,62=$ $=3,22$	$\varepsilon_1=5$	$T_1=400$	12	Точіння попереднє
		$\varepsilon_2=4$	$T_2=100$	10	Точіння попереднє
		$\varepsilon_3=1,5$	$T_3=65$	9	Точіння остаточне

## Продовження таблиці 2.7

1	2	3	4	5	6
Ø45	$\varepsilon=2/0,62=$ $=3,22$	$\varepsilon_1=3,22$	$T_1=62$	14	Точіння
Ø20	$\varepsilon=1,6/0,02$ $1=76,19$	$\varepsilon_1=5$ $\varepsilon_2=4$ $\varepsilon_3=3$ $\varepsilon_4=1,27$	$T_1=320$ $T_2=80$ $T_3=27$ $T_4=21$	13 10 8 6	Точіння попереднє Точіння попереднє Точіння остаточне Шліфування
Ø36	$\varepsilon=1,6/0,6$ $2=2,58$	$\varepsilon_1=2,58$	$T_1=620$	14	Точіння

## 2.6 Вибір чистових і чорнових технологічних баз

При виборі чистових баз потрібно мінімізувати похибку базування на отримувані розміри. Відповідно за чистові бази запропонована схема базування в центрах, вона показана на рисунку 3.1.

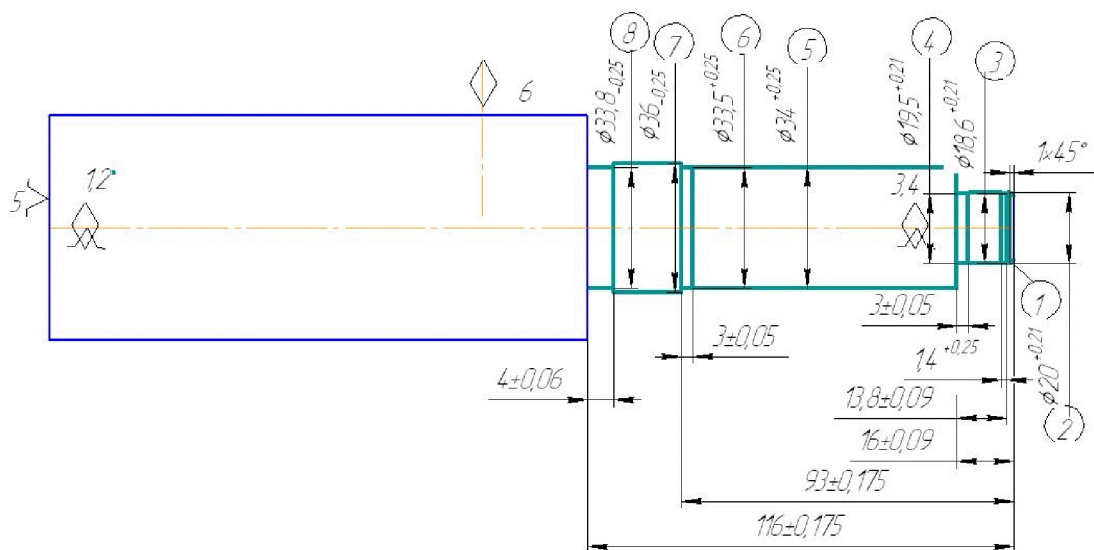


Рисунок 2.5– Чистові технологічні бази (операція 010)

Таблиця 2.8 – Аналіз вибору технологічних баз на операції 010

Назва операції	Розмір чи вимога точності	Відсутність чи наявність похибки базування	Фактор, який забезпечує відсутність чи зумовлює наявність похибки базування
Токарна з ЧПК	Ø33,8, Ø36, Ø33,5, Ø34, Ø19,5, Ø18,6	відсутня	Діаметральні розміри
	4, 3, 3, 1,4	відсутня	Обробка з одного установка
	138,16,93,116	присутня	Рівна допускові на розмір 273 (0,08 мм), що не перевищує допуск на жодний розмір

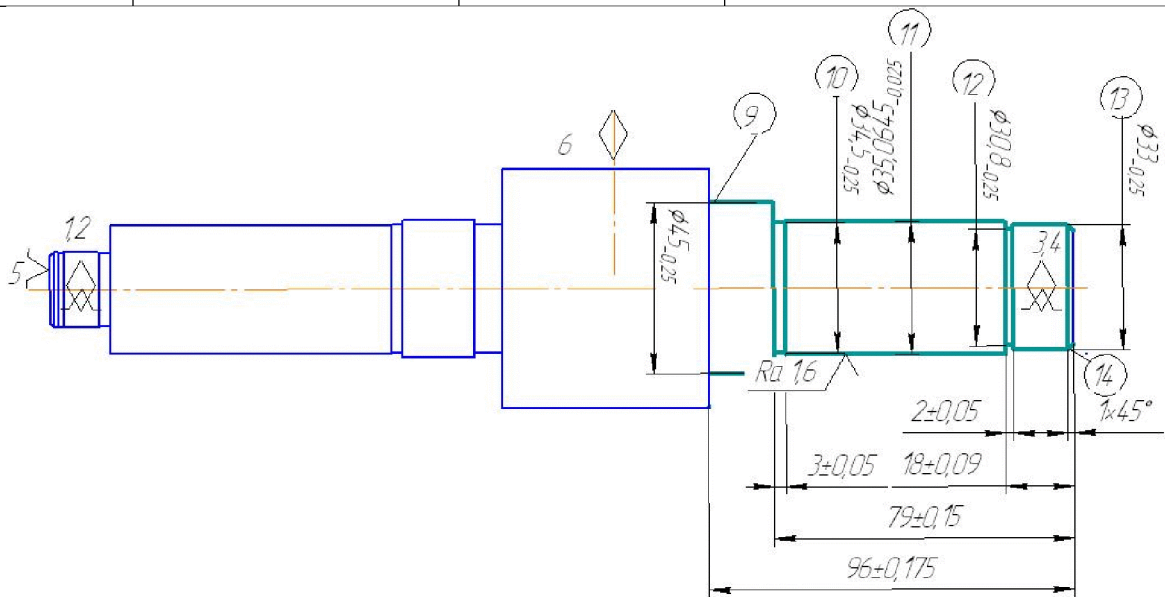


Рисунок 2.6 – Чистові технологічні бази (операція 015)

При виборі чорнових технологічних баз має вирішуватися одна із двох задач: зняття рівномірного мінімального припуску з поверхні при подальшій механічній обробці чи зв'язок оброблюваних і необроблюваних поверхонь.

В якості чорнових технологічних баз можна використати схему базування на призми Це забезпечить зняття рівномірного мінімального припуску із площини, яка використовується в якості установчої бази.

Таблиця 2.9 – Аналіз вибору технологічних баз на операції 015

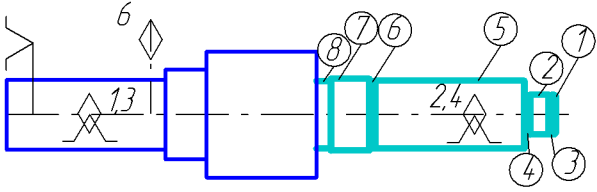
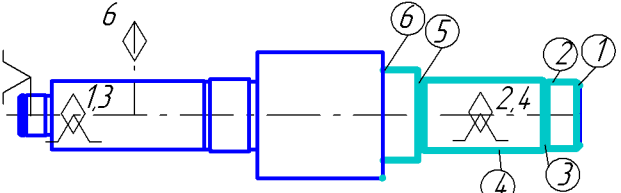
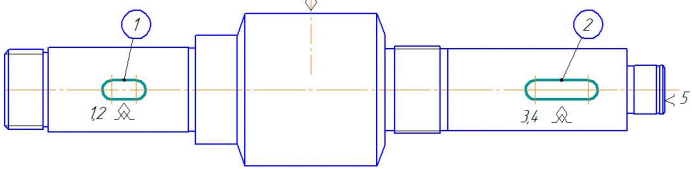
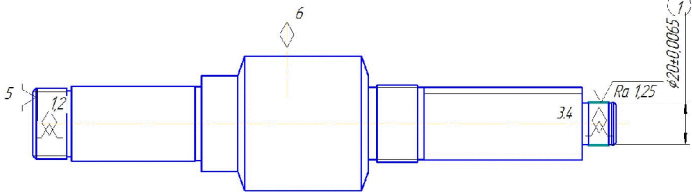
Назва операції	Розмір чи вимога точності	Відсутність чи наявність похибки базування	Фактор, який забезпечує відсутність чи зумовлює наявність похибки базування
Токарна з ЧПК	Ø35,05, Ø34,5, Ø30,8, Ø33, Ø45	відсутня	Діаметральні розміри
	2, 3	відсутня	Обробка з одного установа
	18, 79, 96	присутня	Рівна допускові на розмір 273 (0,08 мм), що не перевищує допуск на жодний розмір

2.7 Проектування маршруту механічної обробки з розробкою змісту операцій, попереднім вибором верстатів та зображенням схем базування

Таблиця 2.10 -Маршрут механічної обробки

Номер операцій	Зміст операцій та переходів	Схема базування	Модель верстату
005	<p><u>Фрезерно-центрувальна</u></p> <p>1 Встановит деталь  2 Фрезерувати торець 1  3 Свердлити центрувальний отвір 2  3 Фрезерувати торець 3  4 Свердлити центрувальний отвір 4  5 Зняти деталь</p>		MP71

## Продовження таблиці 2.10

1	2	3	4
010	<p align="center"><u>Токарна з ЧПК</u></p> <p>1 Встановити заготовку  2 Точити попередньо поверхні 1, 2, 5, 6, 7.  3 Точити попередньо поверхню 2  4 Точити остаточно поверхню 2  5 Точити канавку 3  6 Точити канавку 4  7 Точити канавку 8  8 Нарізати різь на поверхні 7  9 Зняти деталь</p>		16K20Ф3
015	<p align="center"><u>Токарна з ЧПК</u></p> <p>1 Встановити заготовку  2 Точити попередньо поверхні 1, 2, 4, 6  3 Точити попередньо поверхню 4  4 Точити остаточно поверхню 4  5 Точити канавку 3  6 Точити канавку 5  7 Нарізати різь на поверхні 2  8 Зняти деталь</p>		16K20Ф3
020	<p align="center"><u>Фрезерна з ЧПУ</u></p> <p>1 Встановити і закріпити заготовку  2 Фрезерувати паз 1  3 Фрезерувати паз 2  4 Зняти деталь</p>		6P13Ф3
025	<p align="center"><u>Токарна з ЧПК</u></p> <p>1 Встановити і закріпити заготовку  2 Точити поверхню 1  3 Зняти деталь</p>		МК6801Ф3



## Продовження таблиці 2.10

1	2	3	4
030	<p align="center"><u>Токарна з ЧПК</u></p> <p>1 Встановити і закріпити заготовку</p> <p>2 Точити поверхню 1</p> <p>3 Зняти деталь</p>		МК6801Ф3

## 2.8 Розмірний аналіз технологічного процесу

Технологічні розміри слід розташовувати таким чином, що мінімізувати похибку базування і забезпечити можливість його контролю універсальним інструментом. Наприклад технологічний розміри  $B_1$ ,  $B_2$  зв'язують два торця, що дозволяє легко проконтролювати розмір, наприклад, за допомогою штангенциркуля. Розташування розмірів  $B_3$ ,  $B_4$ ,  $B_5$  забезпечує мінімальну похибку базування на ці розміри. Аналогічно розміри  $B_6$ ,  $B_7$  зв'язують поверхні, що отримуються із одного установка, що забезпечує відсутність похибки базування. Крім того ці розміри легко контролюються універсальним інструментом.

Таблиця 2.11– Допуски технологічних розмірів

Розміри заготовки	$Z_1$	$Z_2$	$Z_3$	$Z_4$	$Z_5$	$B_1$	$B_2$	$B_3$	$B_4$	$B_5$
Попередні значення допусків	1,3	0,74	0,43	0,87	0,87	0,81	0,52	0,18	0,12	0,35
Розміри заготовки	$B_6$	$B_7$	$B_8$	$B_9$	$B_{10}$	$B_{11}$	$B_{12}$	$B_{13}$	$B_{14}$	$B_{15}$
Попередні значення допусків	0,12	0,35	0,12	0,25	0,18	0,18	0,3	0,12	0,35	0,12



Граф, складений із конструкторських розмірів  $K_1K_2\dots$  і припусків називається вихідним графом (деревом).

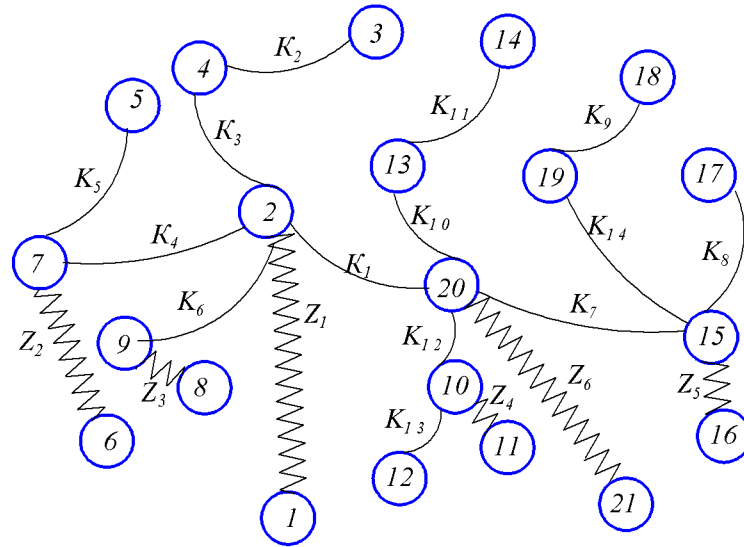


Рисунок 2.8– Вихідний граф-дерево

Граф, складений із технологічних розмірів  $B_1B_2\dots$  і розмірів заготовки  $Z_1Z_2\dots$  називається похідним графом.

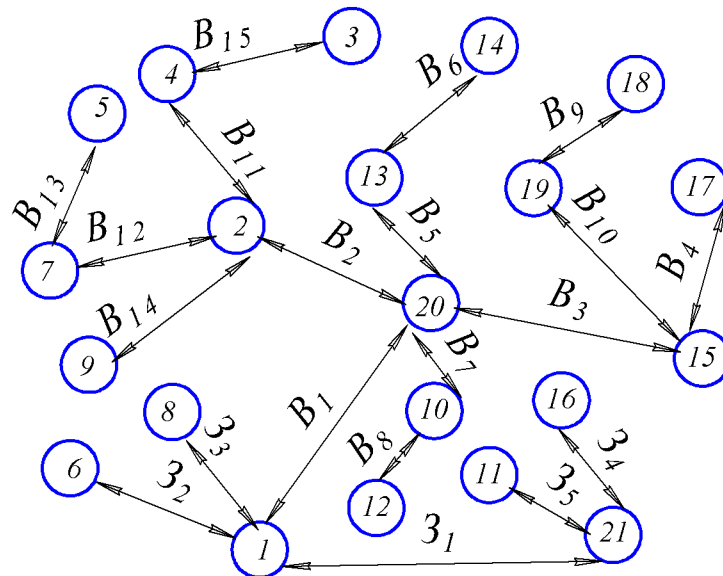


Рисунок 2.9 – Похідний граф-дерево

Суміщений граф являє собою графічне зображення ТП механічної обробки.

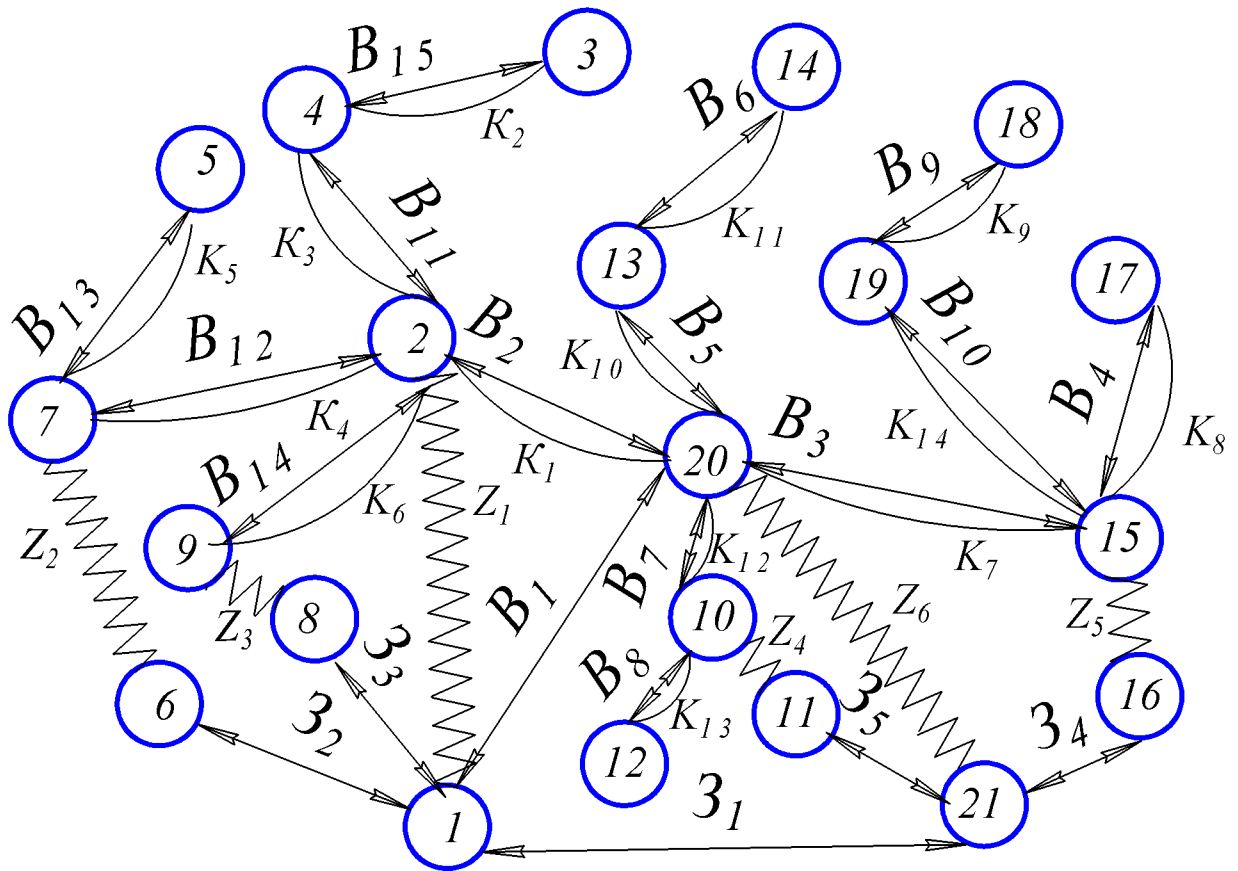


Рисунок 2.10 – Суміщений граф-дерево

Для проведення необхідних розрахунків в подальшому необхідно визначити проміжні мінімальні припуски за довідником [6]. При цьому, оскільки в даному випадку розглядаються лише торці валу, які входять в один діапазон і обробляються: кожен за один прохід, то мінімальний припуск буде однаковий для всіх торців, тобто:

$$Z_{1 \min} = Z_{2 \min} = Z_{3 \min} = Z_{4 \min} = Z_{5 \min} = Z_{6 \min} = 0,6 \text{ мм}$$

Використовуючи граф-дерева заносимо розрахункові рівняння до таблиці 2.12

Таблиця 2.12– Рівняння розрахунку розмірних технологічних ланцюгів

Розрахункове рівняння	Вихідне рівняння	Розмір, що визначається
1	2	3
$B_2 - K_1 = 0$	$B_2 = K_1$	$B_2$
$B_3 - K_7 = 0$	$B_3 = K_7$	$B_3$
$B_4 - K_8 = 0$	$B_4 = K_8$	$B_4$
$B_5 - K_{10} = 0$	$B_5 = K_{10}$	$B_5$
$B_6 - K_{11} = 0$	$B_6 = K_{11}$	$B_6$
$B_7 - K_{12} = 0$	$B_7 = K_{12}$	$B_7$
$B_8 - K_{13} = 0$	$B_8 = K_{13}$	$B_8$
$B_9 - K_9 = 0$	$B_9 = K_9$	$B_9$
$B_{10} - K_{14} = 0$	$B_{10} = K_{14}$	$B_{10}$
$B_{11} - K_3 = 0$	$B_{11} = K_3$	$B_{11}$
$B_{12} - K_4 = 0$	$B_{12} = K_4$	$B_{12}$
$B_{13} - K_5 = 0$	$B_{13} = K_5$	$B_{13}$
$B_{14} - K_6 = 0$	$B_{14} = K_6$	$B_{14}$
$B_{15} - K_2 = 0$	$B_{15} = K_2$	$B_{15}$
$B_2 - B_1 + Z_1 = 0$	$Z_1 = B_2 - B_1$	$B_1$
$Z_1 - B_1 - Z_5 = 0$	$Z_5 = Z_1 - B_1$	$Z_1$
$Z_2 - B_{12} - Z_1 + Z_2 = 0$	$Z_2 = B_{12} + Z_1 - Z_2$	$Z_2$
$Z_3 - B_{14} - Z_1 + Z_3 = 0$	$Z_3 = B_{14} + Z_1 - Z_3$	$Z_3$
$Z_4 - B_3 - Z_6 + Z_5 = 0$	$Z_5 = B_3 + Z_6 - Z_4$	$Z_4$
$Z_5 - B_7 - Z_6 + Z_4 = 0$	$Z_4 = B_7 + Z_6 - Z_5$	$Z_5$

Відповідно до визначених вище технологічних рівнянь визначимо для кожного розміру цього межі:

$$B_2 = K_1 = 273 \pm 0.26$$

$$B_{2 \min} = 272,74 \text{ MM}; B_{2 \max} = 273,26 \text{ (MM)};$$

$$B_3 = K_7 = 16 \pm 0.09$$

$$B_{3 \min} = 15,91 \text{ MM}; B_{3 \max} = 16,09 \text{ (MM)};$$

$$B_4 = K_8 = 3 \pm 0.06$$

$$B_{4 \min} = 2,94 \text{ MM}; B_{4 \max} = 3,06 \text{ (MM)};$$

$$B_5 = K_{10} = 93 \pm 0.175$$

$$B_{5 \min} = 92,825 \text{ MM}; B_{5 \max} = 93,175 \text{ (MM)};$$

$$B_6 = K_{11} = 3 \pm 0.06$$

$$B_{6 \min} = 2,94 \text{ MM}; B_{6 \max} = 3,06 \text{ (MM)};$$

$$B_7 = K_{12} = 116 \pm 0.175$$

$$B_{7 \min} = 115,825 \text{ MM}; B_{7 \max} = 116,175 \text{ (MM)};$$

$$B_8 = K_{13} = 4 \pm 0.06$$

$$B_{8 \min} = 3,94 \text{ MM}; B_{8 \max} = 4,06 \text{ (MM)};$$

$$B_9 = K_9 = 1,4 \pm 0.25$$

$$B_{9 \min} = 1,4 \text{ MM}; B_{9 \max} = 1,65 \text{ (MM)};$$

$$B_{10} = K_{14} = 13,8 \pm 0.09$$

$$B_{10 \min} = 13,71 \text{ MM}; B_{10 \max} = 13,89 \text{ (MM)};$$

$$B_{11} = K_3 = 18 \pm 0.09$$

$$B_{11 \min} = 17,91 \text{ MM}; B_{11 \max} = 13,89 \text{ (MM)};$$

$$B_{12} = K_4 = 79 \pm 0.15$$

$$B_{12 \min} = 78,85 \text{ MM}; B_{12 \max} = 79,15 \text{ (MM)};$$

$$B_{13} = K_5 = 3 \pm 0.06$$

$$B_{13 \min} = 2,94 \text{ MM}; B_{13 \max} = 3,06 \text{ (MM)};$$

$$B_{14} = K_6 = 96 \pm 0.175$$

$$B_{14 \min} = 95,825 \text{ MM}; B_{14 \max} = 96,175 \text{ (MM)};$$

$$B_{15} = K_2 = 2 \pm 0.06$$

$$B_{15 \min} = 1,94 \text{ MM}; B_{15 \max} = 2,06 \text{ (MM)};$$

$$Z_{1 \min} = B_{1 \min} - B_{2 \max}$$

$$B_{1 \min} = Z_{1 \min} + B_{2 \max} = 0,6 + 273,26 = 273,86 \text{ (MM)};$$

$$B_{1 \max} = B_{1 \min} + IT(B_1) = 273,86 + 0,8 = 274,66 \text{ (MM)}.$$

$$B_1 = 274,26^{\pm 0.4}$$

$$Z_{1 \max} = B_{1 \max} - B_{2 \min}$$

$$Z_{1 \max} = 274,66 - 272,74 = 1,92 \text{ (MM)}$$

$$Z_{6 \min} = 3_{1 \min} - B_{1 \max}$$

$$3_{1 \min} = Z_{6 \min} + B_{1 \max} = 0,6 + 274,66 = 275,26 \text{ (MM)};$$

$$3_{1 \max} = 3_{1 \min} + IT(3_1) = 275,26 + 1,3 = 276,56 \text{ (MM)}.$$

$$3_1 = 275,91^{\pm 0.65}$$

$$Z_{6 \max} = 3_{1 \max} - B_{1 \min}$$

$$Z_{6 \max} = 276,56 - 273,86 = 2,7 \text{ (MM)}$$

$$Z_{2 \min} = Z_{1 \min} + B_{12 \min} - 3_{2 \max}$$

$$3_{2 \max} = Z_{1 \min} + B_{12 \min} - Z_{2 \min} = 0,6 + 78,85 - 0,6 = 78,85 \text{ (MM)};$$

$$3_{2 \min} = 3_{2 \max} - IT(3_2) = 78,85 - 0,74 = 78,11 \text{ (MM)}.$$

$$3_2 = 78,48^{\pm 0.37}$$

$$Z_{2 \max} = Z_{1 \max} + B_{12 \max} - 3_{2 \min}$$

$$Z_{2 \max} = 1,92 + 79,15 - 78,11 = 3,7 \text{ (MM)}$$

$$Z_{3 \min} = Z_{1 \min} + B_{14 \min} - 3_{3 \max}$$

$$3_{3 \max} = Z_{1 \min} + B_{14 \min} - Z_{3 \min} = 95,825 - 0,6 + 0,6 = 95,825 \text{ (MM)};$$

$$3_{3 \min} = 3_{3 \max} - IT(3_3) = 95,825 - 0,87 = 94,955 \text{ (MM)}.$$

$$3_3 = 95,39^{\pm 0.435}$$

$$Z_{3 \max} = Z_{1 \max} + B_{14 \max} - 3_{3 \min}$$

$$Z_{3 \max} = 96,175 + 1,92 - 94,955 = 3,14 \text{ (MM)}$$

$$Z_{5 \min} = Z_{6 \min} + B_{3 \min} - 3_{4 \max}$$

$$3_{4 \max} = Z_{6 \min} + B_{3 \min} - Z_{5 \min} = 15,91 + 0,6 - 0,6 = 15,91 \text{ (MM)};$$

$$3_{4 \min} = 3_{4 \max} - IT(3_4) = 15,91 - 0,43 = 15,48 \text{ (MM)}.$$

$$3_4 = 15,695^{\pm 0.215}$$

$$Z_{5 \max} = Z_{6 \max} + B_{3 \max} - 3_{4 \min}$$

$$Z_{5\max}=16,09+2,7-15,48=3,31 \text{ (мм)}$$

$$Z_{4\min} = Z_{6\min} + B_{7\min} - Z_{5\max}$$

$$Z_{5\max} = Z_{6\min} + B_{7\min} - Z_{4\min} = 115,825 - 0,6 + 0,6 = 115,825 \text{ (мм)};$$

$$Z_{5\min} = Z_{5\max} - IT(Z_5) = 115,825 - 0,87 = 114,955 \text{ (мм)}.$$

$$Z_5 = 115,393^{\pm 0,435}$$

$$Z_{4\max} = Z_{6\max} + B_{7\max} - Z_{5\min}$$

$$Z_{4\max} = 116,175 + 2,7 - 114,958 = 3,917 \text{ (мм)}$$

Таблиця 2.13 – Значення технологічних розмірів, розмірів заготовки та їх допуски

Позначення розміру	Граничні значення розмірів		Допуск	Номинальний розмір	Значення розміру у технологічному документі	Значення розміру на кресленні вихідної заготовки
	Мінімальний розмір	Максимальний розмір				
Z <sub>1</sub>	275,23	276,52	1,3	275,91		275,91(±0,65)
Z <sub>2</sub>	78,11	78,85	0,74	78,48		78,48(±0,37)
Z <sub>3</sub>	94,955	95,825	0,87	95,39		95,39(±0,435)
Z <sub>4</sub>	15,48	15,91	0,43	15,695		15,69(±0,21)
Z <sub>5</sub>	114,955	115,825	0,87	115,393		115,39(±0,43)
B <sub>1</sub>	273,86	274,66	0,8	274,26	274,26(±0,4)	
B <sub>2</sub>	272,74	273,26	0,52	273	273(±0,26)	
B <sub>3</sub>	15,91	16,09	0,18	16	16(±0,09)	
B <sub>4</sub>	3,94	3,06	0,12	3	3(±0,06)	
B <sub>5</sub>	92,825	93,175	0,35	93	93(±0,175)	
B <sub>6</sub>	2,94	3,06	0,12	3	3(±0,06)	
B <sub>7</sub>	115,825	116,175	0,35	116	116(±0,175)	
B <sub>8</sub>	3,94	4,06	0,12	4	4(±0,06)	
B <sub>9</sub>	1,4	1,65	0,25	1,4	1,4(+0,25)	
B <sub>10</sub>	13,71	13,89	0,18	13,8	13,8(±0,09)	
B <sub>11</sub>	17,91	18,09	0,18	18	18(±0,09)	
B <sub>12</sub>	78,85	79,15	0,3	79	79(±0,15)	
B <sub>13</sub>	2,94	3,06	0,12	3	3(±0,06)	
B <sub>14</sub>	95,825	96,175	0,35	96	96(±0,175)	
B <sub>15</sub>	1,94	2,06	0,12	2	2(±0,06)	

Таблиця 2.14 – Припуски на механічну обробку

Припуск	Мінімальний, мм	Максимальний, мм
Z <sub>1</sub>	0,6	1,92
Z <sub>2</sub>	0,6	1,7
Z <sub>3</sub>	0,6	3,14



$Z_4$	0,6	3,917
$Z_5$	0,6	3,31
$Z_6$	0,6	2,7

Отже визначено технологічні розміри при механічній обробці, припуски та розміри заготовки, на їх основі можна розробляти технологічний процес та усю документацію пов'язану із ним.

2.9. Визначення припусків і технологічних розмірів на механічну обробку циліндричних поверхонь

Визначення значень  $R$  і  $T$  проводимо відповідно до рекомендацій наведених в (1), враховуючи, що для заготовки дані параметри рівні  $R_Z=150$  мкм,  $T=250$  мкм. При попередньому точінні приймаємо  $R_Z=T=100$  мкм, а на наступному переході відповідно 50 мкм, при чистовому точінні – 30 мкм та при шліфуванні  $R_Z=5$  мкм,  $T=15$  мкм.

Сумарне значення просторових відхилень згідно (1) визначається:

$$\rho = \sqrt{\rho_{\text{жол}}^2 + \rho_{\text{зм}}^2 + \rho_{\text{ц}}^2} \text{ [мкм]} \quad (2.15)$$

де  $\rho_{\text{жол}}$  – просторові відхилення спричинені жолобленням

$\rho_{\text{зм}}$  – відхилення за рахунок зміщення поверхні з якої знімається припуск, під час самої обробки, відносно технологічних баз

Для штампованих заготовок сумарне значення просторових відхилень виражається в вигляді короблення деталі і зміщення одних ділянок поверхні відносно інших. Це зміщення обумовлено неспівпаданням верхньої і нижньої частин штампа, і неспівпаданням полуматриць в горизонтально-кувальних машинах, і зміщенням штампуємої частини заготовки відносно стержня вихідного матеріалу. В даному випадкові:

$$\rho_{жол} = \Delta_k l = 0,001 \cdot 273 = 0,273 \text{ (мм)}$$

$$\rho_{зм} = 1 \text{ мм}$$

$$\rho_{ц} = \sqrt{1,5^2 + 0,25^2} = 1,52 \text{ (мм)}$$

$$\rho = \sqrt{0,273^2 + 1 + 1,52^2} = 1,840 \text{ (мм)}$$

При подальших переходах механічної обробки:

$$\rho_n = k * \rho_{n-1} \text{ [мкм]} \quad (2.16)$$

$$\rho_1 = 0,06 \cdot 1840 = 110 \text{ (мкм)}$$

$$\rho_2 = 0,05 \cdot 110 = 5,5 \text{ (мкм)}$$

$$\rho_3 = 0,04 \cdot 5,5 = 0,22 \text{ (мкм)}$$

На основі отриманих вище даних проводимо розрахунок мінімальних значень міжопераційних припусків, користуючись формулою:

$$2Z_{imin} = 2(R_{zi-1} + T_{i-1} + \rho_{i-1}) \text{ [мкм]} \quad (2.17)$$

Мінімальний припуск під точіння:

Попереднє точіння:

$$2Z_{1min} = 2(150 + 250 + 1840) = 2 \cdot 2240 \text{ (мкм)}$$

попереднє точіння:

$$2Z_{1min} = 2(100 + 100 + 110) = 2 \cdot 310 \text{ (мкм)}$$

остаточне точіння:

$$2Z_{2\min}=2(50+50+5,5)=2\cdot 105,5 \text{ (мкм)}$$

шліфування:

$$2Z_{2\min}=2(30+30+0,22)=2\cdot 60,22 \text{ (мкм)}$$

Розрахункові розміри

При остаточному точінні маємо отримати розмір вказаний на креслені:

$$d=34,992 \text{ (мм)}$$

Наступні розміри отримуємо послідовним додаванням розрахункового мінімального припуску кожного технологічного переходу. Таким чином отримуємо:

Для остаточного точіння:

$$d_1=34,992+2\cdot 0,06022=35,05222 \text{ (мм)}$$

для попереднього точіння

$$d_2=35,05222+2\cdot 0,1055=35,26322 \text{ (мм)}$$

для попереднього точіння:

$$d_3=35,26322+2\cdot 0,31=35,88322 \text{ (мм)}$$

для заготовки

$$d_3=35,88322+2\cdot 2,24=40,36322 \text{ (мм)}$$

Значення допусків кожного переходу приймаються по таблицям

відповідно до квалітету того чи іншого виду обробки:

Для шліфування допуск складає 16 мкм, відповідно для 6 квалітету; для чистового точіння, відповідно для 7 квалітету, допуск складає 25 мкм, для попереднього точіння для 9 і 12 квалітетів допуск відповідно рівний – 62 і 250 мкм та для заготовки, що має 14 квалітет точності, допуск складає 620

Мінімальні граничні розміри отримуються по розрахунковим розмірам заокругленим до точності допуску відповідного переходу.

Максимальні граничні розміри визначаються шляхом додавання до найменших граничних розмірів допусків відповідних переходів.

Тобто:

$$34,992+0,016=35,008 \text{ (мм);}$$

$$35,052+0,025=35,077 \text{ (мм);}$$

$$35,263+0,062=35,325 \text{ (мм);}$$

$$35,88+0,25=36,13 \text{ (мм);}$$

$$40,36+0,62=40,98 \text{ (мм).}$$

Мінімальні граничні значення припусків  $Z_{\min}$  рівні різниці найбільших граничних розмірів виконуваного і попереднього переходів, а максимальне значення  $Z_{\max}$  – відповідно різниця найменших граничних розмірів.

Отже, для шліфування:

$$2Z_{\min 4}=35,052-34,992=0,06 \text{ (мм)}$$

$$2Z_{\max 4}=35,077-35,008=0,069 \text{ (мм)}$$

для остаточного точіння:

$$2Z_{\min 3}=35,263-35,052=0,211 \text{ (мм)}$$

$$2Z_{\max 3}=35,325-35,077=0,248 \text{ (мм)}$$

для попереднього точіння:

$$2Z_{\min 2}=35,88-35,263=0,617 \text{ (мм)}$$

$$2Z_{\max 2}=36,13-35,325=0,805 \text{ (мм)}$$

для попереднього точіння:

$$2Z_{\min 1}=40,36-35,88=4,48 \text{ (мм)}$$

$$2Z_{\max 1}=40,98-36,13=4,85 \text{ (мм)}$$

Всі результати проведених розрахунків записано в таблицю 2.13

На основі даних розрахунку будуємо схему графічного розташування припусків і допусків по обробці отвору  $\varnothing 35$

Загальні припуски  $Z_{0\min}$  і  $Z_{0\max}$  визначаємо сумуючи проміжні припуски:

$$2Z_{0\min}=4480+617+211+60=5368 \text{ (мкм)}$$

$$2Z_{0\max}=4850+805+248+69=5972 \text{ (мкм)}$$

Виконуємо перевірку вірності виконаних розрахунків:

$$2Z_{\max 4}-2Z_{\min 4}=4480-4850=370 \text{ (мкм)}$$

$$\delta_1-\delta_2=620-250=370 \text{ (мкм)}$$

$$2Z_{\max 3}-2Z_{\min 3}=805-617=188 \text{ (мкм)}$$

$$\delta_2-\delta_3=250-62=188 \text{ (мкм)}$$

$$2Z_{\max 2}-2Z_{\min 2}=248-211=37 \text{ (мкм)}$$

$$\delta_3-\delta_4=62-25=37 \text{ (мкм)}$$

$$2Z_{\max 1}-2Z_{\min 1}=69-60=9 \text{ (мкм)}$$

$$\delta_4-\delta_5=25-16=9 \text{ (мкм)}$$

Отже всі проведені розрахунки є правильними і не потребують уточнення.

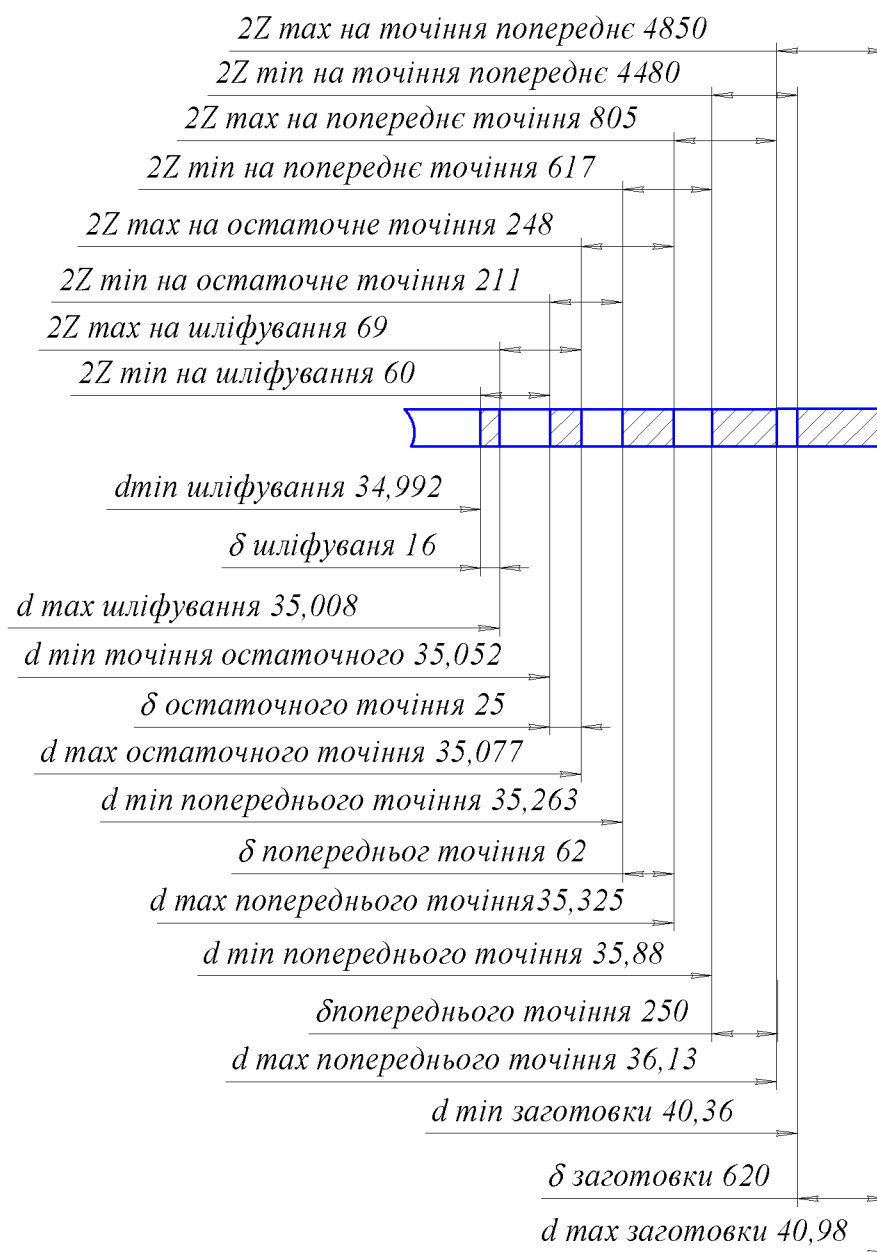


Рисунок 4.7 - Схема графічного розташування припусків і допусків на обробку діаметрального розміру  $\varnothing 35$  валу

Визначення оптимальних припусків на обробку тісно пов'язане із встановленням проміжних та початкових розмірів заготовки. Ці розміри необхідні для конструювання кокіля, спеціального різального та вимірювального інструменту, а також для настроювання металорізальних верстатів та іншого технологічного обладнання. На основі визначених припусків можна обґрунтовано визначити масу початкових заготовок,

режими різання, а також норми часу на виконання операцій механічної обробки.

Таблиця 2.13 - Розрахунок припусків і граничних розмірів по технологічним переходам на обробку валу

Технологічні переходи обробки поверхні $\varnothing 35$	Елементи припуску, мкм			Розрахунковий припуск $2Z_{\min}$	Розрахунковий розмір $d_p$	До-пуск мкм $\delta$	Граничний розмір		Граничні значення припусків	
	$R_z$	T	$\rho$				$d_{\min}$	$d_{\max}$	$2Z_{\min}$	$2Z_{\max}$
Заготовка	150	250	1840		40,363	620	40,36	40,98		
Точіння попереднє	100	100	110	2·2240	35,883	250	35,88	36,13	4480	4850
Точіння попереднє	50	50	5,5	2·310	35,263	62	35,263	35,325	617	805
Точіння остаточне	30	30	0,22	2·105,5	35,052	25	35,052	35,077	211	248
Точіння тонке	5	15	-	2·60,22	34,99	16	34,992	35,008	60	69
Ітого									5368	5972

В машинобудування використовують дослідно - статичний та розрахунково – аналітичний методи встановлення припусків на обробку. В попередньому розділі використано розрахунково-аналітичний метод, що базується на урахуванні конкретних умов виконання технологічного процесу обробки.

Згідно з дослідно- статичним методом загальні та проміжні припуски визначаються за таблицями, в яких узагальнено і систематизовано виробничі дані передових машинобудівних підприємств. Недоліком цього методу є те, що припуски, як правило, визначаються без урахування конкретних умов виконання технологічних операцій та переходів. Дослідно- статичні припуски в багатьох випадках завищені, оскільки вони орієнтовані на такі умови обробки, коли для уникнення браку припуск повинен бути максимальним. Дослідно- статичний метод простий, однак змушує технолога приймати рішення догматично, не аналізуючи умов виконання операцій та

не шукаючи шляхів економії металу.

Використовуючи даний метод визначимо припуски на циліндричні поверхні кришки:

Таблиця 2.14- Припуски на циліндричні поверхні

Розмір деталі	Стадія обробки	Припуск на перехід	Отримуваний розмір
Ø20	Заготовка		21,5
	Попереднє точіння	0,8	20,7
	Попереднє точіння	0,4	20,3
	Остаточне точіння	0,2	20,1
	Тонке точіння	0,1	20
Ø45	Заготовка		46,5
	Остаточне точіння	1,5	45
Ø34	Заготовка		35,5
	Остаточне розточування	1,5	34

## 2.10 Визначення режимів різання

Режими обробки деталі – найважливіший фактор протікання технологічного процесу. Режим різання металу містить такі основні елементи:

- глибину різання  $t$ , мм;
- подачу  $s$ , мм/об;
- швидкість різання  $v$ , м/хв ( частота обертання шпинделя верстата  $n$ , об/хв, або число подвійних ходів  $n$ , подв. х/хв).

Елементи режимів різання повинні підібратися так, щоб досягти бажаної продуктивності праці при найменшій собівартості операції. Ця вимога досягається використанням інструмента раціональної конструкції (правильно підібраний матеріал ріжучої частини, найвигідніша геометрія,



достатня міцність і жорсткість), а також якщо верстат не обмежує його різальних властивостей. Таким чином. Режими різання встановлюються, виходячи з властивостей оброблюваної деталі, характеристики різального інструмента і верстата. Спочатку встановлюють глибину різання, потім подачу і в останню чергу – швидкість різання.

Розрахунок режимів різання проводимо за рекомендацією [8].

Для операції 005.

1. Розраховуємо довжину робочого ходу супорта:

$$L = L_{\text{рез}} + y + L_{\text{доп}}, [\text{мм}] \quad (2.18)$$

$L_{\text{доп}}$  - додаткова довжина наладки,

$y$  - підвід, врізання, перебіг інструменту.

За додатком [8]:  $y=2$  мм.

Відповідно отримаємо:

$$L = 77 + 2 + 3 = 82(\text{мм})$$

2. Визначення подач супортів на оберт шпинделя мм/об:

Визначені подач супортів за нормативами [8]: для приймаємо 0,57 мм/об.

3. Визначення стійкості інструментів:  $T_M = 150$  хв.

4. Розрахунок швидкостей різання в мм/хв і числа обертів шпинделя верстатів в хв.

а) визначення швидкостей різання:  $V_{\text{різ}} = 61.2$  м/хв.

Уточнюємо швидкість різання за допомогою коефіцієнтів, що враховують геометрію інструмента, вид оброблюваного матеріалу та інші параметри:

$$V_{\text{різ}} = 61.2 \cdot 1,25 \cdot 0,95 \cdot 1,2 = 87(\text{м/хв})$$

б) розраховуємо число обертів шпинделя за формулою:

$$n = 1000V/\pi d, [\text{об/хв}] \quad (2.18)$$

$$n = 87 \cdot 1000 / 3.14 \cdot 34 = 815 \text{ (об/хв);}$$

Оскільки даний верстат має безступінчасту коробку, то непотрібно приймати стандартне значення, верстата забезпечить розраховану величину. Аналогічно розраховуємо режими різання для всіх інших операцій, дані отримані в результаті розрахунків заносимо в таблицю 2.15.

Таблиця 2.15- Розрахунок режимів різання

Операції	№ перех оду	Подача, мм/об	Швидкість Різання, м/хв	Частота обертання
1	2	3	4	5
005	2	0,6	41,5	400
	3	0,08	24,4	137
010	2	0,7	81,76	766
	3	0,7	81,76	744
	4	0,2	75	1194
	5	0,2	120	1091
	6	0,2	60	955
	7	0,2	112	1019
	8	0,1	52	828
	9	0,1	94	855
015	2	1,5	76,3	675
020	2	1,4	25	
025	2	0,1	22	157
030	2	0,1	22	157

Отже за допомогою довідників визначено режими різання для всіх операцій. Для їх точного розрахунку необхідно користуватися формулами і вести довгі і трудомісткі розрахунки, для того щоб уникнути цього режими вибрано за довідником, а щоб вони були оптимальні проведемо оптимізацію режимів різання, результати якої наведено в додаткові.

#### 4.8 Визначення технічних норм часу

Нормування в машинобудуванні – це встановлення технічно обґрунтованих норм часу. Нормування технологічних процесів здійснюють для кожної операції. Технічною нормою часу називають час, необхідний для виконання технологічної операції в певних організаційно-технічних умовах конкретного виробництва.

Розрізняють три методи нормування: технічного розрахунку за нормативами; порівняння і розрахунку за підвищеними типовими нормативами: встановлення норм на основі вивчення затрат робочого часу. При першому методі тривалість операції встановлюють розрахунком за мікроелементами на основі аналізу послідовності і змісту дій робітника і верстата. При другому методі норму часу визначають наближено, за підвищеними типовими нормативами. При третьому методі норму часу встановлюють на основі хронометражу. Цей метод має особливе значення для вивчення і узагальнення передових прийомів праці. А також для розробки нормативів, необхідних для встановлення технічно обґрунтованих норм розрахунком.

Скористаємося першим методом розрахунку, при цьому врахуємо, що визначення норм часу для верстатів з ЧПК дещо відрізняється від загально прийнято для універсальних і спеціальних верстатів. Приведемо приклад розрахунку на операції 010.

Норма штучного часу згідно [23] визначається за формулою:

$$T_{\text{ш}} = (T_{\text{ц.а.}} + T_{\text{в}}) \cdot \left(1 + \frac{a_{\text{тех}} + a_{\text{орг}} + a_{\text{від}}}{100}\right) [\text{хв}] \quad (2.19)$$

де  $T_{\text{в}}$  – допоміжний час, що складається із:

$$T_{\text{в}} = T_{\text{вуст}} + T_{\text{воп}} + T_{\text{ввим}} [\text{хв}] \quad (2.20)$$

$T_{\text{вуст}}$  – допоміжний час на установку і зняття деталі, згідно довідника для даної операції складає 0,55 в центрах хв;

$T_{\text{воп}}$  – допоміжний час пов'язаний із операцією, включає в себе час на:

- встановлення заданого взаємного розташування деталі і інструмента по координатам – 0,32 хв;
- перевірку приходу інструмента в задану точку після обробки – 0,15 хв;
- встановлення і зняття щитка від забризгування емульсією – 0,03 хв.

$$T_{\text{воп}} = 0,15 + 0,32 + 0,03 = 0,5 \text{ (хв);}$$

$T_{\text{ввим}}$  – допоміжний час на контрольні вимірювання, що складається в даному випадкові із двох замірів штангенциркулем, одного заміру скобою після виконання операцій на першому установі та двох замірювань штангенциркулем після виконання операцій другого установу. В сумі час затрачений на вимірювальні операції складає:

$$T_{\text{ввим}} = (0,11 \cdot 2 + 0,2) + 0,11 \cdot 2 = 0,64 \text{ (хв)}$$

Час на організаційне і технічне обслуговування робочого місця і особисті потреби приводяться в відсотках від оперативного часу і складають:

$$a_{\text{тех}} + a_{\text{орг}} + a_{\text{від}} = 9\% \quad (2.21)$$

$T_{ц.а.}$  – час на цикл роботи за програмою. Для того щоб визначити дану складову необхідно зобразити шлях за яким рухається інструмент. За допомогою даної схеми складається таблиця переміщень інструменту, в яку заносяться всі відстані які проходить інструмент за цикл своєї роботи і хвилинні подачі при цих переміщеннях, при цьому враховується що підводиться і відводиться інструмент на прискореній подачі.

Відповідно час на автоматичний цикл складає:

$$T_{ца}=0,51+0,2=0,71 \text{ (хв)}$$

Відповідно отримаємо:

$$T_{ш}=(0,71+0,2) \cdot (1+9/100)=0,965 \text{ (хв)}$$

Аналогічно визначається штучно-калькуляційний час для усіх інших операцій, дані заносимо до таблиці 4.9.

Таблиця 2.16– Штучно-калькуляційний час

№ операцій	Основний час, хв	Штучно-калькуляційний час	
		$T_{шт-к}$ , хв	
005	0,37	0,5217	
010	1,61	2,2	5,63
015	1,885	2,43	
020	1,71	2,3177	
025	0,036	0,056	0,526
030	0,3	0,47	

## 2.11 Проектування ділянки механічної обробки деталі

При серійному типі виробництва можна використати приведену програму

для подібних виробів, що дозволить розробляти технологічну документацію відразу на декілька виробів, а точніше розробляється технологічний процес на одну деталь представника, а всі інші приводяться до неї за допомогою коефіцієнта приведення, що визначається за такою формулою:

$$K_{\text{пр}} = K_1 \cdot K_2 \cdot K_3 \quad (2.22)$$

де  $K_1$  – коефіцієнт приведення по масі;

$K_2$  – коефіцієнт приведення по серійності;

$K_3$  – коефіцієнт приведення по складності.

$$K_1 = 3 \sqrt{\left(\frac{m_i}{m_{\text{пр}}}\right)^2} \quad (2.23)$$

$m_i$  - маса  $i$ -ї деталі,  $m_{\text{пр}}$ - маса представника

Для деталі вал 03-355 отримаємо:

$$K_{11} = 3 \sqrt{\frac{1.8}{2.5}} = 0.8$$

Коефіцієнт приведення по серійності:

$$K_2 = \left(\frac{N_{\text{пр}}}{N_i}\right)^\alpha \quad (2.24)$$

де  $N$ -програма випуску представника, програма випуску  $i$ -ї деталі,  $N$ -показник степені, що складає для середнього машинобудування 0,15, а для важкого машинобудування 0,2.

В даному випадкові отримаємо:

$$K_{21} = \left(\frac{4500}{4000}\right)^{0.15} = 1.017$$

Коефіцієнт приведення по складності:

$$K_3 = \left(\frac{\bar{K}_{Ti}}{\bar{K}_{T.пр.}}\right)^{\alpha_1} \cdot \left(\frac{\bar{R}_{ai}}{\bar{R}_{a.пр.}}\right)^{\alpha_2} \quad (2.25)$$

$K_{Ti}$ ,  $K_{T.пр.}$  - середнє значення точності деталі і представника;

$R_{ai}$ ,  $R_{a.пр.}$  - середнє значення шорсткості деталі і представника.

Для даної деталі коефіцієнт визначається:

$$K_{31} = \left(\frac{14,2}{13,34}\right)^{\alpha_1} \cdot \left(\frac{11}{9,87}\right)^{\alpha_2} = \frac{0,74}{0,79} \cdot \frac{0,95}{0,95} = 0,94$$

Таблиця 2.17 – Приведена програма виробництва

Найменування деталі	Маса, кг	Програм випуску, шт	Коефіцієнт приведення по			Коефіцієнт приведення	К·N
			масі	точності	серійності		
Вал	2,5	4500	1	1	1	1	4500
Вал 154	1,8	4000	0,8	0,94	1,017	0,768	3074
Вал 48-А	2,2	3500	0,918	0,891	1,038	0,849	2974
Вал 78БЖ-01	2,3	4100	0,945	0,98	1,014	0,94	3854
Вал Н12-45Ж	2,4	4250	0,97	0,975	1,008	0,957	4067
Всього						18469	

Коефіцієнт приведення для валу 154 складає:

$$K_1=0,8 \cdot 1,017 \cdot 0,94=0,7686$$

Отримані результати занесено до таблиці

Отже при подальших розрахунках кількості обладнання, працівників буде використовуватися приведена програма, тобто проектується ділянка, на якій вироблятиметься дві подібні деталі.

Кількість верстатів визначається за формулою:

$$C_p = T_{\text{пр}} / (\Phi_d \cdot m) \quad (2.26)$$

де  $T_{\text{пр}}$  – сумарна трудомісткість деталей, год;

$\Phi_d$  – ефективний річний фонд часу роботи верстата при роботі в одну зміну, год;

$m$  – кількість робочих змін

Враховуючи проведене раніше нормування часу розраховуємо сумарну трудомісткість деталей:

Відповідно для кожної операції отримаємо:

Операції 005:

$$C_p = 0,5217 \cdot 18469 / 60 \cdot 2040 = 0,078$$

Операція 010-015:

$$C_p = 5,63 \cdot 18469 / 60 \cdot 2040 = 0,849$$

Операція 020:

$$C_p = 2,3177 \cdot 18469 / 60 \cdot 2040 = 0,349$$

Операція 025-030:

$$C_p = 0,526 \cdot 18469 / 60 \cdot 2040 = 0,079$$



Коефіцієнт завантаження для верстатів 16К20Ф3 складатиме:

$$\eta_3=0,349/1=0,349$$

Отже для виконання всього технологічного циклу із виготовлення партії деталей достатньо прийняти по одному верстатові кожної моделі.

Таблиця 2.18 – Кількість обладнання та коефіцієнти завантаження і використання верстатів за основним часом

№ операції	Назва операцій	Розрахункова кількість верстатів	Прийнята кількість верстатів $C_{пр.шт.}$	$\eta_{з.і}$	$\eta_{з.сер.}$	$\eta_{о.і}$	$\eta_{о.сер.}$
005	Фрезерно-центрувальна	0,0787	1	0,0787	0,339	0,709	0,698
010-015	Токарна з ЧПК	0,8495	1	0,8495		0,709	
020	Фрезерна з ЧПК	0,3497	1	0,3497		0,738	
025-030	Токарна з ЧПК	0,0794	1	0,0794		0,639	

Коефіцієнт використання верстатів за основним часом для верстатів 16К20Ф3 складатиме:

$$\eta_3=1,71/2,3177=0,7378$$

Аналогічно визначаються коефіцієнти завантаження інших верстатів.

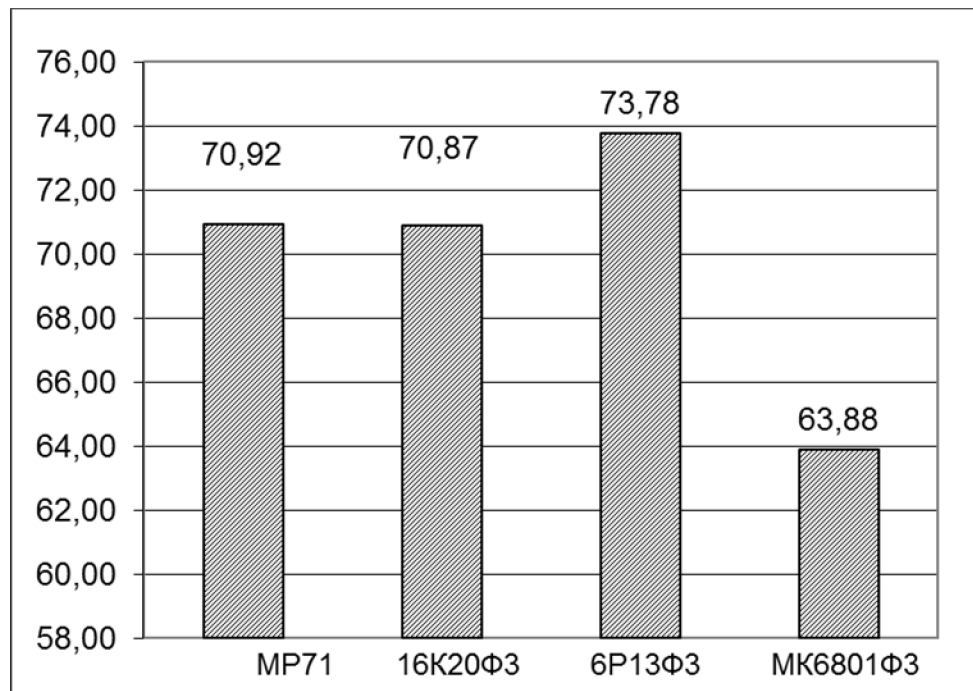


Рисунок 2.11 – Графік завантаження обладнання

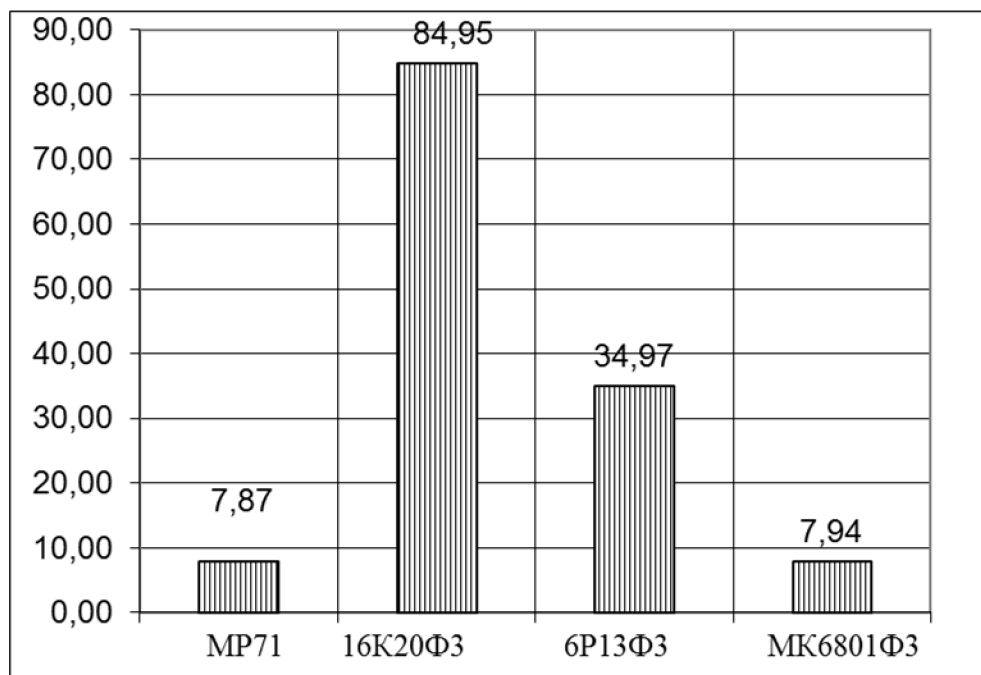


Рисунок 2.12– Графік використання обладнання за основним часом

Кількість робітників-верстатників дільниці механічного цеху може бути підрахована в залежності від прийнятої кількості верстатів за формулою:

$$P = C_{\text{пр}} \cdot \Phi_{\text{д}} \cdot K_3 / \Phi_{\text{в}} \cdot K_{\text{м}} \quad (5.6)$$

де  $C_{\text{пр}}$  – прийнята кількість верстатів, шт;

$\Phi_{\text{в}}$  – ефективний річний фонд роботи верстатника, год;

$K_{\text{м}}$  – коефіцієнт багатOVERстатного обслуговування.

Наприклад для роботи на токарно-револьверному з ЧПК необхідно:

$$P=1 \cdot 2040 \cdot 0,349 / 1 \cdot 1840 = 0,387$$

При розрахунку ефективний фонд роботи верстатника прийнятий рівним 1840 год (тривалість робочої неділі – 41 год, основної відпустки – 18 днів).

Отже для виконання заданого обсягу роботи необхідний 1 робітник.

Аналогічно поводимо розрахунки для інших операцій, а результати записуємо до таблиці.

Оскільки вважаємо, що верстати мають довантажуватися іншими деталями, то приймаємо по одному робітнику на кожну операцію.

Згідно таблиці 5.3 сума всіх основних робочих - 7 чол.

Кількість допоміжних робітників складає 20-25% від кількості верстатників, відповідно:

$$P_{\text{др}} = (0,2 \dots 0,25) \cdot 4 = 0,8 \dots 1,0$$

Приймаємо 1 допоміжного робітника.

При дрібносерійному виробництві кількість ІТР складає 24-18% від кількості верстатів, тобто:

$$P_{\text{ІТР}} = (0,18 \dots 0,24) \cdot 4 = 0,72 \dots 0,96$$

Приймаємо 1 чол ІТР.

Кількість службовців при серійному виробництві, та при чисельності основних робітників менше 75 чол., складає 2,2% від кількості основних робітників верстатників, отримаємо:

$$P_{СКП}=0,022 \cdot 4=0,088$$

Приймаємо 1 чол.

Таблиця 2.19 – Кількість робітників –верстатників

Назва операції	Прийнята кількість верстатів, $C_{пр}$	$\Phi_{д, год}$	$K_3$	$K_M$	$P, чол$	$P_{пр}, чол$
Фрезерно-центрувальна	1	1840	0,078	1	0,087	1
Токарна з ЧПК	1		0,349	1	0,387	1
Шліцефрезерна	1		0,849	1	0,941	1
Токарна з ЧПК	1		0,079	1	0,087	1

Кількість молодшого обслуговуючого персоналу складає 2% від кількості усіх працівників, тобто:

$$P_{МОП}=0,02 \cdot (4+1+1+1)=0,14$$

Приймаємо 1 чол молодшого обслуговуючого персоналу.

Отримані дані занесемо до таблиці

Таблиця 2.20 – Відомість складу працюючих дільниці

Категорії працюючих	Спосіб визначення	Розрахункова кількість	Прийнята кількість
Основні робітники-верстатники			4
Допоміжні робітники	20...25%	0,8...1,0	1
ІТР	15...21%	0,72...0,96	1
СКП	2,2%	0,088	1

МОП	2%	0,14	1
-----	----	------	---

Отже на дільниці механічної обробки для виготовлення деталі по запропонованому маршруту механічної обробки, має бути розміщено 4 металорізальних верстати, які обслуговуються 4 основними робітниками. Крім того для забезпечення нормальної роботи дільниці необхідно ще 4 робітника. Як показали розрахунки використання даного технологічного процесу забезпечить отримання деталі з відповідними кресленню показниками точності.

## 2.12 Висновки

Розроблено маршрут механічної обробки для деталі вал, в якому використовується обладнання із ЧПК. Визначено тип виробництва, який є дрібносерійним. Відповідно до матеріалу, маси та типу виробництва обрано два способи отримання заготовки – прокат і штамповка на КГШП, за техніко-економічним порівнянням обрано кращим способом отримання заготовки штампування на КГШП.

Враховуючи форму заготовки, попередньо обрані технологічні бази та кількість ступенів механічної обробки побудовано маршрут механічної обробки. Для визначення технологічних розмірів, припусків і уточнення розмірів заготовки виконано розмірний аналіз. Розраховано режими різання і норми часу на всі переходи та операції відповідно.

Крім того виконано попереднє проектування дільниці механічної обробки. Визначено приведену програму та згідно неї кількість верстатів – 4. На дільниці має працювати 8 робітників. Верстати здебільшого завантажені, середній коефіцієнт завантаження верстатів складає 34 %, При цьому фрезерно-центрувальний. Фрезерний з ЧПУ та токарний підвищеної точності можуть використовуватися для виготовлення інших деталей.

### 3. ЕКОНОМІЧНА ЧАСТИНА

#### 3.1 Оцінювання комерційного потенціалу розробки

Метою проведення технологічного аудиту є оцінювання комерційного потенціалу розробки, створеної в результаті науково-технічної діяльності. В результаті оцінювання робиться висновок щодо напрямів (особливостей) організації подальшого її впровадження з врахуванням встановленого рейтингу.

Для проведення технологічного аудиту залучено 3-х незалежних експертів які оцінили комерційний потенціал розробки за 12-ю критеріями, наведеними в таблиці 3.1.

Таблиця 3.1 – Рекомендовані критерії оцінювання комерційного потенціалу розробки та їх можлива бальна оцінка

Критерії оцінювання та бали (за 5-ти бальною шкалою)					
Кри-терій	0	1	2	3	4
1	2	3	4	5	6
Технічна здійсненність концепції:					
1	Достовірність концепції не підтверджена	Концепція підтверджена експертними висновками	Концепція підтверджена розрахунками	Концепція перевірена на практиці	Перевірено роботоздатність продукту в реальних умовах
Ринкові переваги (недоліки):					
2	Багато аналогів на малому ринку	Мало аналогів на малому ринку	Кілька аналогів на великому ринку	Один аналог на великому ринку	Продукт не має аналогів на великому ринку
3	Ціна продукту значно вища за ціни аналогів	Ціна продукту дещо вища за ціни аналогів	Ціна продукту приблизно дорівнює цінам аналогів	Ціна продукту дещо нижче за ціни аналогів	Ціна продукту значно нижче за ціни аналогів
4	Технічні та споживчі властивості продукту значно гірші, ніж в аналогів	Технічні та споживчі властивості продукту трохи гірші, ніж в аналогів	Технічні та споживчі властивості продукту на рівні аналогів	Технічні та споживчі властивості продукту трохи кращі, ніж в аналогів	Технічні та споживчі властивості продукту значно кращі, ніж в аналогів

Продовження таблиці 3.1

1	2	3	4	5	6
5	Експлуатаційні витрати значно вищі, ніж в аналогів	Експлуатаційні витрати дещо вищі, ніж в аналогів	Експлуатаційні витрати на рівні витрат аналогів	Експлуатаційні витрати трохи нижчі, ніж в аналогів	Експлуатаційні витрати значно нижчі, ніж в аналогів
Ринкові перспективи					
6	Ринок малий і не має позитивної динаміки	Ринок малий, але має позитивну динаміку	Середній ринок з позитивною динамікою	Великий стабільний ринок	Великий ринок з позитивною динамікою
7	Активна конкуренція великих компаній на ринку	Активна конкуренція	Помірна конкуренція	Незначна конкуренція	Конкурентів немає
Практична здійсненність					
8	Відсутні фахівці як з технічної, так і з комерційної реалізації ідеї	Необхідно наймати фахівців або витратити значні кошти та час на навчання наявних фахівців	Необхідне незначне навчання фахівців та збільшення їх штату	Необхідне незначне навчання фахівців	Є фахівці з питань як з технічної, так і з комерційної реалізації ідеї
9	Потрібні значні фінансові ресурси, які відсутні.	Потрібні незначні фінансові ресурси.	Потрібні значні фінансові ресурси.	Потрібні незначні фінансові ресурси.	Не потребує додаткового фінансування
10	Необхідна розробка нових матеріалів	Потрібні матеріали, що використовуються у військово-промислово-му комплексі	Потрібні дорогі матеріали	Потрібні досяжні та дешеві матеріали	Всі мат-еріали для реалізації ідеї відомі та давно використовуються у виробництві
11	Термін реалізації ідеї більший за 10 років	Термін реалізації ідеї більший за 5 років. Термін окупності інвестицій більше 10-ти років	Термін реалізації ідеї від 3-х до 5-ти років. Термін окупності інвестицій більше 5-ти років	Термін реалізації ідеї менше 3-х років. Термін окупності інвестицій від 3-х до 5-ти років	Термін реалізації ідеї менше 3-х років. Термін окупності інвестицій менше 3-х років

Продовження таблиці 3.1

1	2	3	4	5	6
12	Необхідна розробка регламентних документів та отримання великої кількості дозвільних документів на виробництво та реалізацію продукту	Необхідно отримання великої кількості дозвільних документів на виробництво та реалізацію продукту, що вимагає значних коштів та часу	Процедура отримання дозвільних документів для виробництва та реалізації продукту вимагає незначних коштів та часу	Необхідно тільки повідомлення відповідним органам про виробництво та реалізацію продукту	Відсутні будь-які регламентні обмеження на виробництво та реалізацію продукту

Результати оцінювання комерційного потенціалу розробки зведено в таблицю за зразком таблиці 3.2.

Таблиця 3.2 – Результати оцінювання комерційного потенціалу розробки

Критерії	Прізвище, ініціали, посада експерта		
	Сухоруков С.І.	Савуляк В. В.	Сердюк О.В
	Бали, виставлені експертами:		
1	1	2	2
2	1	2	1
3	3	3	3
4	2	3	3
5	4	4	3
6	1	2	2
7	2	3	3
8	2	4	3
9	1	2	2
10	2	3	3
11	3	3	4
12	3	4	4
Сума балів	СБ <sub>1</sub> =25	СБ <sub>2</sub> =35	СБ <sub>3</sub> =33
Середньоарифметична сума балів $\overline{СБ}$	$\overline{СБ} = \frac{\sum_{i=1}^3 СБ_i}{3} = \frac{25 + 35 + 33}{3} = 31$		

Дана розробка має рівень комерційного потенціалу вище середнього.



### 3.2 Прогноз попиту на інноваційне рішення

Деталь «Вал», для якої розробляється маршрут механічної обробки в магістерській кваліфікаційній роботі, може використовуватися для ремонту вантажних автомобілів. При цьому на дільниці планується виготовляти декілька типорозмірів деталей, для цього підбирається обладнання і пристосування, які можуть переналагоджуватися на інші типорозміри. Це дозволить випускати продукцію, в якій будуть зацікавлені цілий ряд вітчизняних вантажних автомобілів і відповідно величина попиту на ринкові України складатиме близько 60 000.

З метою прогнозування попиту визначимо ємність ринку обладнання. Для цього опрацювавши статистичні дані, приймемо:

- Середня кількість споживачів, які використовують товари аналогічні розроблюваному 60 000 шт ;
- Середній відсоток споживачів, які зацікавлені придбанням інноваційного продукту  $P_n=80\%$ ;
- Середній термін заміни інноваційного продукту - 4 роки;
- Середній відсоток споживачів, що захочуть придбати розроблений товар повторно  $C_n=80\%$ .

Посилаючись на прогнозовані дані, розраховуємо наступні показники:

Потребу в інноваційному продукті:

$$P_i = P \cdot P_n / 100 [\text{шт}] \quad (3.1)$$

$$P_i = 60000 \cdot 80 / 100 = 48000 \text{ (шт.)}$$

Оптимістичний прогноз попиту на інноваційне рішення:

$$ОП = \Pi_i / T [\text{шт}] \quad (3.2)$$

$$ОП = 48000 / 4 = 12000 \text{ (шт.)}$$

Песимістичний прогноз попиту на інноваційне рішення:

$$ПП = ОП \cdot C_{п} / 100 [\text{шт}] \quad (3.3)$$

$$ПП = 12000 \cdot 0,8 = 9600 \text{ (шт.)}$$

Реалістичний прогноз попиту на інноваційне рішення:

$$РП = (ОП + ПП) / 2 [\text{шт}] \quad (3.4)$$

$$РП = (12000 + 9600) / 2 = 10800 \text{ (шт.)}$$

Попит на продукцію буде постійний, оскільки вантажні перевезення широко розповсюджені в нашій країні. Крім того можна налагодити випуск подібних виробів ( а обладнання дозволить це зробити) до іноземних вантажних автомобілів, що значно підвищить попит продукцію, що може виготовлятися.

### 3.3 Вибір каналів збуту та після продажного обслуговування

Канали розподілу (збуту) – це сукупність фірм чи окремих осіб, які виконують посередницькі функції щодо фізичного переміщення товарів і

перебирають на себе або сприяють передаванню права власності на товари на шляху їх просування від виробника до споживача. Зважаючи, що інноваційний продукт є товаром кінцевого споживання і його цільовим сегментом є машинобудівні підприємства та невеликі майстерні, оптимальними каналами збуту можуть бути:

- канал нульового рівня, що передбачає реалізацію пристосування, безпосередньо від виробника;

Канал першого рівня може використовуватись у випадках встановлення постійного представництва виробника у регіонах (оптового дилера).

При цьому виробник передбачає надання послуг з гарантійного сервісного обслуговування протягом 6 місяців та навчання персоналу роботі із пристосування, і надання рекомендованих режимів роботи.

### 3.4 Виявлення основних конкурентів

На сьогоднішній день в Україні використовуються шатуни (а відповідно кришки шатуна), в яких отвір не має поверхнево зміцненого шару. Тобто ця поверхня значно зношується і деталь або замінюють або ставлять втулки, що дає можливість ще деякий час експлуатувати машину. Але це вимагає додаткових затрат часу та коштів.

Нова розробка є кращою ніж аналог.

### 3.5 Обрання методу ціноутворення

Метод ціноутворення – це конкретний спосіб, прийом, сукупність послідовних дій щодо визначення та обґрунтування ціни конкретного товару.

Розділення методів на групи є досить умовним і залежить від того, який чинник домінує при визначенні ціни і з якого починається її обґрунтування.

При обранні методу ціноутворення на пристрій для суміщеного обкочування слід урахувати конкуренцію на ринку. Конкуренцію даному пристрою можуть скласти лише закордонні аналоги.

Зважаючи на кращі параметри деталі ніж у аналога, пропонується продавати деталь за ціною дещо вищою, але зважаючи на кращі технічні параметри вона залишиться конкурентоспроможною на ринку нашої країни та дозволить подальше завоювання лідерства за показниками обсягів продажу.

### 3.6 Оцінка рівня якості інноваційного рішення

Таблиця 3.5 – Основні техніко-економічні показники нової розробки

Показник	Абсолютне значення параметра			Коефіцієнт вагомості параметра
	краще	середнє	гірше	
Твердість поверхневого шару отвору	9			20%
Циклічна довговічність	9			30%
Витрати часу на обробку			6	20%
Шорсткість поверхонь контакту		8		30%

Оцінка рівня інноваційного рішення проводиться з метою порівняльного аналізу і визначення найбільш ефективного в технічному відношенні варіанта інженерного рішення. Визначимо абсолютний та відносний рівні якості розроблюваного пристрою.

Визначимо абсолютний рівень інноваційного рішення за формулою:

$$K_{ap} = \sum_{i=1}^n P_{Hi} \cdot \alpha_i$$

Де  $P_{Hi}$  - числове значення і-го параметру інноваційного рішення;

$n$  - кількість параметрів інноваційного рішення, що прийняті для оцінки;

$\alpha_i$  - коефіцієнт вагомості відповідного параметра.

$$K_{ap} = 9 \cdot 0,2 + 9 \cdot 0,3 + 6 \cdot 0,2 + 8 \cdot 0,3 = 8,1$$

Далі визначаємо рівень якості окремих параметрів інноваційного рішення, порівнюючи його показники з абсолютними показниками якості найліпших вітчизняних та зарубіжних аналогів, основних товарів конкурентів.

Визначимо відносні одиничні показники якості по кожному параметру та занесемо їх у таблицю 4.6, для цього скористаємося формулами:

$$q_i = \frac{P_{Hi}}{P_{Bi}}$$

або

$$q_i = \frac{P_{Bi}}{P_{Hi}}$$

$P_{Hi}, P_{Bi}$  - - числові значення і-го параметра відповідно нового і базового виробів.

Таблиця 3.6 – Основні технічні параметри інноваційного рішення та товару -конкурента

Показник	Варіанти		Відносний показник якості	Коефіцієнт вагомості параметра
	Базовий	новий		
Твердість поверхневого шару отвору	220НВ	260НВ	1,18	20%
Циклічна довговічність	6 млн. циклів	7 млн. циклів	1,17	30%
Витрати часу на обробку	5,1 год	5,28год	1,04	20%
Шорсткість поверхонь контакту	1,6 мкм	0,8 км	2,00	30%

$$q_1=260/220=1.18$$

$$q_2=7/6=1.17$$

$$q_3=5,28/5,1=1.04$$

$$q_4=1,6/0,8=2,0$$

Відносний рівень якості інноваційного рішення визначаємо за формулою:

$$K_{ЯВ} = \sum_{i=1}^n q_i \cdot \alpha_i$$

$$K_{ЯВ}=1,18 \cdot 0,2+1,17 \cdot 0,3+1,04 \cdot 0,2+2,0 \cdot 0,3=1.395$$

Відносний коефіцієнт показника якості інноваційного рішення більший одиниці, це означає, що інноваційний продукт якісніший базового товару конкурента на 39,5%.

### 3.7 Оцінка конкурентоспроможності інноваційного рішення

Конкурентоспроможність продукції – це комплексна багатоаспектна характеристика товару, що визначає його переваги на ринку порівняно з аналогічними товарами-конкурентами як за ступенем відповідності конкретній потребі, так і за витратами на їх задоволення.

Однією із умов вибору товару споживачем є збіг основних ринкових характеристик виробу з умовними характеристиками конкретної потреби покупця. Такими характеристиками для нашого пристосування є технічні параметри, а також ціна придбання та експлуатаційні витрати при використанні пристрою.

Загальний показник конкурентоспроможності інноваційного рішення з урахуванням вищевказаних груп показників можна визначити за формулою:

$$K = I_{\text{тп}} / I_{\text{еп}}$$

Де  $I_{\text{тп}}$  - індекс технічних параметрів (відносний рівень якості інноваційного рішення);

$I_{\text{еп}}$  - індекс економічних параметрів.

Індекс економічних параметрів визначається за формулою:

$$I_{\text{еп}} = \frac{\sum_{i=1}^n P_{\text{неі}}}{\sum_{i=1}^n P_{\text{беі}}}$$

$P_{\text{беі}}$   $P_{\text{неі}}$  - економічні параметри відповідно базового та нового товарів.

$$I_{\text{еп}} = 2400 / 4000 = 0,6$$

$$K = 1,395 / 0,6 = 2,32$$

Оскільки показник конкурентоспроможності більший 1, то наш інноваційний продукт є більш конкурентоспроможним, ніж товар конкурент.



### 3.8 Прогнозування витрат на виконання роботи

Розрахунок основної заробітної плати розробників.

Основна заробітна плата розробників, яка розраховується за формулою :

$$Z_o = \frac{M}{T_p} \cdot t \text{ [грн.]}, \quad (3.5)$$

де:  $M$  – місячний посадовий оклад конкретного розробника (дослідника), грн.

$T_p$  – число робочих днів в місяці. Приблизно  $T_p = 21 \div 22$ ,

$t$  – число днів роботи розробника.

Для керівника проекту основна заробітна плата складатиме:

$$Z_o = \frac{3200}{22} \cdot 16 = 2327,3 \text{ (грн.)}.$$

Аналогічно розраховуємо заробітну плату інших розробників. При цьому необхідно врахувати, що найбільшу частину роботи виконує інженер-технолог. Результати розрахунків зведено до таблиці 3.3.

Таблиця 3.3 – Результати розрахунків основної заробітної плати.

№	Найменування посади	Місячний посадовий оклад, грн.	Оплата за робочий день, грн	Число днів роботи	Витрати на заробітну плату, грн
1	Керівник проекту	5000	227,27	16	3636,4
2	Інженер-технолог	4250	193,18	16	3090,9
Всього					6727,3

Витрати на основну заробітну плату робітників ( $Z_p$ ) розраховуються на основі норм часу, які необхідні для виконання технологічних операцій по виготовленню одного виробу:

$$Z_p = \sum_1^n t_i \cdot C_i \cdot K_c \text{ [грн.],} \quad (3.6)$$

де:  $t_i$  – норма часу (трудомісткість) на виконання технологічної операції, годин;  $n$  – число робіт по видах та розрядах,  $K_c$  – коефіцієнт співвідношень, який установлений в даний час Генеральною тарифною угодою між Урядом України і профспілками.  $K_c=1 \div 5$ . Приймаємо  $K_c = 1,37$   $C_i$  – погодинна тарифна ставка робітника відповідного розряду, який виконує відповідну технологічну операцію, грн./год.  $C_i$  визначається за формулою:

$$C_i = \frac{M_m \cdot K_i \cdot K_c}{T_p \cdot T_{зм}} \left[ \frac{\text{грн.}}{\text{год}} \right], \quad (3.7)$$

де:  $M_H$  – мінімальна місячна оплата праці, грн.  $M_H = 4173$  грн.  $K_i$  – тарифний коефіцієнт робітника відповідного розряду та професії,  $K_c$  – мінімальний коефіцієнт співвідношень місячних тарифних ставок робітників першого розряду з нормальними умовами праці виробничих об'єднань і підприємств машинобудування до законодавчо встановленого розміру мінімальної заробітної плати.  $K_c = 1,37$   $T_p$  – число робочих днів в місяці. Приблизно  $T_p = 21 \div 23$ ,  $T_{зм}$  – тривалість зміни,  $T_{зм} = 8$  годин.

Таблиця 3.7 - Витрати на основну заробітну плату для виготовлення однієї деталі

Обладнання	Трудомі- сткість годин	Погодина тарифна ставка	Велечина оплати,грн
Токарний з ЧПК 16K20Ф3	0,211	43,47	12,56
Токарний з ЧПК МК6801Ф3	0,108	43,47	6,42
Всього			18,98

Для всіх деталей складатимуть:

$$Z_p = 10800 \cdot 18,98 = 204984 \text{ (грн.)}$$

Додаткова заробітна плата розраховується, як 10 – 12 % від основної заробітної плати розробників:

$$З_d = 0,11 \cdot (6727,3 + 204984) = 23288 \text{ (грн.)}$$

Нарахування на заробітну плату склали 22 % від суми основної та допоміжної заробітної плати:

$$(6727,3 + 204984 + 23288) \cdot 0,22 = 51700 \text{ (грн.)}$$

3.9 Амортизація обладнання, які використовуються під час виготовлення пристосування

У спрощеному вигляді амортизаційні відрахування в цілому можуть бути розраховані за формулою:

$$A = \frac{Ц}{T_{н.в.}} \cdot \frac{T_{ф.в.}}{12}$$

Де Ц – загальна балансова вартість обладнання, грн;

$T_{фн}$  – строк корисного використання обладнання,

Для багатоцільового верстата складає 0,211 год для однієї деталі, відповідно ( з врахуванням 8-годинного робочого дня і в середньому 30 днів у місяці):

$$0,211 \cdot 10800 / (8 \cdot 30) = 9,5 \text{ місяців}$$

Для вертикально свердлильного верстата аналогічно:

$$0,108 \cdot 10800 / (8 \cdot 30) = 4,9 \text{ місяця}$$

$T_{\text{нв}}$  – нормативний термін використання обладнання, 12 років

Таблиця 3.4 – Амортизаційні відрахування

Найменування обладнання	Балансова вартість, грн	Термін корисного використання, років	Термін використання обладнання місяців	Величина амортизаційних відрахувань, грн.
Токарний з ЧПК 16К20Ф3	700 000	12	9,5	46181
Токарний з ЧПК МК6801Ф3	360 000	12	4,9	12250
Всього				58431

Витрати на матеріали розраховуються по кожному виду матеріалів за формулою [20]:

$$M = \sum_1^n H_i \cdot C_i \cdot K_i - \sum_1^n V_i \cdot C_v \text{ [грн.]}, \quad (3.8)$$

де:  $H_i$  – витрати матеріалу  $i$ -го найменування, 4,09 кг,  $C_i$  – вартість матеріалу  $i$ -го найменування, 16 грн./кг.,  $K_i$  – коефіцієнт транспортних витрат,  $K_i = 1,1$ .  $V_i$  – маса відходів  $i$ -го найменування, 2,41 кг,  $C_v$  – ціна відходів  $i$ -го найменування, 3 грн./кг.  $n$  – кількість видів матеріалів.

Таблиця 3.5 - Витрати на матеріал

Найменування матеріалу	Ціна за 1 кг., грн.	Витрачено, кг.	Величина відходів, кг	Ціна відходів грн./кг.	Вартість витраченого матеріалу, грн.
Сталь 40Х	16	4,09	2,41	3	19,89
Всього					19,89

Для виготовлення даного виробу підприємство використовує один вид матеріалу Сталь40Х і відповідно отримаємо:

$$M = 1,68 \cdot 16 \cdot 1,1 - 2,41 \cdot 3 = 19,89 \text{ (грн.)}$$

А для всієї партії:

$$19,89 \cdot 10800 = 214812 \text{ (грн.)}$$

Витрати на силову електроенергію розраховуються за формулою:

$$V_e = V \cdot \Pi \cdot \Phi \cdot K_n \text{ [грн.],} \quad (3.9)$$

де: V – вартість 1 кВт-години електроенергії. У січні 2019 року  $V = 2.14$  грн./кВт.

$\Pi$  – установлена потужність обладнання, 12 кВт;

$\Phi$  – фактична кількість годин роботи обладнання при виконанні технологічних операцій, в результаті чого виготовляється один виріб;

$K_{\text{п}}$  – коефіцієнт використання потужності.  $K_{\text{п}} < 1$ , приймаємо 0,8.

Таблиця 3.6 – Таблиця витрат на силову електроенергію

Обладнання	Встановлена потужність, кВт	Фактична кількість годин роботи	Сума, грн
Токарний з ЧПК 16К20Ф3	12	0,211	3,71
Токарний з ЧПК МК6801Ф3	10	0,108	1,58
Всього			5.29

А для всієї партії:

$$5.29 \cdot 10800 = 57110,05 \text{ (грн.)}$$

Інші витрати можна прийняти як (100...300)% від суми основної заробітної плати розробників та робітників, які виконували дану роботу:

$$V_{\text{ін}} = (1 \dots 3) (Z_o + Z_p) \quad (3.10)$$

$$V_{\text{ін}} = 2 \cdot (6727,3 + 204984) = 423423 \text{ (грн.)}$$

Усі витрати складають:

$$B=6727,3+204984+23288+51700+58431+214812+57110,05+423423=1040475,35(\text{грн})$$

3.8 Розрахунок загальних витрат виконання даної роботи всіма виконавцями

Загальна вартість даної роботи визначається за  $B_{\text{заг}}$  формулою:

$$B_{\text{заг}} = \frac{B}{\alpha} \quad (3.11)$$

де  $\alpha$  – частка витрат, які безпосередньо здійснює виконавець даного етапу роботи, у відн. одиницях. Для нашого випадку  $\alpha = 0,95$ .

Тоді

$$B_{\text{заг}}=1040475,35/0,95=1095237,21 \text{ (грн.)}$$

передбачає прогнозування загальних витрат на розробку та впровадження результатів виконаної роботи. Прогнозування загальних витрат здійснюється за формулою:

$$ЗВ=B_{\text{заг}}/\beta \quad (3.12)$$

де  $\beta$  – коефіцієнт, який характеризує етап (стадію) виконання даної роботи. Так, якщо розробка знаходиться: на стадії науково-дослідних робіт, то  $\beta \approx 0,1$ ; на стадії технічного проектування, то  $\beta \approx 0,2$ ; на стадії розробки конструкторської



документації, то  $\beta \approx 0,3$ ; на стадії розробки технологій, то  $\beta \approx 0,4$ ; на стадії розробки дослідного зразка, то  $\beta \approx 0,5$ ; на стадії розробки промислового зразка,  $\beta \approx 0,7$ ; на стадії впровадження, то  $\beta \approx 0,8-0,9$ .

Для нашого випадку  $\beta \approx 0,5$ .

Тоді:

$$ЗВ=1095237,21/0,9=1216930,23 \text{ (грн.)}$$

Тобто прогнозовані витрати на розробку технологічного процесу і отримання кришки шатуна з використанням методів поверхневої пластичної деформації складають 1216,93 тис грн.

### 3.9 Прогнозування комерційних ефектів від реалізації результатів розробки

Комерційний ефект розробленого способу суміщеної обробки пояснюється досягненням кращих характеристик обробленої деталі. Це дозволяє реалізовувати нашу розробку на ринку дорожче, ніж аналогічні або подібні за функціями розробки.

Аналіз місткості ринку даної продукції показує, що в даний час в Україні кількість потенційних користувачів подібних способів для зміцнення поверхонь деталей складає щороку приблизно 10800 шт. Середня ціна подібних деталей 4000 грн . Реалізуємо наші деталі приблизно на (10...20%) дешевше, тобто за 2400 грн. При цьому повинен збільшуватися і попит на нашу розробку.

Припустимо, що наша розробка буде користуватися підвищеним попитом на ринку протягом 4-х років після впровадження. Після цього високою є

ймовірність, що іншими фахівцями будуть розроблені ще більш ефективні способи зміцнення поверхневого шару.

За нашими розрахунками, результати нашої розробки можуть бути впроваджені з 1 лютого 2020 року, а її результати будуть виявлятися протягом 2020-го, 2021-го, 2022-го та 2023-го років.

Прогноз зростання попиту на нашу розробку складає по роках:

1-й рік після впровадження (2020 р.) – приблизно 3500 шт.;

2-й рік після впровадження (2021 р.) – приблизно 3400 шт.;

3-й рік після впровадження (2022 р.) – приблизно 2100 шт.;

4-й рік після впровадження (2023 р.) – приблизно 1800 шт.

У 2024 р. ми не плануємо отримання прибутків для потенційних інвесторів, оскільки високою є ймовірність, що з'являться нові, більш якісні розробки.

Розрахуємо очікуване збільшення прибутку  $\Delta\Pi_i$ , що його можна отримати потенційний інвестор від впровадження результатів нашої розробки, для кожного із років, починаючи з першого року впровадження:

$$\Delta\Pi_i = \sum_1^n \Delta\Pi_o \cdot N + \Pi_o \cdot \Delta N)_i \cdot \lambda \cdot \rho \cdot (1 - \mathcal{G}/100) \quad (3.13)$$

де  $\Pi_o$  – покращення основного оціночного показника від впровадження результатів розробки у даному році. Зазвичай таким показником є збільшення ціни нової розробки, грн.; ми домовилися, що  $\Pi_o = 1600$  грн;

$N$  – основний кількісний показник, який визначає обсяг діяльності у даному році до впровадження результатів наукової розробки;

$\Delta N$  – покращення основного кількісного показника від впровадження результатів розробки;

$C_0$  – основний оціночний показник, який визначає обсяг діяльності у даному році після впровадження результатів розробки, грн.;  $C_0 = 4000$  грн;

$n$  – кількість років, протягом яких очікується отримання позитивних результатів від впровадження розробки;

$\lambda$  – коефіцієнт, який враховує сплату податку на додану вартість. У 2018 році ставка податку на додану вартість встановлена на рівні 20%, а коефіцієнт  $\lambda \square 0,8333$ ;

$\rho$  – коефіцієнт, який враховує рентабельність продукту. Рекомендується приймати  $\rho = 0,2 \dots 0,3$ ; візьмемо  $\rho = 0,25$ ;

$\vartheta$  – ставка податку на прибуток. У 2018 році  $\vartheta = 18\%$ .

Тоді, збільшення чистого прибутку для потенційного інвестора  $\square \Pi_1$  протягом першого року від реалізації нашої розробки (2019 р.) складе:

$$\Delta\Pi_1 = (3500 \cdot 1600) \cdot 0.8333 \cdot 0.25 \cdot (1 - 18/100) = 1377655 \text{ (грн.)}$$

$$\Delta\Pi_2 = (3400 \cdot 16000) \cdot 0.8333 \cdot 0.25 \cdot (1 - 18/100) = 1338294 \text{ (грн.)}$$

$$\Delta\Pi_3 = (2100 \cdot 1600) \cdot 0.8333 \cdot 0.25 \cdot (1 - 18/100) = 826593,1 \text{ (грн.)}$$

$$\Delta\Pi_4 = (1800 \cdot 1600) \cdot 0.8333 \cdot 0.25 \cdot (1 - 18/100) = 708508,3 \text{ (грн.)}$$

### 3.10 Розрахунок ефективності вкладених інвестицій та періоду їх окупності

Розраховуємо абсолютну ефективність вкладених інвестицій  $E_{\text{абс}}$ . Для цього користуються формулою:

$$E_{\text{абс}} = \text{ПП} - \text{PV}, \quad (3.14)$$

де  $\Pi$  – приведена вартість всіх чистих прибутків від реалізації результатів розробки, грн.;

У свою чергу, приведена вартість всіх чистих прибутків  $\Pi$  розраховується за формулою:

$$\Pi = \sum_{i=1}^T \frac{\Delta\Pi_i}{(1+\tau)^i} \quad (3.15)$$

де  $\Pi_i$  – збільшення чистого прибутку у кожному із років, протягом яких виявляються результати виконаної та впровадженої роботи, грн.;

$\tau$  – період часу, протягом якого виявляються результати впровадженої наукової роботи, роки;

$t$  – ставка дисконтування, за яку можна взяти щорічний прогнозований рівень інфляції в країні.

Для України приймемо, що  $t = 0,10$  (або 10%);

$t$  – період часу (в роках) від моменту отримання прибутків до точки „0”.

Тоді приведена вартість всіх можливих чистих прибутків  $\Pi$ , що їх може отримати потенційний інвестор від реалізації результатів нашої розробки, складе:

$$\Pi = \frac{1377655}{(1+0.1)^2} + \frac{1338294}{(1+0.1)^3} + \frac{826593,1}{(1+0.1)^4} + \frac{708508,3}{(1+0.1)^5} = 4170647 \text{ (тис. грн.)}$$

Абсолютна ефективність нашої розробки (при прогнозованому ринку збуту) складе:

$$E_{abc} = 4170647 - 1216930 = 2\,953,717 \text{ (тис. грн.)}$$

Оскільки  $E_{abc} > 0$ , то вкладання коштів на виконання та впровадження результатів нашої розробки може бути доцільним.

Але це ще не свідчить про те, що інвестор буде зацікавлене у фінансуванні даного проекту. Він буде зацікавлений це роботи тільки тоді, коли ефективність вкладених інвестицій буде перевищувати певний критичний рівень.

Для цього розрахуємо відносну ефективність  $E_B$  вкладених у розробку коштів. Для цього скористаємося формулою:

$$E_B = \sqrt[T]{1 + E_{abc} / PV} - 1 \quad (3.16)$$

де  $E_{abc}$  – абсолютна ефективність вкладених інвестицій,  $E_{abc} = 2\,953,717$  тис.грн.;

$PV$  – теперішня вартість інвестицій  $PV = 1216,93$  тис. грн.;

$T_{ж}$  – життєвий цикл наукової розробки, роки.

Для нашого випадку:

$$E_B = \sqrt[2]{1 + 2923,717 / 1216,93} - 1 = 0,36 = 36\%$$

У загальному вигляді мінімальна дохідність або мінімальна (бар'єрна) ставка дисконтування  $\tau$  мін визначається за формулою:

$$\tau = d + f, \quad (3.17)$$

де  $d$  – середньозважена ставка за депозитними операціями в комерційних банках; в 2018 році в Україні  $d = (0,20 \dots 0,27)$ ;

$f$  – показник, що характеризує ризикованість вкладень; зазвичай, величина  $f = (0,05 \dots 0,2)$ , але може бути і значно більше. Для нашого випадку отримаємо:

$$\tau_{\text{мін}} = 0,25 + 0,10 = 0,35 \text{ або } \square_{\text{мін}} = 35\%$$

Оскільки величина  $E_B = 1,14\% > \tau_{\text{мін}} = 35\%$ , то інвестор у принципі може бути зацікавлений у фінансуванні нашої розробки.

Термін окупності вкладених у реалізацію наукового проекту інвестицій розраховується за формулою:

$$T_{\text{ок}} = 1/E_B$$

$$T_{\text{ок}} = 1/0,36 = 2,21$$

Тобто у інвестора, на нашу думку, може виникнути зацікавленість вкладати гроші в дану розробку, оскільки він може отримати більші доходи, ніж якщо просто покладе свої гроші на депозит у комерційному банку

### 3.11 Висновок

При оцінці економічної ефективності наукового дослідження було визначено комерційний потенціал дослідження та розраховано кошторис капітальних витрат

на автоматизацію ділянки механічної обробки, а також оцінено економічну ефективність інноваційного рішення.

В розрахунку економічної ефективності було виконано прогнозування загальних витрат на виконання та впровадження результатів наукової-дослідної роботи, спрогнозовано комерційний ефект від реалізації результатів розробки та ефективність вкладених інвестицій і періоду їх окупності (2,21 роки). За результатами всіх розрахунків було виявлено доцільність проведення даної наукової-дослідної роботи оскільки вона є економічно виправданою.

## 4 ОХОРОНА ПРАЦІ ТА БЕЗПЕКА БЕЗПЕКА ЖИТТЄДІЯЛЬНОСТІ

### 4.1 Аналіз умов праці

Аналізуються умови праці на дільниці, де виготовляють корпус пневмоциліндра. Живлення здійснюється від 3 –х фазних і 4-х провідних мереж (220-380) з глухозаземленою нейтраллю живильного трансформатора напругою до 1000 В.

В процесі роботи виникають наступні шкідливі та небезпечні виробничі фактори за ГОСТ 12.0.003-74:

- Рухомі частини виробничого обладнання;
- Гострі заусенеці і кромки на поверхнях деталей;
- Температура повітря робочої зони не відповідає нормальним умовам;
- Підвищений рівень шуму на робочому місці;
- Недостатнє освітлення робочої зони;
- Підвищена загазованість робочої зони;
- Загально токсичні: оксид вуглецю;
- Паралізуючі: пари лугів
- фізичне та розумове перенапруження
- перенапруження аналізаторів
- емоційні перенавантаження.

### 4.2 Технічні рішення з гігієни праці та виробничої санітарії.

#### 4.2.1 Мікроклімат

Однією з необхідних і важливих умов для здорової і високопродуктивної праці є забезпечення чистоти повітря і підтримання нормальних метеорологічних



умов в робочій зоні. Оптимальні показники мікроклімату – показники, які розповсюджуються на всю територію робочої зони. Допустимі показники – показники, які встановлюються диференційно для постійних і непостійних робочих місць. Оптимальні величини мікроклімату встановлюються у випадках, коли по технологічних вимогах, екологічним і технологічним, економічним принципам не забезпечуються оптимальні норми.

Вологість повітря значно впливає на терморегуляцію організму людини. Дія температури навколишнього середовища залежить від супроводжуючої відносної вологості. Підвищена вологість є несприятливим фактором не тільки в умовах спеки, але й при пониженій температурі. Інтенсивність теплового випромінювання складає  $100\text{Вт}/\text{м}^2$  при випромінюванні тіла людини 25%.

Показники мікроклімату в виробничих приміщеннях повинні відповідати значенням, наведеним в таблиці 4.1[16].

Таблиця 4.1- Показники мікроклімату в виробничих приміщеннях.

Період року	Категор робіт	Температура				Відносна вологість		Шв. руху повіт.		
		Опт.	Допустима							
			В.м.	Н.м.	В.м.					Н.м.
			На робочих місцях							
Пост.	Не Пост.	Пост.	Не пост.							
теплий	2б	20-22	27	29	16	15	40-60	70	0,3	0,2-0,5
холод	2б	17-19	21	23	15	13	40-60	75	0,2	>0,4

#### 4.2.2 Розрахунок місцевої вентиляції

При металообробці в верстатах застосовується місцевий щільний газовловлювач

«ВЦНИИОТ», який вловлює пил і газу, що містять фтористі з'єднання. В нижній площині вловлювача є щілина змінної ширини довжиною 250мм, що розміщується над поверхнею обробки на висоті 40 мм.

Призначаємо швидкість руху повітря на дільниці  $V_1=V_2=V_3= 10$  м/с.

Розрахунок втрат тиску на одиницю довжини і втрат на місцеві опори за формулою

$$\Delta P_M = \sum R_i \cdot L_i + \sum \xi \cdot \Delta P_{опи} \text{ (ГК/М}^2\text{)} \quad (7.1)$$

Визначаємо коефіцієнти місцевих опорів: круглі відводи  $\alpha = 900$ ,  $R(d = 2)$ ,  $\xi_{\sigma} = 0,15$ ; витяжка із зонтом  $\xi_{опи} = 1,15$ ; газовловлювач  $\xi_{\sigma} = 0,15$ ; трійник  $\xi_{тр} = 0,35$ .

Визначимо загальні і місцеві опори втрати тиску в повітроводах на місцевих опорах, загальні втрати на дільницях ті заносимо дані в таблицю 4.2.

Таблиця 4.2- Втрати тиску на дільниці

N дільниці	Кількість повітря м <sup>3</sup> /год	Довжина L, м.	Швидкість V, м/с	Діаметр повітровода d <sub>i</sub> мм.	Втрати тиску матер.		Динамічний тиск рідин кг/м <sup>2</sup>	Сума коефіцієнтів місц. опорів	Втрати тиску на місцях опорів Z мг/м <sup>3</sup>	Загальні втрати тиску на дільниці	Сумарні втрати
					На 1/R	На всій дільниці					
1	339	5,9	12	100	2,01	11,8	8,81	0,45	3,96	6	1576
2	339	10,5	12	100	2,01	21,1	8,81	0,4	3,5	24,6	40,36
3	678	2,5	12,2	140	1,36	3,4	91	13	11,83	15,2	55,59

Визначаємо продуктивність та повітряний тиск вентилятора[17].

$$L_B = (1,05 \dots 1,1)L_M = 711,9 \dots 745,8 \text{ м}^3/\text{год.}$$

$$\Delta P_B = (1,1 \dots 1,5)\Delta P_M = 61,15 \dots 63,94 \text{ кг/м}^3.$$

Для заданих продуктивності і тиску вибираємо вентилятор Ц-4-70л/2,5 з ККД=0,6 і числом обертів  $n=2800$  об/хв.

Визначаємо потрібну потужність вентилятора

$$W_B = \frac{L_B \cdot p_B}{3600 \cdot 10^2 \cdot \eta_B} = \frac{745,8 \cdot 59,74}{3600 \cdot 10^2 \cdot 0,6} = 0,2 \text{ кВт.}$$

Визначаємо потужність електродвигуна

$$W_{ED} = \frac{W_B \cdot K_s}{\eta_B \cdot \eta_{кп}} = \frac{0,2 \cdot 1,2}{0,97 \cdot 0,950} = 0,26 \text{ кВт.}$$

$\eta_B$  – ККД підшипників вентилятора

$\eta_{кп}$  – ККД клинопасової передачі

Для вентилятора Ц-4-70л/2,5 вибираємо електродвигуни типу АОП-12.2, потужністю 0,4 кВт і числом обертів  $n=2800$  об/хв.

#### 4.2.3 Природне і штучне освітлення (СНіП 2-4-79).

Нормування природного освітлення:

- характеристика зорової роботи: робота дуже високої точності;
- найменший розмір об'єкту розрізнення: від 0,15 до 0,3 мм;

- розряд зорової роботи: П б;
- вид природного освітлення: бокове;
- КПОн = 2,5% (для суміщеного освітлення КПОн~1,5%);
- пояс світлового клімату-4 (північніше 50° широти), коефіцієнт світового клімату  $t = 0,9$  ;
- так як вікна орієнтовані на північ і південь, то азимут 90, звідки коефіцієнт сонячності  $C = 0,75$ ;
- нормоване значення КПО для даного поясу світлового клімату -1, 0125%.

Нормування штучного освітлення:

- характеристика зорової роботи: робота дуже високої точності;
- найменший розмір об'єкту розрізнення; від 0,15 до 0,3мм;
- розряд зорової роботи: Пб;
- характеристика фону: середній;
- контраст з об'єктом розрізнення- середній;
- освітленість при загальному освітленні повинна дорівнювати 750лк , при комбінованому 3000 лк.

На верстатах використовуємо для місцевого освітлення лампи розжарювання . Природне освітлення проводиться через вікна розмірами 3,5 x 3,2м.

#### 4.2.4 Захист від виробничого шуму.

Основним джерелом виробничого шуму є виробниче обладнання. При проектуванні виробниче обладнання слід керуватися вимогами санітарних норм.

Допустимі рівні звукового тиску в октавних полісах частот, рівні звуку і еквівалентні рівні звуку на робочих місцях в виробничих приміщеннях на території підприємства приведено в таблиці 4.5. Шум нормується за СНіП3223-85.

Таблиця 4.5- Значення рівнів звукового тиску.

Рівні звукового тиску, дБ в октавних полосах, Гц									Рівні звуку і еквівалент дБ(А)
31,5	63	125	250	500	1000	2000	4000	8000	
107	95	87	82	78	75	73	71	69	80

Найбільш ефективне зниження шуму досягається шляхом установки звукоізолюючих перешкод, перегородок, кожухів, кабін[17] .

#### 4.2.5 Вібраційна безпека за ГОСТ12.1.012-90.

У відповідності з санітарними нормами, правилами техніки безпеки та іншими нормативними документами визначимо критерії оцінки у відповідності з характером умов праці.

Таблиця 4.6 - Критерії оцінки

Категорія вібрацій, Критерій оцінки	Характеристика умов праці	Приклади джерел вібрації
3 тип «а» границя зниження ККД	Технологічна вібрація, що впливає на оператора	Металообробні верстати ел. Обладнання, вентилятори

Таблиця 4.7 Значення норм вібраційного навантаження на оператора

Вид вібрації	Категорія вібрації	Напрямок вібрації	Нормат-ні коригувальні по величині частоти значень			
			Віброприскорення		Віброшвидкість	
			м/с <sup>2</sup>	рівень дБ	м/с 10 <sup>-2</sup>	рівень, дБ
Загальна	3 тип «а»	Z <sub>0</sub> , Y <sub>0</sub> , X <sub>0</sub>	0,1	100	0,2	92

Санітарні норми показників вібраційного навантаження на операторів (локальна вібрація) для восьмигодинного робочого дня наведено в таблиці 4.8.

Таблиця 4.8 - Значення норм локального вібраційного навантаження.

Середньгеометричні частоти у октавних полосах, Гц	Нормативні значення			
	Віброприскорення		Віброшвидкість	
	м/с <sup>2</sup>	рівень, дБ	м/с 10 <sup>-2</sup>	рівень, дБ
16	1,4	123	1,4	109
31,5	27	129	1,4	109
63	5,4	135	1,4	109
125	10,7	141	1,4	109
250	21,3	153	1,4	109
500	42,5	159	1,4	109
1000	85	163	1,4	109

#### 4.3 Організаційно-технічні рішення щодо забезпечення безпечної роботи.

##### 4.3.1 Вимоги до використання електрообладнання.

Представлена ділянка по небезпеці ураження електричним струмом відноситься до особливо небезпечних приміщень. Тут існує струмопровідна підлога і можливе одночасне торкання оператором до заземлених механізмів та металевих корпусів електрообладнання. До електрообладнання висуваються наступні вимоги :

- необхідність занулення, що запобігає ураженню електричним струмом оператора згідно ПУЕ занулення являється ефективною мірою захисту при живленні електрообладнання 3-х фазних і 4-х провідних мереж (220/380) з глухо заземленою нейтраллю живильного трансформатора напругою до 1000 В;
- в електричній схемі обладнання має бути передбачено блокуючий пристрій на випадок падіння або збільшення напруги в мережі живлення.

Виробниче обладнання повинне забезпечуватись засобами аварійної сигналізації. Органи управління повинні забезпечувати надійність пусків і швидкість зупинки, але мають бути простими в користуванні, оператор не повинен прикладати великих зусиль для їх переміщення. Також органи керування повинні бути відповідним чином марковані, або мати відповідні написи.

Органи аварійного керування СТОП повинні бути забарвленні в червоний колір та мати зручну форму для аварійного відключення.

#### 4.4 Дії в надзвичайних ситуаціях при радіації

Організм людини, рослинний і тваринний світ постійно зазнають дії іонізуючого випромінювання, яке складається з природної (космічне випромінювання, випромінювання радіоактивних газів з верхніх шарів земної кори) і штучної (рентгенівські апарати, телевізійні прилади, радіоізотопи, атомоходи, атомні електростанції, ядерні випробування) радіоактивності.

Усі джерела радіоактивного випромінювання становлять так званий природний радіаційний фон, під яким розуміють дозу іонізуючого випромінювання, що складається з космічного випромінювання, випромінювання природних радіонуклідів, які знаходяться у верхніх шарах Землі, приземній атмосфері, продуктах харчування, воді та організмі людини.

Радіоактивні речовини потрапляють у повітря, ґрунти, ріки, озера, моря, океани, а звідти поглинаються рослинами, рибами, тваринами і моллюсками. Через листя і коріння радіоактивні речовини потрапляють у рослини, а потім в організм тварин і з продуктами рослинного та тваринного походження, з водою - в організм людини. При вивченні дії випромінювання на організм людини встановлено такі особливості:

- навіть незначна кількість поглиненої енергії випромінювання спричинює глибокі біологічні зміни в організмі;
- наявність прихованого (інкубаційного) періоду дії іонізуючого

випромінювання;

- випромінювання має генетичний ефект;
- органи живого організму мають різну чутливість до випромінювання;
- окремі організми неоднаково реагують на опромінювання;
- опромінювання залежить від частоти, одноразове опромінювання у великій дозі спричинює більш глибокі зміни.

Радіоактивні речовини потрапляють в організм людини при вдиханні зараженого повітря, із зараженою їжею чи водою, крізь шкіру, відкриті рани. Проникненню радіоактивних забруднень крізь шкіру і рани можна запобігти, дотримуючись певних заходів захисту.

Основним джерелом опромінювання людини є радіоактивні речовини, які потрапляють з їжею. Ступінь небезпеки забруднення радіонуклідами залежить від частоти вживання забруднених радіоактивними речовинами продуктів, а також від швидкості виведення їх з організму. Якщо радіонукліди, які потрапили в організм, однотипні з елементами, що споживає людина з їжею (натрій, калій, хлор, кальцій, залізо, марганець, йод та ін.), то вони швидко виводяться з організму разом з ними.

Деякі речовини харчових продуктів (пектинові, барвники) утворюють нерозчинні сполуки зі стронцієм, кобальтом, свинцем, кальцієм та іншими важкими металами, які не перетравлюються і виводяться з організму. Отже, ці речовини виконують радіозахисну функцію. Тому пектин, а також пектиномісткі продукти (чорна смородина, агрус, полуниці та ін.), використовують у спеціальному харчуванні для виведення радіоактивних елементів з організму.

Первинним процесом дії радіоактивних речовин в організмі людини є іонізація. Збуджена при цьому енергія іонізуючого опромінювання передається на різні речовини організму людини. У разі дії на прості речовини (гази, метали та ін.) будь-яких змін фізико-хімічної природи у них не спостерігається. При дії на складні речовини, молекули яких складаються з багатьох різних атомів, вони розпадаються (дисоціація). Це так звана пряма дія на прості або складні речовини



організму людини. Більш суттєву роль відіграє механізм непрямой дії іонізуючого випромінювання, під яким треба розуміти радіаційно-хімічні зміни у певній розчинній речовині, зумовлені продуктами радіолізу (розпаду) води.

#### 4.4.1 Розрахунок режимів радіаційного захисту

Під режимом роботи в виробничому приміщенні в умовах радіоактивного забруднення розуміють порядок і умови роботи, переміщення і відпочинку персоналу з використанням засобів захисту, що зменшує ураження людей і скорочує вимушену зупинку виробництва.

Можлива доза опромінення працівників механообробного цеху в заданих умовах при роботі у режимі 2 зміни по 12 год. складає

$$D_m = \frac{1,33 \cdot p_{1\max} \cdot (\sqrt[4]{t_k^3} - \sqrt[4]{t_n^3})}{K_{\text{noc}}} = \frac{1,33 \cdot 1 \cdot (\sqrt[4]{13^3} - 1)}{8} = 0,97 \text{ (мР)},$$

де  $t_{\text{п}}=1$  год. – час початку роботи після радіоактивного забруднення;

$t_k=1+12=13$  год. – час завершення роботи першої робочої зміни після радіоактивного забруднення;

$p_{1\max}=1$  мР/год. – рівень радіації через одну годину після радіоактивного забруднення;

$K_{\text{noc}}=8$  – коефіцієнт послаблення радіації виробничим приміщенням.

Визначимо граничне значення рівня радіації, при якому можлива робота в звичайному режимі

$$p_{\text{гр}} = \frac{D_{\text{дон}} \cdot K_{\text{noc}}}{1,33 \cdot (\sqrt[4]{t_k^3} - \sqrt[4]{t_n^3})} = \frac{0,5 \cdot 8}{1,33 \cdot (\sqrt[4]{13^3} - \sqrt[4]{1^3})} = 0,55 \text{ (мР/год)}.$$

Згідно проведеного розрахунку можлива доза опромінення персоналу  $D_m > D_{\text{дон}} (0,97 > 0,5)$  та рівень радіоактивного забруднення  $p_{1\max} > p_{\text{гр}} (1 > 0,55)$

перевищують допустимі норми, тому робота працівників механообробного цеху в режимі 2 зміни по 12 год. неможлива. Для продовження виробничої діяльності підприємства необхідно введення в дію режимів радіаційного захисту.

Розрахунок режимів радіаційного захисту працівників підприємства проведемо в такій послідовності.

Для кожної зі скорочених змін необхідно визначити час початку робочої зміни ( $t_{п}$ ), час кінця робочої зміни ( $t_{к}$ ), тривалість роботи зміни ( $t_{р}$ ) та можливу дозу опромінення зміни ( $D_{м}$ ).

Час початку роботи першої зміни визначається за коефіцієнтом  $\alpha$ :

$$\alpha = \frac{D_{дон} \cdot K_{нос}}{1,33 \cdot p_{1\max}} = \frac{0,5 \cdot 8}{1,33 \cdot 1} = 3.$$

Згідно довідникових даних час початку роботи першої скороченої зміни  $t_{п1}=1$  год.

Для 1-ї скороченої зміни: час початку роботи  $t_{п1} = 1$  год.

Час закінчення роботи

$$t_{к1} = \left( \frac{D_{дон} \cdot K_{нос} + 1,33 \cdot p_{1\max} \cdot \sqrt[4]{t_{п1}^3}}{1,33 \cdot p_{1\max}} \right)^{\frac{4}{3}} = \left( \frac{0,5 \cdot 8 + 1,33 \cdot 1 \cdot \sqrt[4]{1^3}}{1,33 \cdot 1} \right)^{\frac{4}{3}} = 6,33 \approx 6 \text{ (год)}.$$

Тривалість роботи  $t_{р1} = t_{к1} - t_{п1} = 6 - 1 = 5$  (год).

Можлива доза опромінення

$$D_{м1} = \frac{1,33 \cdot p_{1\max} \cdot \left( \sqrt[4]{t_{к1}^3} - \sqrt[4]{t_{п1}^3} \right)}{K_{носл}} = \frac{1,33 \cdot 1 \cdot \left( \sqrt[4]{6^3} - \sqrt[4]{1^3} \right)}{8} = 0,485 \text{ (мР)}.$$

Для 2-ї зміни: час початку роботи  $t_{п2} = t_{п1} + t_{р1} = 1 + 5 = 6$  (год).

Час закінчення роботи

$$t_{k2} = \left( \frac{D_{\text{дон}} \cdot K_{\text{нос}} + 1,33 \cdot p_{1\text{max}} \cdot \sqrt[4]{t_{n2}^3}}{1,33 \cdot p_{1\text{max}}} \right)^{\frac{4}{3}} = \left( \frac{0,5 \cdot 8 + 1,33 \cdot 1 \cdot \sqrt[4]{6^3}}{1,33 \cdot 1} \right)^{\frac{4}{3}} = 12,9 \approx 12,5 (\text{год})$$

Тривалість роботи  $t_{p2} = t_{k2} - t_{п2} = 12,5 - 6 = 6,5$  (год).

Можлива доза опромінення

$$D_{m2} = \frac{1,33 \cdot p_{1\text{max}} \cdot \left( \sqrt[4]{t_{k2}^3} - \sqrt[4]{t_{n2}^3} \right)}{K_{\text{посл}}} = \frac{1,33 \cdot 1 \cdot \left( \sqrt[4]{12,5^3} - \sqrt[4]{6^3} \right)}{8} = 0,48 (\text{мР}).$$

Для 3-ї зміни: час початку роботи  $t_{п3} = t_{п2} + t_{p2} = 6 + 6,5 = 12,5$  (год).

Час закінчення роботи

$$t_{k3} = \left( \frac{D_{\text{дон}} \cdot K_{\text{нос}} + 1,33 \cdot p_{1\text{max}} \cdot \sqrt[4]{t_{n3}^3}}{1,33 \cdot p_{1\text{max}}} \right)^{\frac{4}{3}} = \left( \frac{0,5 \cdot 8 + 1,33 \cdot 1 \cdot \sqrt[4]{12,5^3}}{1,33 \cdot 1} \right)^{\frac{4}{3}} = 20,4 \approx 20 (\text{год}).$$

Тривалість роботи  $t_{p3} = t_{k3} - t_{п3} = 20 - 12,5 = 7,5$  (год).

Можлива доза опромінення

$$D_{m3} = \frac{1,33 \cdot p_{1\text{max}} \cdot \left( \sqrt[4]{t_{k3}^3} - \sqrt[4]{t_{n3}^3} \right)}{K_{\text{посл}}} = \frac{1,33 \cdot 1 \cdot \left( \sqrt[4]{20^3} - \sqrt[4]{12,5^3} \right)}{8} = 0,47 (\text{мР}).$$

Для 4-ї зміни: час початку роботи  $t_{п4} = t_{п3} + t_{p3} = 12,5 + 7,5 = 20$  (год).

Час закінчення роботи

$$t_{k4} = \left( \frac{D_{\text{дон}} \cdot K_{\text{нос}} + 1,33 \cdot p_{1\text{max}} \cdot \sqrt[4]{t_{n4}^3}}{1,33 \cdot p_{1\text{max}}} \right)^{\frac{4}{3}} = \left( \frac{0,5 \cdot 8 + 1,33 \cdot 1 \cdot \sqrt[4]{20^3}}{1,33 \cdot 1} \right)^{\frac{4}{3}} = 28,65 \approx 28,5 (\text{год}).$$

Тривалість роботи  $t_{p4} = t_{k4} - t_{п4} = 28,5 - 20 = 8,5$  (год).

Можлива доза опромінення

$$D_{,m4} = \frac{1,33 \cdot p_{1\max} \cdot \left( \sqrt[4]{t_{k4}^3} - \sqrt[4]{t_{п4}^3} \right)}{K_{\text{носл}}} = \frac{1,33 \cdot 1 \cdot \left( \sqrt[4]{28,5^3} - \sqrt[4]{20^3} \right)}{8} = 0,48 \text{ (мР)}.$$

Для 5-ї зміни: час початку роботи  $t_{п5} = t_{п4} + t_{p4} = 20 + 8,5 = 28,5$  (год).

Час закінчення роботи

$$t_{k5} = \left( \frac{D_{\text{дон}} \cdot K_{\text{нос}} + 1,33 \cdot p_{1\max} \cdot \sqrt[4]{t_{п5}^3}}{1,33 \cdot p_{1\max}} \right)^{\frac{4}{3}} = \left( \frac{0,5 \cdot 8 + 1,33 \cdot 1 \cdot \sqrt[4]{28,5^3}}{1,33 \cdot 1} \right)^{\frac{4}{3}} = 38,4 \approx 38 \text{ (год)}$$

Тривалість роботи  $t_{p5} = t_{k5} - t_{п5} = 38 - 28,5 = 9,5$  (год).

Можлива доза опромінення

$$D_{,m5} = \frac{1,33 \cdot p_{1\max} \cdot \left( \sqrt[4]{t_{k5}^3} - \sqrt[4]{t_{п5}^3} \right)}{K_{\text{носл}}} = \frac{1,33 \cdot 1 \cdot \left( \sqrt[4]{38^3} - \sqrt[4]{28,5^3} \right)}{8} = 0,47 \text{ (мР)}.$$

Для 6-ї зміни: час початку роботи  $t_{п6} = t_{п5} + t_{p5} = 28,5 + 9,5 = 38$  (год).

Час закінчення роботи

$$t_{k6} = \left( \frac{D_{\text{дон}} \cdot K_{\text{нос}} + 1,33 \cdot p_{1\max} \cdot \sqrt[4]{t_{п6}^3}}{1,33 \cdot p_{1\max}} \right)^{\frac{4}{3}} = \left( \frac{0,5 \cdot 8 + 1,33 \cdot 1 \cdot \sqrt[4]{38^3}}{1,33 \cdot 1} \right)^{\frac{4}{3}} = 48,9 \approx 48,5 \text{ (год)}$$

Тривалість роботи  $t_{p6} = t_{k6} - t_{п6} = 48,5 - 38 = 10,5$  (год).

Можлива доза опромінення

$$D_{,m6} = \frac{1,33 \cdot p_{1\max} \cdot \left( \sqrt[4]{t_{k6}^3} - \sqrt[4]{t_{n6}^3} \right)}{K_{\text{посл}}} = \frac{1,33 \cdot 1 \cdot \left( \sqrt[4]{48,5^3} - \sqrt[4]{38^3} \right)}{8} = 0,49 \text{ (мР)}.$$

Для 7-ї зміни: час початку роботи  $t_{п7} = t_{п6} + t_{р6} = 38 + 10,5 = 48,5$  (год).

Час закінчення роботи

$$t_{k7} = \left( \frac{D_{\text{дон}} \cdot K_{\text{нос}} + 1,33 \cdot p_{1\max} \cdot \sqrt[4]{t_{n7}^3}}{1,33 \cdot p_{1\max}} \right)^{\frac{4}{3}} = \left( \frac{0,5 \cdot 8 + 1,33 \cdot 1 \cdot \sqrt[4]{48,5^3}}{1,33 \cdot 1} \right)^{\frac{4}{3}} = 60,43 \approx 60,5 \text{ (год)}.$$

Тривалість роботи  $t_{р7} = t_{к7} - t_{п7} = 60,5 - 48,5 = 12$  (год).

Можлива доза опромінення

$$D_{,m7} = \frac{1,33 \cdot p_{1\max} \cdot \left( \sqrt[4]{t_{k7}^3} - \sqrt[4]{t_{n7}^3} \right)}{K_{\text{посл}}} = \frac{1,33 \cdot 1 \cdot \left( \sqrt[4]{60,5^3} - \sqrt[4]{48,5^3} \right)}{8} = 0,505 \text{ (мР)}.$$

За результатами проведеного розрахунку роботу підприємства в дві зміни по 12 год. можна буде розпочинати через 38 год. після радіоактивного забруднення. Після того, як відпрацює 6-та скорочена зміна до роботи приступить 7-ма повна зміна.

Для захисту працівників в таких умовах роботи також необхідно вжити додаткових заходів, таких як:

- евакуювати працівників, що не зайняті на виробництві;
- зміну, що відпочиває укрити в сховищі;
- надати працівникам засоби індивідуального захисту;
- систематично проводити прибирання у виробничих приміщеннях;
- загерметизувати виробниче приміщення і обладнати вентиляційну систему фільтрами;
- здійснити йодну та медикаментозну профілактику персоналу;
- обмежити перебування працівників на відкритій місцевості.

#### 4.5 Висновки

За результатами проведеного розрахунку визначено, що роботу підприємства в дві зміни по 12 год. можна буде розпочинати через 38 год. після радіоактивного забруднення. Після того, як відпрацює 6-та скорочена зміна до роботи приступить 7-ма повна зміна. Проаналізовано умови праці, розраховано освітлення, вентиляцію.

## ВИСНОВКИ

В запропонованій магістерській кваліфікаційній роботі в повній мірі використані всі сучасні тенденції розвитку машинобудування та досягнення комп'ютерних технологій. Враховуючи серійність виробництва та сучасні тенденції, запропонований технологічний процес орієнтований на використання гнучкого виробництва на базі верстатів з ЧПК.

Отже, в результаті виконання магістерської кваліфікаційної роботи розроблено модернізований технологічний процес механічної обробки деталі Вал, який дозволяє знизити собівартість та трудомісткість механічної обробки, та підвищити продуктивність праці. Крім цього, розраховані технологічні параметри, що потрібні для виготовлення даної деталі. Поставлені та послідовно розв'язані такі задачі: за кресленням деталі, її масою та програмою випуску визначено, що тип виробництва серійне; серед існуючих способів виготовлення заготовки деталі «Вал» вибраний прокат рми, який економічно доцільніший; на основі аналізу існуючих типових процесів механічної обробки деталей подібних до заданої деталі розроблено технологічний процес механічної обробки. Виконаний розмірний аналіз технологічного процесу механічної обробки та визначені режими різання на його переходах.

Для фінішної обробки використано обкочування. Для вибору оптимальних показників точності досліджено вплив технологічних параметрів на використаний ресурс пластичності отримуваної поверхні. Це дозволило обрати оптимальні режими обробки і отримати якісну поверхню

## СПИСОК ВИКОРИСТАНИХ ДЖЕРЕЛ

1. О.В.Сердюк Дослідження процесу розкочування / Сердюк О.В., Токар О.О., Токар О.О. // XLVII науково-технічна конференція професорсько-викладацького складу, співробітників та студентів університету з участю працівників науково-дослідних організацій та інженерно-технічних працівників підприємств м. Вінниці та області(березень2018р.). Режим доступу до журн.:<https://conferences.vntu.edu.ua/index.php/all-fmt/all-fmt-2018/paper/view/4510/3607>
2. Підвищення надійності деталей машин поверхневим пластичним деформуванням: Навчальний посібник для студентів спеціальностей 7.090202 „Технологія машинобудування”, 7.090203 „металорізальні верстати та системи”/ І.С. Афтаназів, А.П. Гавриш, П.О. Китичок і ін. – Житомир:ЖІТІ, 2001 – 516 с.
3. Браславский В. М. Технологія обкатування великих деталей роликками. М., «Машинобудування», 1975. 159 с. з іл.
4. Смелянский В.М. Механика упрочнения деталей поверхностным пластическим деформированием, - М.: Машиностроение, 2002. – 300 с.
5. Алиев И.С., Сивак Р.И. Оценка пластичности при поверхностной пластической деформации// Известия ТулГУ. Сер «Механика деформируемого твердого тела и обработка металлов давлением». – Тула: Тул ГУ. – 2004. – С. 150-156
6. Сухоруков С. И. Влияние параметров разбиения конечно-элементной модели на точность результатов моделирования процесса поперечно-клиновой прокатки / С. И. Сухорков, И. О. Сивак, Е. И. Коцюбивская // Обработка материалов давлением: сборник научных трудов. – Краматорск: ДГМА, 2012. - №3 (32). – С. 35 – 39. ISSN 2076 – 2151.
7. Смелянский Вадим Михайлович. Механіка упрочнення деталей поверхневим пластическим деформированием: монографія / В.М. Смелянский. – М.: Машиностроение, 2002. – 300 с. – ISBN 5-217-03065-8.



8. Сердюк О. В. Моделирование процесса деформирования поверхностного слоя при обкатке цилиндрическим роликом // Обработка материалов давлением. – 2012. – № 3 (32).

9. . Огородніков В. А. Напружений стан на кінцевій стадії видавлювання різевих канавок на внутрішній поверхні / В.А. Огородніков, В. Г. Нагайчук, М. В. Любін // Вісник вінницького політехнічного інституту, 1996. - №4. – С. 53-55.

10. Руденко П.А. Проектирование и производство заготовок в машиностроении / П.А. Руденко, Ю.А. Харламов, В.М. Плескач,- Киев «Выща школа». 1999.–247 с.

11. Економічне обґрунтування інноваційних рішень в машинобудуванні. Методика і особливості виконання курсової роботи: навчальний посібник / В.В.Кавецький, В.О.Козловський – Вінниця: ВНТУ, 2013.-100 с.

12. Методичні вказівки до виконання курсової роботи з дисципліни «САПР технологічної підготовки машинобудівного виробництва» / Укладачі: О. В. Петров, Л. Г. Козлов, Д. О. Лозінський. – Вінниця : ВНТУ, 2013. – 60с.

13. Дусанюк Ж.П. Посібник до практичних занять з дисципліни " Механоскладальні дільниць та цехи в машинобудуванні"/ Ж.П. Дусанюк, С.В. Дусанюк, С.В Репінський, О.В. Сердюк – Вінниця: ВНТУ, 2011 – 142 с.

14. Отливки из металлов и сплавов. Допуски размеров, массы и припуски на механическую обработку : ГОСТ 26645-85. — [Чинний від 1987-07-01]. — М. : Изд-во стандартов, 1987. — 53 с.

15. Дусанюк Ж. П. Проектування та виробництво заготовок деталей машин. Литі заготовки : навчальний посібник / [Дусанюк Ж. П., Шиліна О. П., Репінський С. В. та ін.]. — Вінниця : ВНТУ, 2009. — 199 с.

16. Руденко П.А. Проектирование и производство заготовок в машиностроении / П.А. Руденко, Ю.А. Харламов, В.М. Плескач,- Киев «Выща школа». 1999.–247 с.

17. Проектирование технологических процессов механической обработки в машиностроении / [Бабук В. В., Шкред В. А., Кривко Г. П., Медведев А. И. ] ; Под ред. В. В. Бабука. Минск : Вышэйшая школа, 1987.— 255 с.
18. Дерібо О. В. Технологія машинобудування. Курсове проектування / Дерібо О. В., Дусанюк Ж. П, Пурдик В. П. — Вінниця, 2012. — 122 с.
19. Косилова А. Г. Справочник технолога-машиностроителя. В 2-х томах. Изд. 3-е переработ. Том 2. [Под ред. А. Г. Косиловой и Р. К. Мещерякова]. М., «Машиностроение», 1985.— 496с.
20. “Общестроительные нормативы времени и режимов резания для нормирования работ, выполняемых на универсальных и многоцелевых станках с числовым управлением”, часть 2, Москва 1990.
21. “Режимы резания металлов”, справочник, под. ред. Ю.В.Барановского, Москва 1972.
22. “Общемашиностроительные нормативы времени вспомогательного, на обслуживание рабочего места и подготовительно-заключительного на работы, выполняемые на металлорежущих станках. Среднесерийное и крупносерийное производство”, Москва 1984.
23. “Общестроительные нормативы времени и режимов резания для нормирования работ, выполняемых на универсальных и многоцелевых станках с числовым управлением”, часть 1, Москва 1990.
24. Руденко П. А. Проектирование технологических процессов в машиностроении / П. А. Руденко — К. : Вища школа, 1985. — 255 с.
25. Антонюк В.Е. Конструктору станочных приспособлений: Справ. Пособие— Мн: Беларусь, 1991
26. Горошкин А.К. Приспособления для металлорежущих станков: Справочник. – М.: Машиностроения, 1971.

27. Вардашкин Б.Н. Станочные приспособления: Справочник в 2-х томах. Т1/ Б.Н. Вардашкин, А.А.Шатилов. М.: Машиностроение, 1984. – 592с.
28. Корсаков В.С. Основы конструирования приспособлений. М.: Машиностроение, 1983. – 276с.
29. Косилова А. Г. Справочник технолога-машиностроителя. В 2-х томах. Изд. 3-е переработ. Том 1. [Под ред. А. Г. Косиловой и Р. К. Мещерякова]. М., «Машиностроение», 1972.— 694с.
30. Козловський В. О. Методичні вказівки до виконання студентами - магістрантами наукового напрямку економічної частини магістерських кваліфікаційних робіт. / В.О.Козловський - Вінниця: ВНТУ, 2012.- 22 с.
31. Закон України «Про оплату праці» від 24.03.1995, № 108/95-ВР. [сайт]. Режим доступу: <http://zakon2.rada.gov.ua/laws/show/108/95-Вр>. Назва з екрану.
32. Методичні вказівки до оформлення курсових проектів (робіт) у Вінницькому національному технічному університеті /Уклад. Г. Л. Лисенко, А. Г. Буда, Р. Р. Обертюх, - Вінниця: ВНТУ, 2006. - 60 с.
33. Терещенко О. П. Методичні вказівки щодо опрацювання розділу “Охорона праці та безпека у надзвичайних ситуаціях” в дипломних проектах і магістерських роботах студентів машинобудівельних спеціальностей. / О.П. Терещенко, О.В. Кобилянський – Вінниця: ВНТУ, 2014.- 45 с.

## Додатки

## Додаток А

### Технічне завдання

Міністерство освіти і науки України  
Вінницький національний технічний університет  
Факультет машинобудування та транспорту  
Кафедра технологій та автоматизації машинобудування

ЗАТВЕРДЖУЮ  
зав. кафедри ТАМ

д.т.н., проф. Л.Г.Козлов

\_\_\_\_\_  
(підпис)

« \_\_\_\_ » \_\_\_\_\_ 20\_\_ р.

## ТЕХНІЧНЕ ЗАВДАННЯ

на магістерську кваліфікаційну роботу

Удосконалення технології отримання заготовки і виготовлення деталі  
типу «Вал 12.54АС» з використанням CALS-технології  
08-26.МКР.025.00.000 ТЗ

Керівник роботи: к.т.н., проф. каф. ТАМ  
Буренніков Ю.А. \_\_\_\_\_

« \_\_\_\_ » \_\_\_\_\_ 20\_\_ р.

Виконавець: студент 2 курсу, групи 2ПМ-18м  
спеціальності 131 – «Прикладна механіка»

Токар О.О. \_\_\_\_\_

« \_\_\_\_ » \_\_\_\_\_ 20\_\_ р.

Вінниця ВНТУ 2019

### 1. Підстава для виконання магістерської кваліфікаційної роботи

а) потреба в зниженні собівартості виконання операцій механічної обробки заготовки деталі «Вал 12.54АС» за рахунок використання сучасного варіанту виготовлення заготовки та металорізального обладнання, інструменту, оснащення, та досягнення меншої шорсткості для поверхонь, що є парами тертя;

б) наказ про затвердження теми магістерської кваліфікаційної роботи.

### 2. Мета і призначення МКР

а) модернізація технологічного процесу механічної обробки для зниження технологічної собівартості завдяки застосуванню сучасних технологій і нових методів обробки заготовок;

б) розробка призначена для застосування на машинобудівних підприємствах України.

### 3. Вихідні дані для виконання МКР

Робоче креслення деталі «Вал 12.54АС».

Необхідність розгляду альтернативних варіантів способу поверхневого зміцнення поверхонь та вибору найбільш оптимального.

### 4. Вимоги до виконання МКР

МКР повинно використовувати математичні моделі, схеми та рішення, адекватність яких підтверджена попередніми дослідженнями, обґрунтованими висновками, експериментальними даними.

### 5. Етапи МКР та очікувані результати

№ етапу	Назва етапу	Термін виконання		Очікувані результати
		початок	кінець	
1	Основні теоретичні та практичні дослідження проведені попередниками			Формування задачі досліджень, розділ 1 ПЗ
2	Методика теоретичних (експериментальних) досліджень об'єкту вивчення			Об'єкт дослідження, розділ 2
3	Математичне моделювання та аналіз результатів дослідження			розділ 3, публікація результатів
4	Підготовка економічної частини			розділ 4, апробація
5	Підготовка розділу з охорони праці та безпеки в надзвичайних ситуаціях			розділ 5
6	Оформлення пояснювальної записки, графічного матеріалу та презентації			пояснювальна записка

#### 6. Матеріали, що подаються до захисту МКР

Пояснювальна записка МКР і ілюстративні матеріали, протокол попереднього захисту МКР на кафедрі, відзив наукового керівника, відзив рецензента, анотації до МКР українською та іноземною мовами, довідка про відповідність оформлення МКР діючим вимогам.

#### 7. Порядок контролю виконання та захисту МКР

Виконання етапів науково-дослідницької частини МКР контролюється науковим керівником згідно зі встановленими термінами. Представлення МКР на захист відбувається після проходження попереднього захисту на засіданні кафедральної комісії та її позитивного висновку. Готова робота, з усіма необхідними компонентами і підписами подається на кафедри за два дні до захисту. Захист МКР відбувається на засіданні Державної екзаменаційної комісії, затвердженої наказом ректора.

#### 8. Вимоги до оформлення МКР

Вимоги викладені в «Положенні про порядок підготовки магістрів у Вінницькому національному технічному університеті» з урахуванням змін, що подані у бюлетені ВАК України № 9-10, 2011р. та на основі ДСТУ 3008:2015.

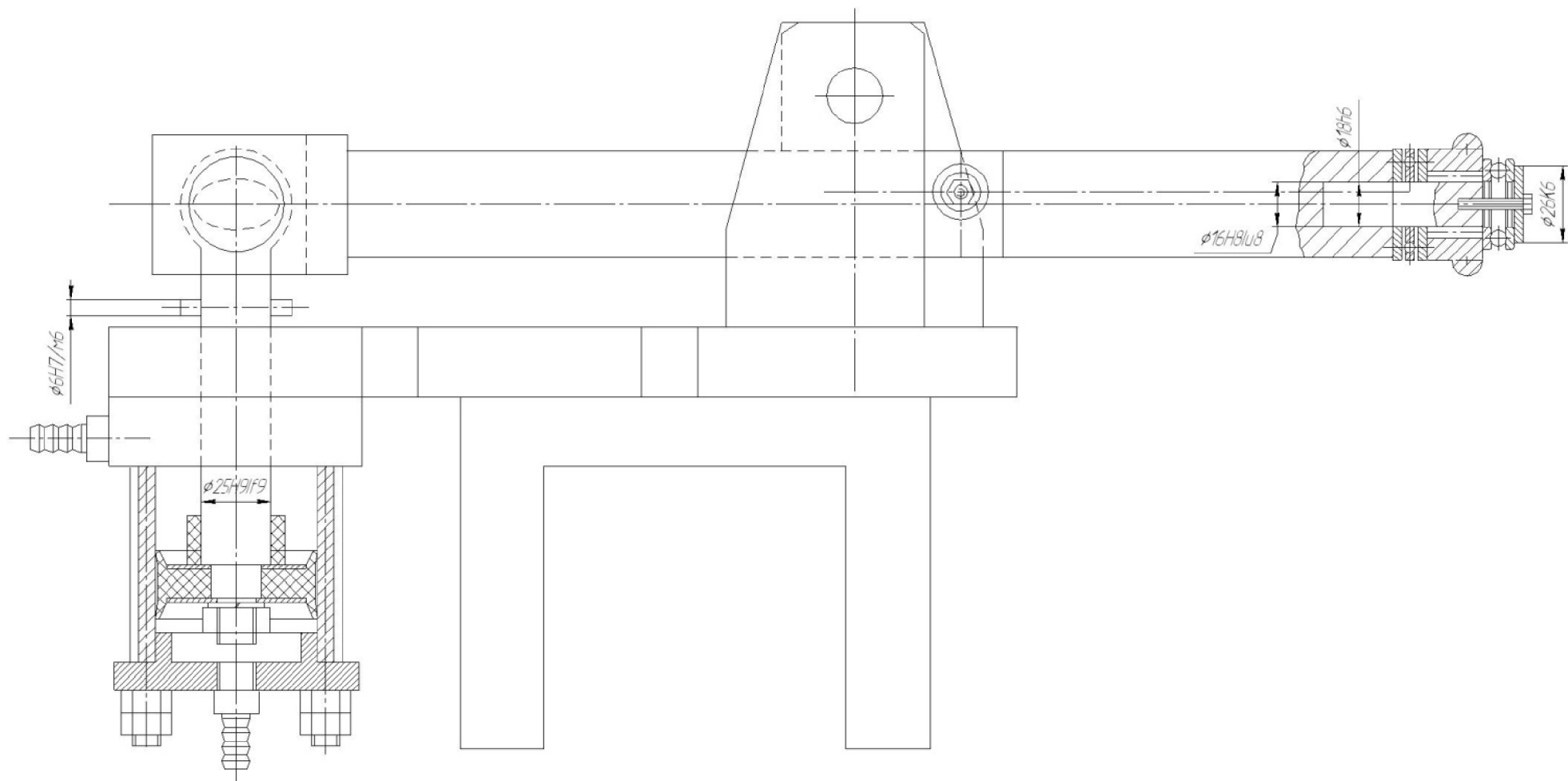
9. Вимоги щодо технічного захисту інформації в МКР з обмеженим доступом

Відсутні.

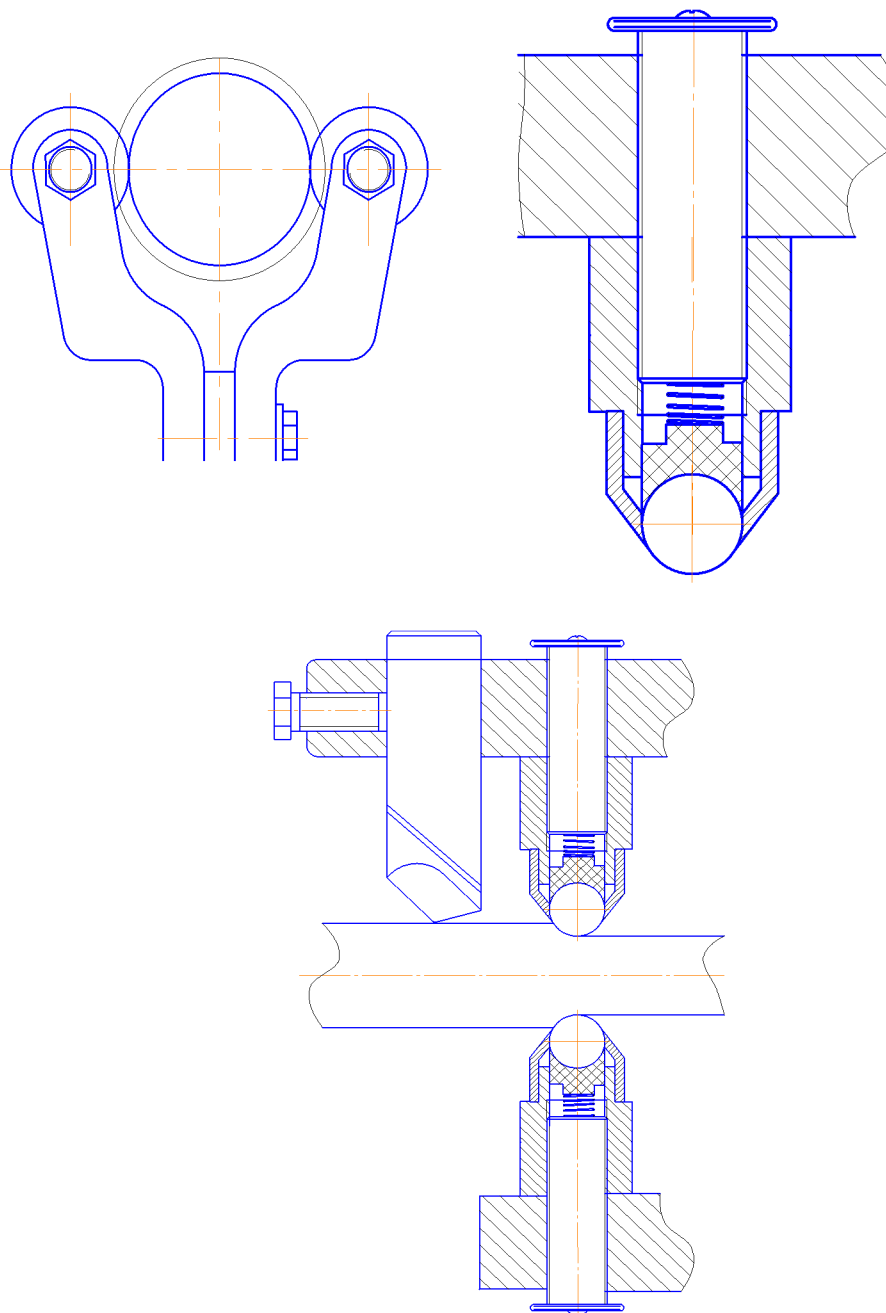


Додаток Б

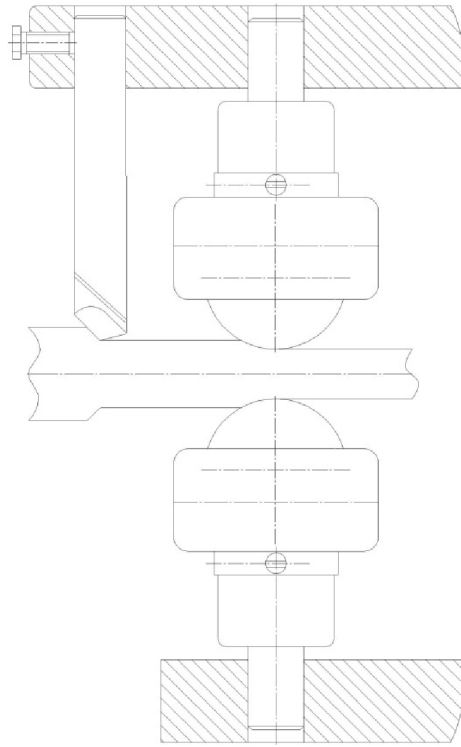
Графічна частина



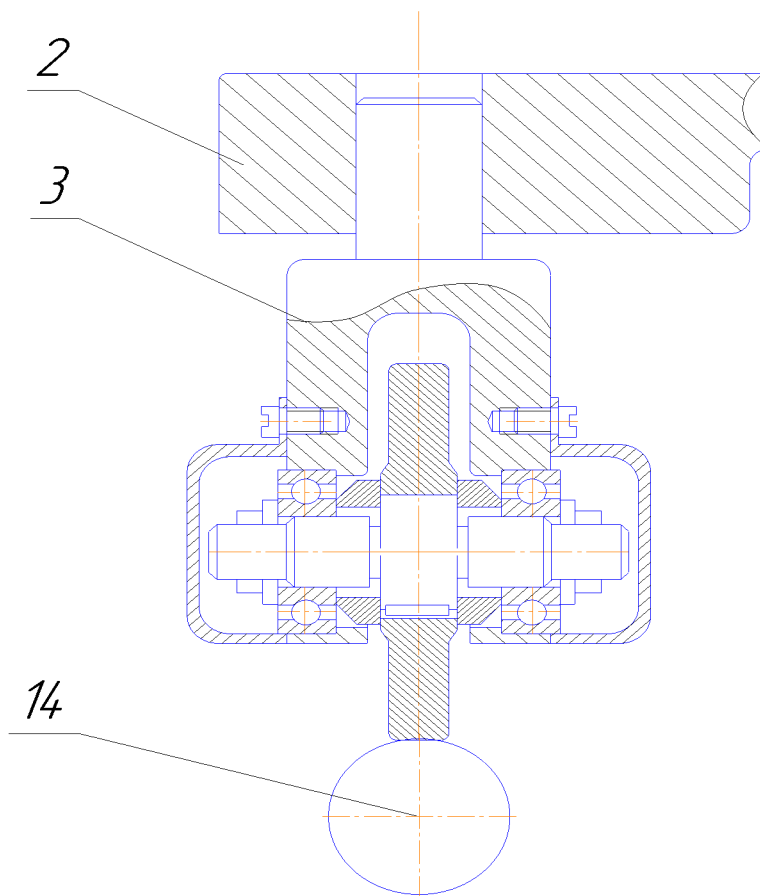
Пристосування для обкочування



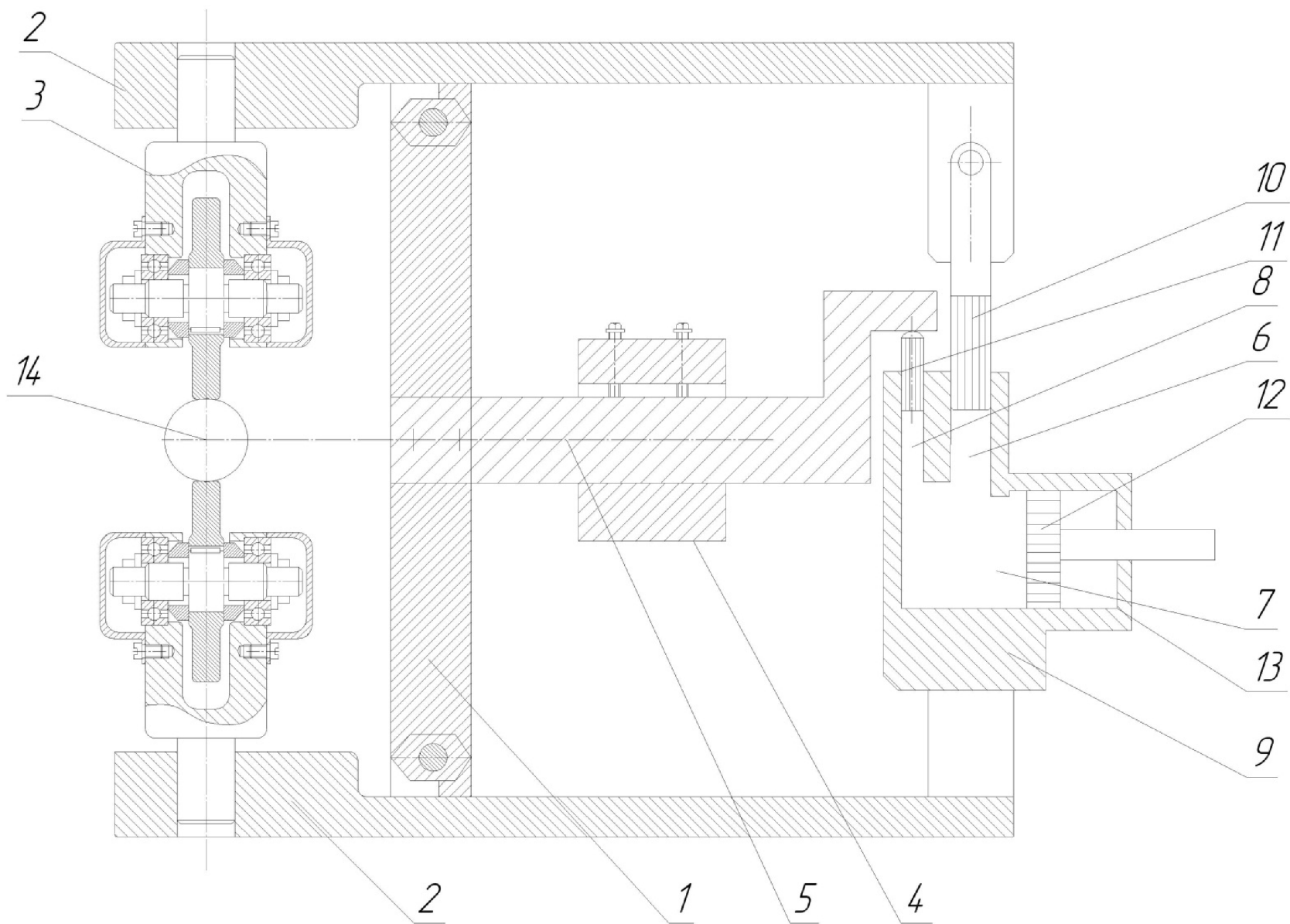
Пристосування для одночасного точіння та обкочування валів



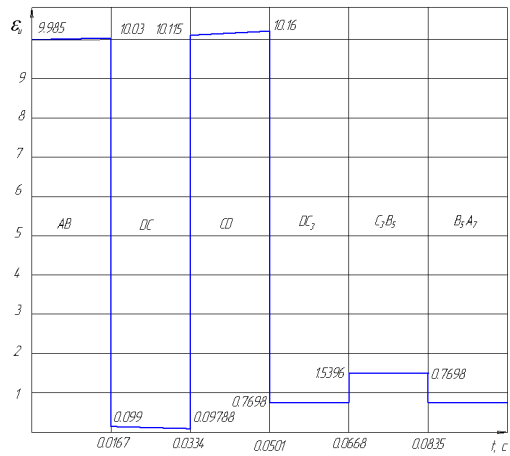
Пристосування для одночасного точіння та обкочування валів



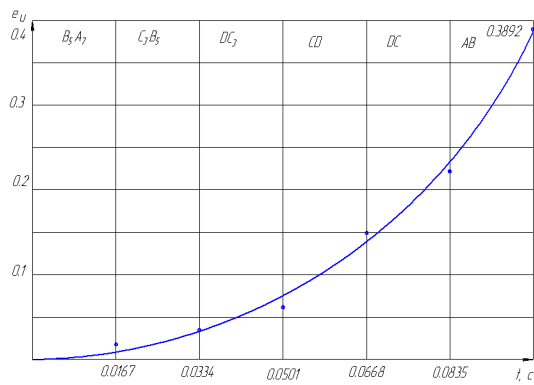
Кріплення ролика



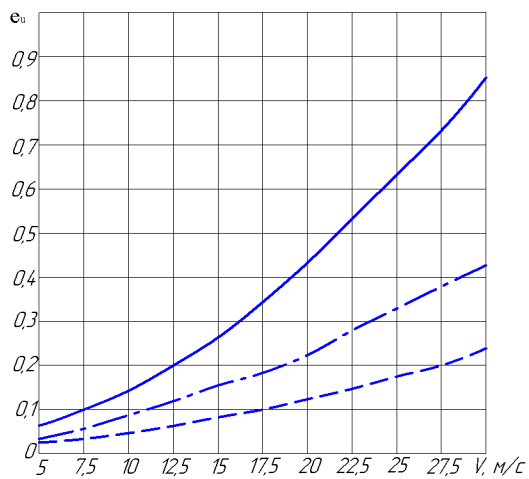
Приспособвання для суміщеного обкочування роликми



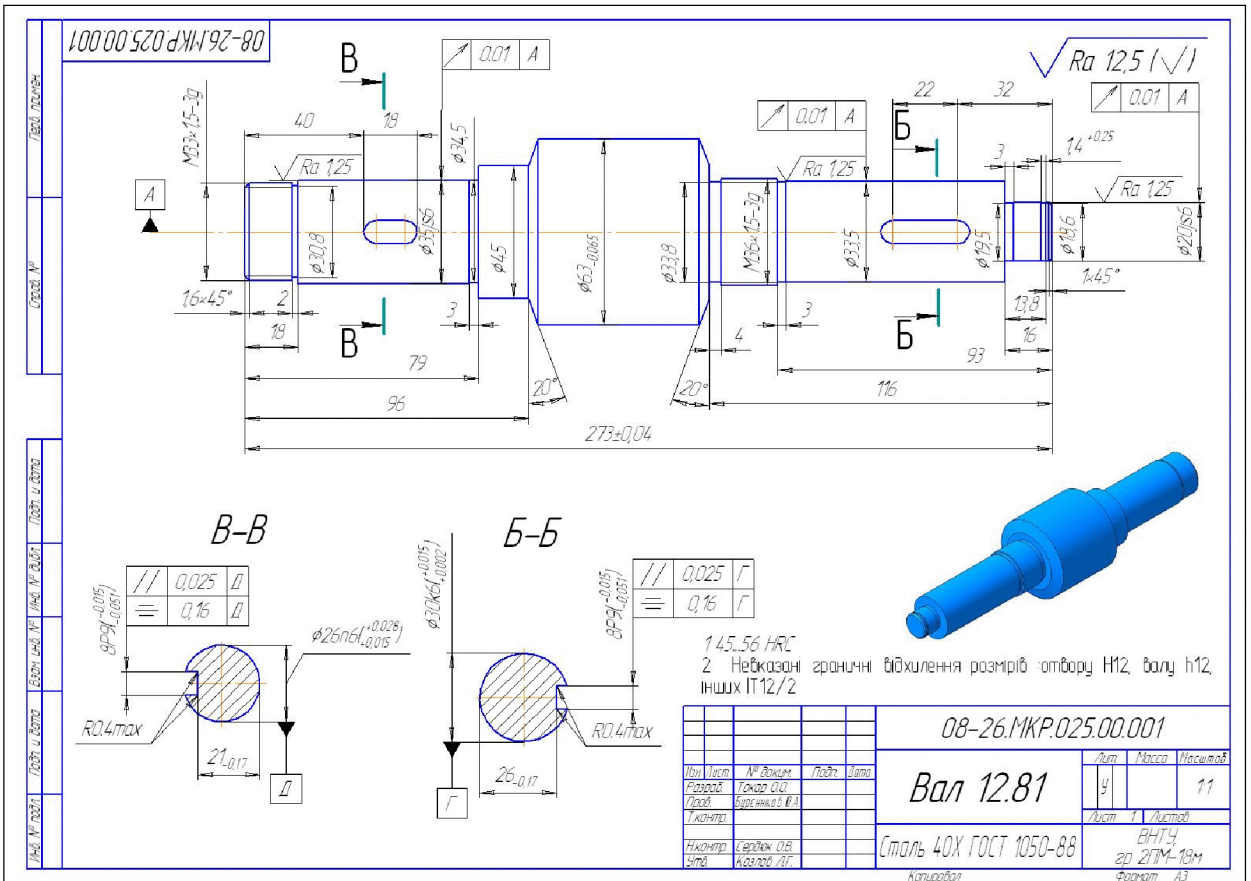
### Інтенсивність швидкостей деформацій в поверхневому шарі



### Накопичена пластична деформація в поверхневому шарі

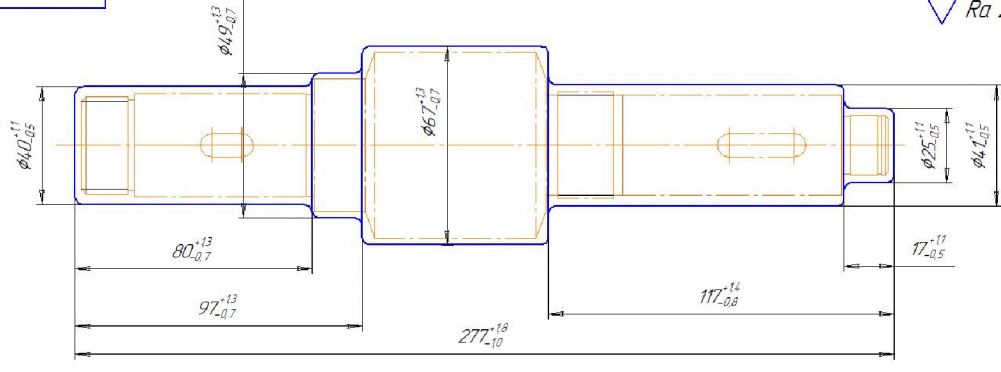


Залежність накопиченої пластичної деформації від лінійної швидкості та діаметра ролика



08-26.MKP.025.00.002

√ Ra 25



- 1 Клас точності штамповки - Т3, група сталі - М2, ступінь складності - С2
- 2 Невказані штампувальні нахили 7°, радіуси 25 мм
- 3 Допускаємо заусенець 5 мм

- 4 Допустиме зміщення по площині розієму штампу 0,5мм
- 5 Невказані допуски радіусів заокруглень 0,5 мм
- 6 Допускаємо відхилення від площинності 1 мм

08-26.MKP.025.00.002					
Имя	Лист	№ докум.	Подп.	Дата	Лит
Разработ	Ткач О.О.				4
Проб	Борискин В.А.				11
Техн.пр.					Лист 1
Нач.цех	Савчук О.В.				Листов
Утв.	Козлов А.Г.				ВНТЧ 20.01.14-191
Сталь 40Х ГОСТ 1050-88					
Копировал					
Формат А3					



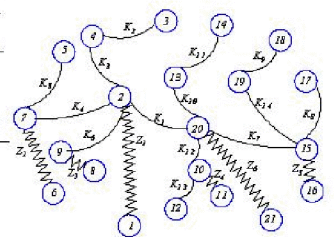
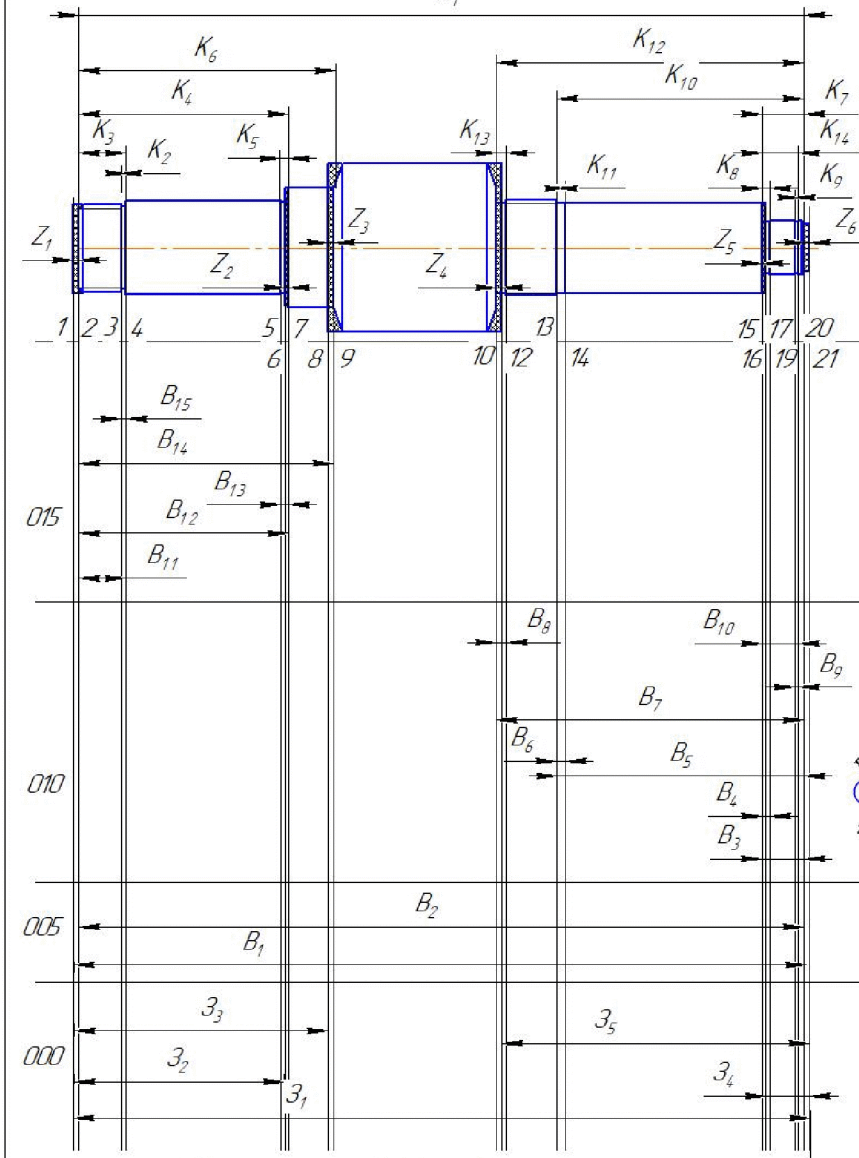
## Маршрут механічної обробки

№ операції	Операції і переходи	Ескіз та схема установки	Тип обладнання
005	<p><b>Фрезерно-центрувальна</b></p> <ol style="list-style-type: none"> <li>1 Встановити деталь</li> <li>2 Фрезерувати торцеві 1 та 3 в розмір згідно ескізу</li> <li>3 Свердлити центральні отвори 2 та 4 витримуючі розміри вказані на ескізі</li> <li>4 Зняти деталь</li> </ol>	<p style="text-align: center;"><i>Невказані граничні відхилення розмірів: валу h12, інших IT12/2</i></p>	<p>фрезерно-центрувальний МР71</p>
010	<p><b>Токарна з ЧПК</b></p> <ol style="list-style-type: none"> <li>1 Встановити і закріпити заготовку</li> <li>2 Точити поверхню 1 в розмір, згідно ескізу, поперечно поверхню 2 в розмір 20,7 ±0.125 та поверхні 5, 7, витримуючі розміри вказані на ескізі</li> <li>3 Точити поперечно поверхню 2 в розмір 20,3 ±0.031</li> <li>4 Точити канавку 4 витримуючі розміри вказані на ескізі</li> <li>5 Точити канавку 6 витримуючі розміри вказані на ескізі</li> <li>6 Точити канавку 8 витримуючі розміри вказані на ескізі</li> <li>7 Точити канавку 3 витримуючі розміри вказані на ескізі</li> <li>8 Точити остаточно поверхню 2 в розмір вказаний на ескізі</li> <li>9 Нарізати різь на поверхні 7 витримуючі розміри вказані на ескізі</li> <li>10 Зняти деталь</li> </ol>	<p style="text-align: center;"><i>Невказані граничні відхилення розмірів: валу h12, інших IT12/2</i></p>	<p>Токарна з ЧПК 16К20Ф3</p>
015	<p><b>Токарна з ЧПК</b></p> <ol style="list-style-type: none"> <li>1 Встановити і закріпити заготовку</li> <li>2 Точити поверхні 6 та 5 в розмір, згідно ескізу, поперечно поверхню 3 в розмір 36 ±0.125 та поверхню 1 витримуючі розміри вказані на ескізі</li> <li>3 Точити поперечно поверхню 3 в розмір 35.294 ±0.031</li> <li>4 Точити канавку 2 витримуючі розміри вказані на ескізі</li> <li>5 Точити канавку 4 витримуючі розміри вказані на ескізі</li> <li>6 Точити остаточно поверхню 3 в розмір вказаний на ескізі</li> <li>7 Нарізати різь на поверхні 5 витримуючі розміри вказані на ескізі</li> <li>8 Зняти деталь</li> </ol>	<p style="text-align: center;"><i>Невказані граничні відхилення розмірів: валу h12, інших IT12/2</i></p>	<p>Токарна з ЧПК 16К20Ф3</p>

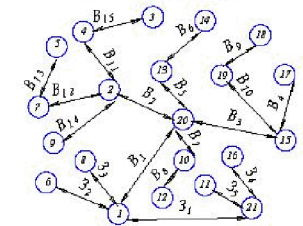
Маршрут механічної обробки

№ операції	Операції і переходи	Ескіз та схема установки	Тип обладнання
020	<p><b>Фрезерна з ЧПУ</b></p> <ol style="list-style-type: none"> <li>1 Встановити і закріпити заготовку</li> <li>2 Фрезерувати паз 1 витримуючи розміри вказані на ескізі</li> <li>3 Фрезерувати паз 2 витримуючи розміри вказані на ескізі</li> <li>4 Зняти деталь</li> </ol>		Фрезерний з ЧПК 6Р13Ф3
025	<p><b>Токарна з ЧПК</b></p> <ol style="list-style-type: none"> <li>1 Встановити і закріпити заготовку</li> <li>2 Обкатити поверхню 1 витримуючи розміри вказані на ескізі</li> <li>3 Зняти заготовку</li> </ol>		Токарний з ЧПК МК6801Ф3
030	<p><b>Токарна з ЧПК</b></p> <ol style="list-style-type: none"> <li>1 Встановити і закріпити заготовку</li> <li>2 Обкати поверхню 1 витримуючи розміри вказані на ескізі</li> <li>3 Зняти заготовку</li> </ol>		Токарний з ЧПК МК6801Ф3

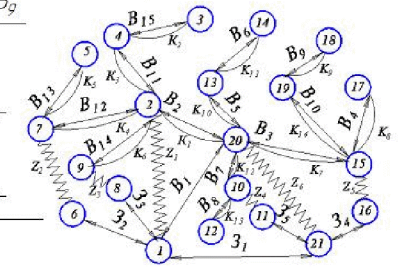
Розмірний аналіз технологічного процесу



Вихідне граф-дерево



Похідне граф-дерево



Суміщений граф

Таблиця 1 - Рівняння розрахунку розмірних технологічних ланцюгів

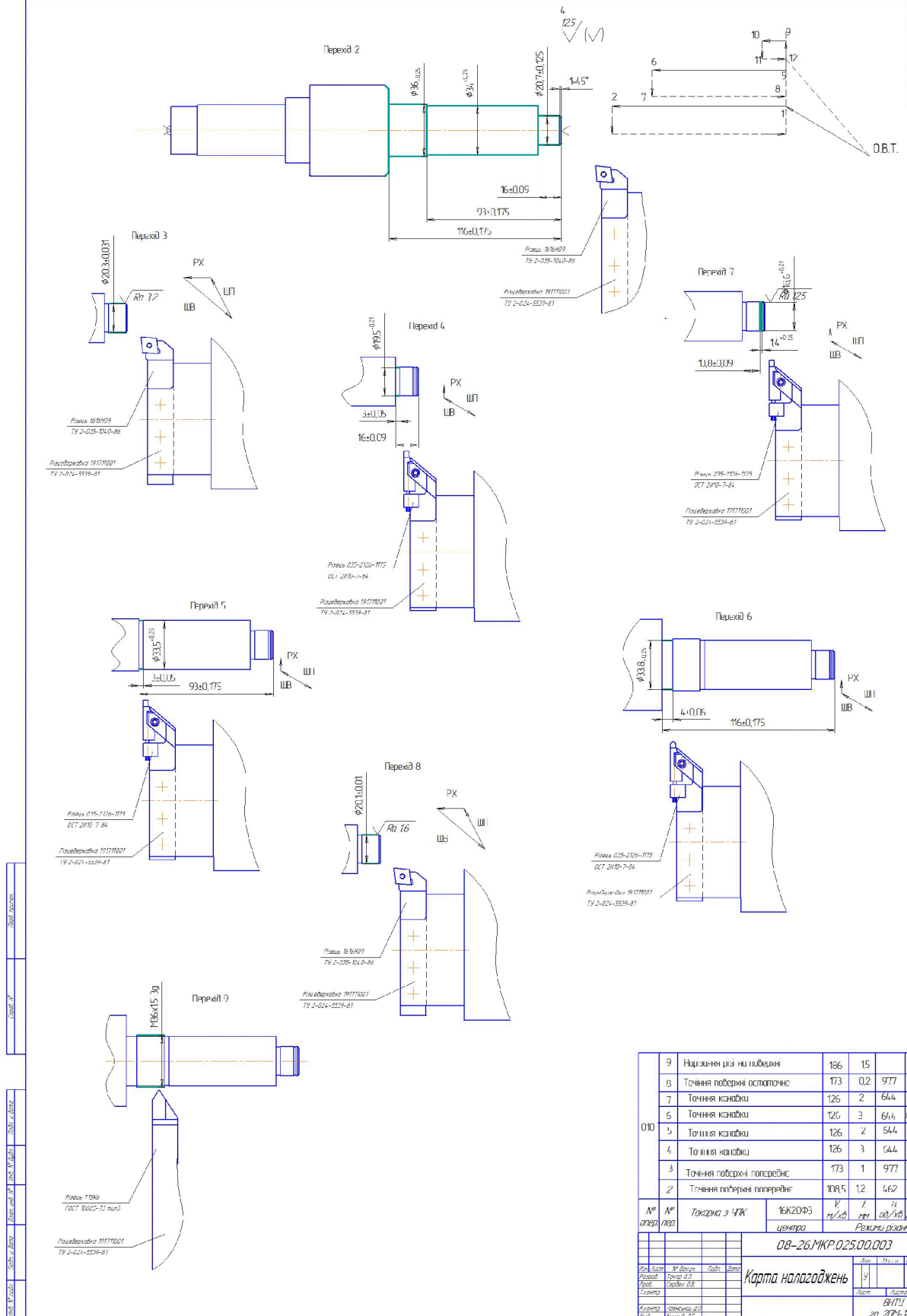
Розрахункове рівняння	Вихідне рівняння	Розмір, що визначається
$B_2 - K_1 = 0$	$B_2 = K_1$	$B_2$
$B_3 - K_2 = 0$	$B_3 = K_2$	$B_3$
$B_4 - K_3 = 0$	$B_4 = K_3$	$B_4$
$B_5 - K_{10} = 0$	$B_5 = K_{10}$	$B_5$
$B_6 - K_{11} = 0$	$B_6 = K_{11}$	$B_6$
$B_7 - K_{12} = 0$	$B_7 = K_{12}$	$B_7$
$B_8 - K_{13} = 0$	$B_8 = K_{13}$	$B_8$
$B_9 - K_9 = 0$	$B_9 = K_9$	$B_9$
$B_{10} - K_{14} = 0$	$B_{10} = K_{14}$	$B_{10}$
$B_{11} - K_4 = 0$	$B_{11} = K_4$	$B_{11}$
$B_{12} - K_5 = 0$	$B_{12} = K_5$	$B_{12}$
$B_{13} - K_6 = 0$	$B_{13} = K_6$	$B_{13}$
$B_{14} - K_7 = 0$	$B_{14} = K_7$	$B_{14}$
$B_{15} - K_8 = 0$	$B_{15} = K_8$	$B_{15}$
$B_1 - B_2 + Z_1 = 0$	$Z_1 = B_2 - B_1$	$B_1$
$Z_1 - B_1 - Z_2 = 0$	$Z_2 = Z_1 - B_1$	$Z_1$
$Z_2 - B_1 - Z_1 + Z_3 = 0$	$Z_3 = B_1 + Z_1 - Z_2$	$Z_3$
$Z_3 - B_1 - Z_1 + Z_2 = 0$	$Z_4 = B_1 + Z_1 - Z_3$	$Z_4$
$Z_4 - B_1 - Z_1 + Z_2 = 0$	$Z_5 = B_1 + Z_1 - Z_4$	$Z_5$

Таблиця 3 - Припуски на механічну обробку

Припуск	Мінімальний, мм	Максимальний, мм
$Z_1$	0,6	1,92
$Z_2$	0,6	1,7
$Z_3$	0,6	3,14
$Z_4$	0,6	3,917
$Z_5$	0,6	3,31
$Z_6$	0,6	2,7

Таблиця 2 - Значення технологічних розмірів, розмірів заготовки та їх допуски

Позначення розміру	Граничні значення розмірів		Допуск	Номинальний розмір	Значення розміру у технологічному документі	Значення розміру на вкресленні відповідної заготовки
	Мінімальний розмір	Максимальний розмір				
$Z_1$	275,23	276,52	1,3	275,91		275,91(±0,65)
$Z_2$	78,11	78,85	0,74	78,48		78,48(±0,37)
$Z_3$	94,955	95,825	0,87	95,39		95,39(±0,435)
$Z_4$	15,48	15,91	0,43	15,695		15,69(±0,21)
$Z_5$	114,955	115,825	0,87	115,393		115,39(±0,43)
$B_1$	273,86	274,66	0,8	274,26	274,26(±0,4)	
$B_2$	272,74	273,26	0,52	273	273(±0,26)	
$B_3$	15,91	16,09	0,18	16	16(±0,09)	
$B_4$	3,94	3,06	0,12	3	3(±0,06)	
$B_5$	92,825	93,175	0,35	93	93(±0,175)	
$B_6$	2,94	3,06	0,12	3	3(±0,06)	
$B_7$	115,825	116,175	0,35	116	116(±0,175)	
$B_8$	3,94	4,06	0,12	4	4(±0,06)	
$B_9$	1,4	1,65	0,25	1,4	1,4(±0,25)	
$B_{10}$	13,71	13,89	0,18	13,8	13,8(±0,09)	
$B_{11}$	17,91	18,09	0,18	18	18(±0,09)	
$B_{12}$	78,85	79,15	0,3	79	79(±0,15)	
$B_{13}$	2,94	3,06	0,12	3	3(±0,06)	
$B_{14}$	95,825	96,175	0,35	96	96(±0,175)	
$B_{15}$	1,94	2,06	0,12	2	2(±0,06)	



010	9	Нарізка для напівшпін	186	15	15
	8	Точіння поверхні осьової	173	0,2	977
	7	Точіння канавки	126	2	644
	6	Точіння канавки	126	3	644
	5	Точіння канавки	126	2	644
	4	Точіння канавки	126	3	644
	3	Точіння поверхні поперечної	173	1	977
	2	Точіння поверхні поперечної	108,5	12	467
	1	Точіння поверхні поперечної	108,5	12	467

№	№	Точіння з ЧТК	16К20Ф3	К	1	4	5
опрац.	пер.	центра	центра	мм	мм	мм	мм
08-26.МКР.025.00.003							
Карта налагоджень							
Відп.	Відп.	М.Відп.	Відп.	Відп.	Відп.	Відп.	Відп.
Відп.	Відп.	Відп.	Відп.	Відп.	Відп.	Відп.	Відп.
Відп.	Відп.	Відп.	Відп.	Відп.	Відп.	Відп.	Відп.
Відп.	Відп.	Відп.	Відп.	Відп.	Відп.	Відп.	Відп.
Відп.	Відп.	Відп.	Відп.	Відп.	Відп.	Відп.	Відп.
Відп.	Відп.	Відп.	Відп.	Відп.	Відп.	Відп.	Відп.

Розрахунок елементів дільниці механічної обробки

Таблиця 1 – Кількість обладнання та коефіцієнти завантаження і використання верстатів за основним часом

№ операції	Назва операції	Розрахункова кількість верстатів	Прийнята кількість верстатів	Коефіцієнт завантаження	Середній коефіцієнт завантаження	Коефіцієнт використання за основним часом	Середній коефіцієнт використання за основним часом
005	Фрезерно-центрувальна	0,0787	1	0,0787	0,339	0,709	0,698
010-015	Токарна з ЧПК	0,8495	1	0,8495		0,709	
020	Фрезерна з ЧПК	0,3497	1	0,3497		0,738	
025-030	Токарна з ЧПК	0,0794	1	0,0794		0,639	

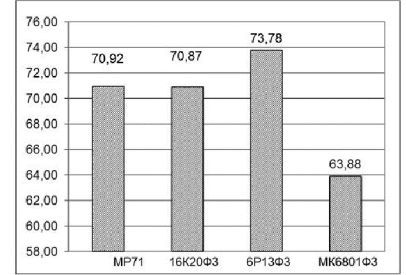


Рисунок 1 – Графік завантаження обладнання

Таблиця 2 – Відомість складу працюючих дільниці

Категорії працюючих	Спосіб визначення	Розрахункова кількість	Прийнята кількість
Основні робітники-верстатники			4
Допоміжні робітники	20...25%	0,8...1,0	1
ІТР	15...21%	0,72...0,96	1
СКП	2,2%	0,088	1
МОП	2%	0,14	1

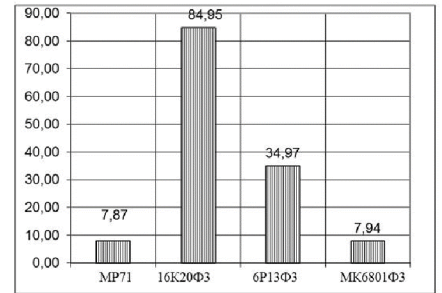


Рисунок 2 – Графік використання обладнання за основним часом